



CUMHURİYET ÜNİVERSİTESİ
MÜHENDİSLİK FAKÜLTESİ DERGİSİ

CUMHURIYET UNIVERSITY
Bulletin of the Faculty of Engineering

Seri-A

Yerbilimleri Earth Sciences



CİLT : 19 SAYI : 1 HAZİRAN 2002
Volume : 19 Number : 1 June 2002

ISSN 1016 7625

EDİTÖRÜN NOTU

Değerli Yerbilimciler,

Ulusal hakemli dergi (editörü ve en az beş değişik üniversitenin öğretim üyelerinden oluşmuş danışmanlar grubu olan, bilimsel/sanatsal özgün araştırma makaleleri yayımlayan, yılda en az iki kez yayımlanan ve son beş yılda düzenli olarak basılıp dağıtımlı yapılmış, üniversite kütüphanelerinde erişilebilir olan dergi) niteliğindeki C.Ü.Mühendislik Fakültesi Dergisi Seri A-Yerbilimleri'nin 2001 yılına ait 18.ciltin 2.sayısını okuyucularımıza sunmaktan kıvanç duymaktayız. C.Ü.Mühendislik Fakültesi Dergisi Seri A-Yerbilimleri, bundan sonra da bilimsel / akademik standartlara uygun bir biçimde ve kararlılıkla Yerbilimciler arasındaki bilimsel iletişimini yerine getirmeye devam edecektir.

C.Ü.Mühendislik Fakültesi Dergisi Seri A-Yerbilimleri'nde 1984 yılından beri toplam 131 makale yayınlanmıştır. Bunlardan 64 tanesi C.Ü. Jeoloji Mühendisliği Bölümü'nün, 43 tanesi C.Ü. dışındaki kurum / kuruluşların yerbilimcilerine aittir. Diğer 24 tanesi ise ortak çalışmaların ürünüdür. Makalelerden 9 tanesi İngilizce, 1 tanesi Fransızca, diğerleri ise Türkçe yayımlanmıştır.

C.Ü.Mühendislik Fakültesi Dergisi Seri A-Yerbilimleri'ne makalelerini gönderen araştırmılara ve bunları değerlendiren yayın kurulu üyelerine teşekkürlerimi sunuyorum. Ayrıca, dergimize olan ilginin artarak sürmesini diliyorum. Saygılarımla,

**CUMHURİYET ÜNİVERSİTESİ
MÜHENDİSLİK FAKÜLTESİ DERGİSİ
SERİ A -
YERBİLİMLİLERİ**

**Cumhuriyet University
Bulletin of the Faculty of Engineering
Serie A -
Earth Sciences**

İÇİNDEKİLER (CONTENTS)

- Bulk and Clay Mineralogy of Surficial Marine Sediments of the Gulf Of İskenderun,
Eastern Mediterranean**
İskenderun Körfezi (Doğu Akdeniz) Yüzeysel Deniz Sedimanlarının Tümkayaç ve Kil
Mineralojisi
Hüseyin YALÇIN, Mustafa ERGİN, Mustafa ERYILMAZ, Fulya YÜCESOY-ERYILMAZ 71
- Altınhisar (Niğde) Ovasının Hidrojeolojisi**
Hydrogeological Investigation of the Altınhisar (Niğde) Plain
..... Ahmet GÜZEL, M.Tahir NALBANTÇILAR, İbrahim YİĞİTBASI 79
- Tecer Dağı (Sivas-Ulaş) Kaynaklarının Hidrojeolojisi**
Hydrogeology of the Tecer Mountain Springs (Sivas-Ulaş)
..... Tülay EKEMEN, Fikret KAÇAROĞLU 87
- Orta Anadolu Bindirme Kuşağının Akdağmadeni-Yavu Arasındaki Bölümünün
Stratigrafik Özellikleri**
Stratigraphical Features of Central Anatolian Thrust Belt between Akdağmadeni and Yavu
..... Fikret KOÇBULUT, Orhan TATAR 103
- Karaköy (Gündoğmuş-Antalya)-Taşkent-Hadim (Konya) Arasının Morfotektonik
Özellikleri**
Morphotectonic Features among Karaköy (Gündoğmuş-Antalya)-Taşkent and Hadim
..... Ahmet TURAN 113
- Merzifon (Amasya) Yöresindeki Jura-Kretase Yaşılı Kireçtaşlarının Calpionel
Biyostratигrafisi**
The Calpionel Biostratigraphy of Jurassic-Cretaceous aged limestone in the Merzifon
(Amasya) Region
..... Mehmet AKYAZI, Aslı KARABAŞOĞLU,
Ahmet UTAR, Ömer KESGIN, Nazire ÖZGEN ERDEM, T. Şafak URSAVAŞ 123

BULK AND CLAY MINERALOGY OF SURFICIAL MARINE SEDIMENTS OF THE GULF OF İSKENDERUN, EASTERN MEDITERRANEAN

İSKENDERUN KÖRFEZİ (DOĞU AKDENİZ) YÜZEYSEL DENİZ SEDİMANLARININ TÜMKAYAÇ VE KİL MINERALOJİSİ

Hüseyin YALÇIN Cumhuriyet Univ. Geological Eng. Department, Sivas, Turkey
Mustafa ERGİN Ankara Univ., Geological Eng. Department, Ankara, Turkey
Mustafa ERYILMAZ Mersin Univ., Silifke Vocational School, Mersin, Turkey
Fulya YÜCESOY-ERYILMAZ Mersin Univ., Environmental Eng. Department, Mersin, Turkey

ABSTRACT : The Gulf of İskenderun is filled with a variety of weathering products from the surrounding ultramafic, meta-sedimentary and volcanic rocks to the north and east of the Gulf. The marine sediments consist of mostly calcareous clay and clayey-calcareous mud. They contain calcite, aragonite, dolomite, quartz, feldspar and clay minerals. The clay fractions are dominated by an assemblage of smectite-illite-chlorite-serpentine. Smectite-illite mixed layer clays show 15-35% illite layers. Mixed-layered smectite-chlorite and palygorskite associations are also found in some samples. Of these minerals, the carbonates are mostly of benthogenic origin, palygorskite may have been produced by diagenesis and/or wind-transport from the surrounding land masses. Other minerals can be ascribed to detrital sources.

Key words : İskenderun Körfezi, marine sediments, whole-rock, clay, mineralogy

ÖZ : İskenderun Körfezi, körfezi çevreleyen kuzey ve doğusundaki ultramafik, meta-sedimanter ve volkanik kayaçların yüzeysel bozunma ürünleri ile beslenmektedir. Deniz sedimanları çoğunlukla karbonatlı kıl ve killi-karbonatlı çamurlardan oluşmaktadır. Bunlar kalsit, aragonit, dolomit, kuvars, feldispat ve kıl mineralleri içermektedir. Kıl fraksiyonlarında smektit-illit-klorit-serpantin birikiliği egemendir. Karışık katmanlı smektit-illitler %15-35 illit katmanına sahiptir. Bazı örneklerde karışık-katmanlı smektit-klorit ve paligorskit beraberliği de bulunmaktadır. Bu minerallerden karbonatlar çoğunlukla bentogenikdir. Paligorskit olasılıkla diyajenetik ve/veya çevredeki karalardan rüzgar ile taşınan ürünlerini temsil etmektedir. Diğer minerallerin ise detritik kaynaklar ile ilişkili olduğu düşünülmektedir.

Anahtar kelimeler : İskenderun Körfezi, denizel sedimanlar, tümkayaç, kıl, mineraloji

INTRODUCTION

The Gulf of İskenderun is located in the easternmost part of the Mediterranean Sea, in the southeast of Turkey (Fig. 1). The Gulf of İskenderun is a rectangular (60x35 km) and symmetrical basin with a water depth of up to 190 m. The Ceyhan and other southeasterly small rivers, have formed which is a broad coastal plain in the north-northwest and a narrow plain in the southeast, usually flanked by high mountains (Bal and Demirkol, 1987), are the main suppliers of detrital sediments into the gulf. Open-sea water enters the gulf from both the northwest and the southwest

depending on the prevailing atmospheric conditions, and thus the surface circulation currents can form both clockwise and anticlockwise patterns (Iyiduvar, 1986). Local winds from the north and northeast result in a homogenous vertical structure in the water column in winter (Iyiduvar, 1986).

The geological development of the Gulf of İskenderun is related to Neogene convergence and both East Anatolian and Dead Sea strike-slip faults (e.g., Şengör et al., 1985; Kelling et al., 1987). The outcropping rock units with different lithology and ages in the coastal hinterland of the gulf range from coarse grained

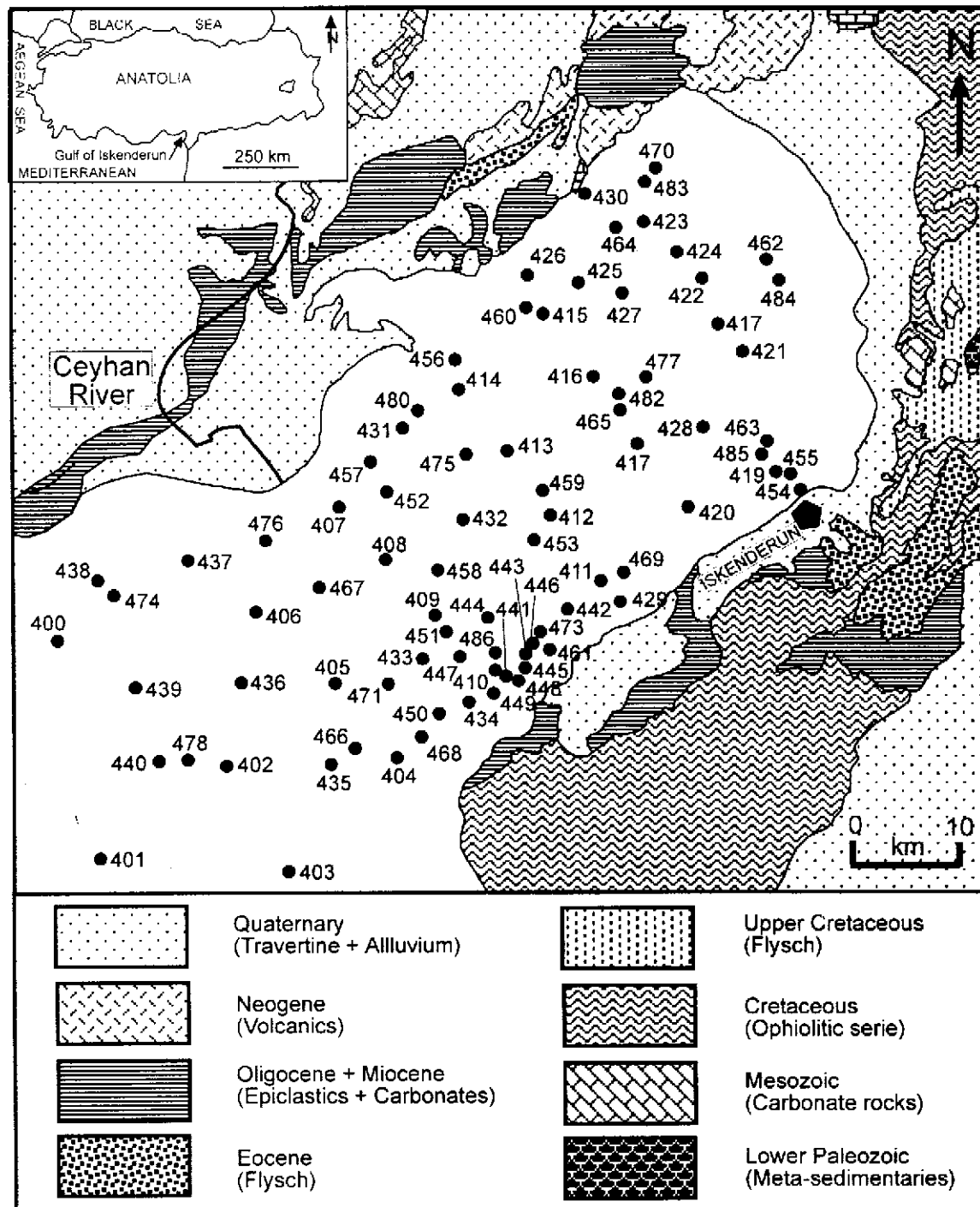


Fig. 1. Simplified geology of the surrounding land (after Tolun and Pamir, 1975) showing sampling locations of the Gulf of İskenderun.

Şekil 1. İskenderun Körfezi çevresinin basitleştirilmiş jeolojisi (Tolun and Pamir, 1975) ve örnek yerleri.

reworked sediments to very low-grade metamorphic rocks and ophiolitic series (Aslaner, 1973; Tolun and Pamir, 1975).

During the past decades, several investigations on the world oceans as well as the eastern Mediterranean Sea (e.g., Biscay,

1965; Chamley, 1971; Chamley et al., 1977; Venkatarathnam and Ryan, 1971; Kapur et al., 1989; Saager et al., 1993; Gutierrez-Mas et al., 1997; Ergin et al., 1996 and 1998) have shown that marine sediments provide a natural record of varying detrital fluxes and also diagenetic

history. In this study, we present both bulk and clay mineralogy data for marine sediments from the Gulf of Iskenderun and discuss the results in terms of source-area weathering, provenance and depositional conditions.

MATERIAL AND METHODS

Eighty-eight surficial sediment samples from the uppermost 5 cm of the sea floor were taken during the 1988-1991 cruises of R/V Bilim in the Gulf of Iskenderun, using a Dietz Lafond grab.

The bulk samples and clay fractions were examined using a Rigaku DMAX IIIC model X-ray diffractometer with Ni-filtered $\text{CuK}\alpha$ radiation, and a graphite monochromator. The bulk mineralogical analysis of each sample was made on an unoriented powder preparation. Semi-quantitative amounts of the different minerals in the sample were calculated using the method of Brindley (1980).

The $<2 \mu\text{m}$ fraction was obtained from each sediment sample by decantation and centrifugation after careful dispersal in distilled water. The samples were treated with 1N HCl to remove the carbonate minerals. The clay minerals of the $< 2 \mu\text{m}$ fractions were determined on oriented preparations on a glass slide, in a 25 °C normal state, after saturation with ethylene glycol for 12 hours and heating at 490 °C for 4 hours. The semi-quantities abundances of clay minerals were calculated from the mineral intensity factors measured by Biscaye (1965) and Sirocko and Lange (1991).

MINERALOGY

The main mineral components of the sediments can be divided into three groups: carbonates, clays and other silicates (quartz and feldspar). Of these, quartz and feldspar types of silicates correspond to silt-size materials. The analysed samples were grouped according to the classification of Vatan (1967) for calcareous and mud-bearing sediments (Fig. 2). The sediments are named as calcareous clay/clayey carbonate, calcareous mud and calcareous-bearing clay.

The sediments contain calcite (12-28 %), aragonite (8-35 %), dolomite (4-12 %), quartz (4-17 %), feldspar (4-27 %), clay minerals (35-72 %) and traces of halite. The feldspars consist of plagioclase and less often K-feldspar. Calcite, quartz and clay minerals were present in all samples, but aragonite and dolomite were observed only in some samples. In addition, Mg-calcite and aragonite were found in both cement and Pelecypoda shells.

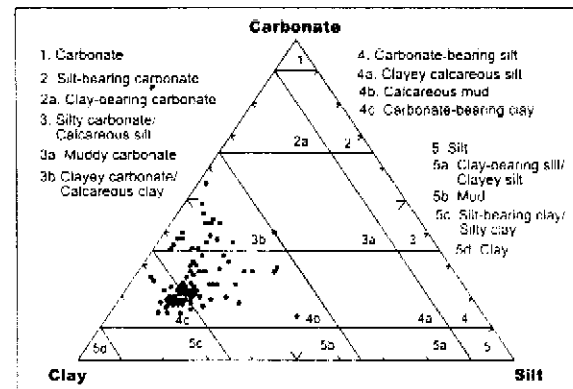


Fig. 2. Nomenclature of marine sediments based on grain size components from Gulf of Iskenderun, using line scheme of Vatan (1967).

Şekil 2. İskenderun Körfezi deniz sedimanlarının tane boyuna göre Vatan (1967) adlandırılması.

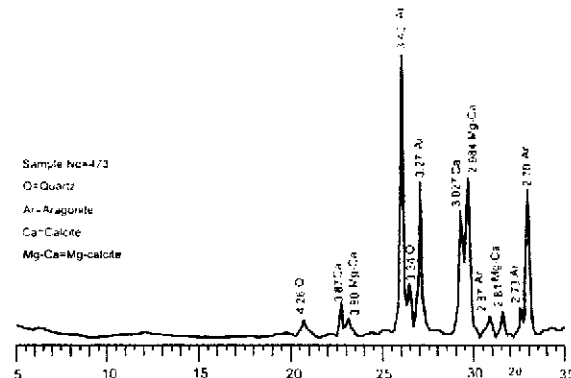


Fig. 3. X-ray diffractogram of minerals of the mollusk shells.

Şekil 3. Mollusk kavşalarını oluşturan minerallerin X-işını difraktogramı.

White coloured nodules (2-3 mm), observed in some samples, consisted of Mg-calcite and aragonite. The $d(104)$ reflection of calcite minerals varies from 2.984 to 3.027 Å (Fig. 3) which corresponds to approximately 18 and 3 mol % MgCO_3 content based on the diagram of Goldsmith and Graf (1958). Rhombohedral calcite present in the CaCO_3 structure (Chave, 1954) is divided into low-Mg calcite (<4 mol % MgCO_3) and high-Mg calcite (4-30 mol % MgCO_3). The latter was further subdivided into intermediate-Mg calcite with 4-12 mol % MgCO_3 and high-Mg calcite sensu stricto with 12-28 mol % MgCO_3 (Milliman, 1974). According to these divisions, the studied mollusk shells were made of low-Mg calcite and high-Mg calcite.

The distribution of sediment-forming minerals in the gulf is given in Fig. 4. Calcite is concentrated in two areas in the southwest and

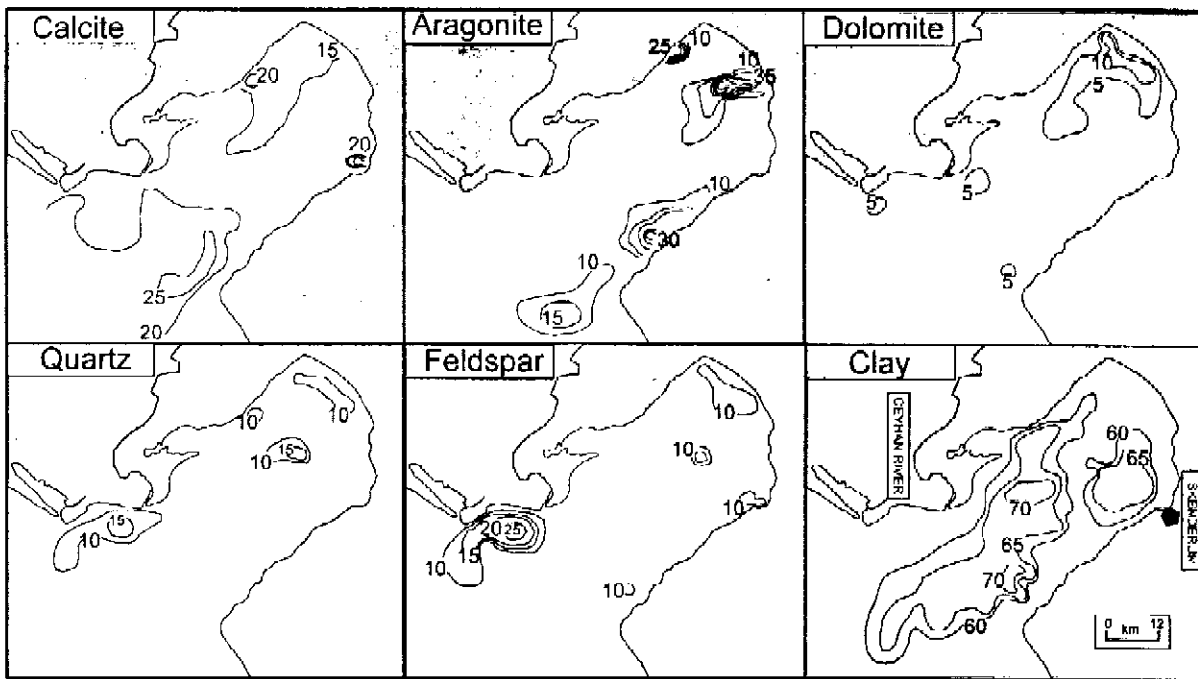


Fig 4. The distribution of the minerals in Gulf of İskenderun sediments.

Şekil 4. İskenderun Körfezi sedimanlarında minerallerin dağılımı.

the northeast of the gulf. Aragonite showed enrichment offshore in a northeast-southwest direction, which represents a lack of continental sediment transportation and an environment with high salinity. Dolomite was only observed at the northeast edge of the gulf. Quartz and feldspar concentrations exhibited many similarities in terms of their distributions, and their averages are increased near the Ceyhan River which brings siliciclastic materials to the gulf.

The clay fractions is composed of smectite (5-24 %), illite (18-55 %), chlorite (12-25 %), serpentine (13-46 %), palygorskite (15-28 %) and mixed-layers of smectite-chlorite/S-C (5-18 %). Palygorskite and S-C were present in a few samples. The most important association was smectite + illite + chlorite + serpentine (Fig. 5). After glycol treatment, the XRD patterns revealed basal spacings of 15.82-16.60 (001), 8.70-8.80 (002), 5.53-5.56 (003), and 3.44-3.46 Å (005), for the smectite-group minerals which do not show an integral series (Hoffman and Hower, 1979). Disordered smectites with a broad 16-17 Å peak contained about 15-35 % illite layers based on the method of Reynolds (1980). Illite crystallinity degree values were measured as averaging 0.35 $\Delta^2\theta$ which commonly represents the muscovite of anchizone field (Kübler, 1984).

The patterns of distribution of various clay minerals show some differences (Fig. 6). Illite, chlorite and smectite have almost the same distribution and extended towards the open sea. Serpentine is present from the northeastern to the southeastern border where serpentinite-bearing ophiolitic rocks are exposed. Palygorskite is present only in the southern part adjacent to the open Mediterranean Sea and S-C was concentrated randomly in different locations in the gulf.

DISCUSSIONS AND CONCLUSION

Carbonate, quartz, feldspar, and clay minerals were identified in the recent marine sediments of the Gulf of İskenderun. The distribution and amount of minerals in each sediment sample is related to different source materials cropping out in the hinterland of the gulf as well as directions transportation.

Most minerals in the marine sediments are almost exclusively detrital constituents and have been derived from the land. However, some minerals, especially clays, have been demonstrated to be diagenetic or synsedimentary in origin (e.g., Tsirambides, 1986; Yalçın and Bozkaya, 1995a).

Calcite, Mg-calcite and aragonite were the main components of fossil tests and benthogenic in origin (Yalçın and Bozkaya, 1995b; Yalçın and Taher, 1998).

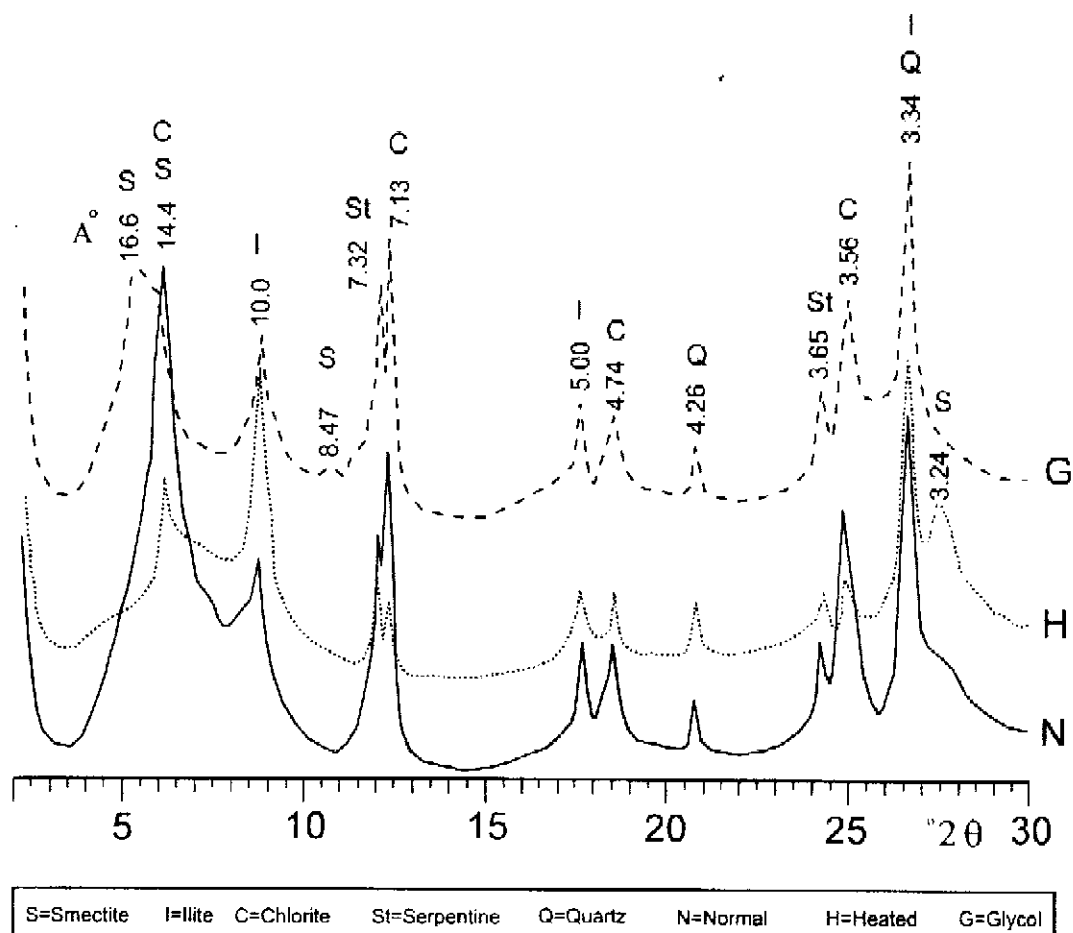


Fig. 5. X-ray diffractogram of representative clay fraction from Gulf of İskenderun.
Şekil 5. İskenderun Körfezi sedimanlarının kıl fraksiyonu X-işını difraktogramı.

The quartz and feldspar are detrital in origin and their percentages increased in proportion to their grain size. The majority of these minerals originated from Tertiary clastic and volcanic rocks of the Tauride belt, which were located at the northwest of the gulf in line drainage basin of the Ceyhan.

The clay minerals in the north and northeast of the gulf consisted of illite, chlorite, smectite, serpentine, and mixed-layer S-C as well as palygorskite in small quantities and indicated mainly metamorphic, ophiolitic suite and volcanic source rocks, respectively.

Illite and chlorite are the main components of the very low-grade meta-sedimentary rocks from meta-clastite to slate (Frey, 1987) in the Taurus belt (Yalçın and Bozkaya, 1997; Bozkaya and Yalçın, 1997) in lower Paleozoic meta-sedimentary rocks and their reworked products such as Eocene and Cretaceous epiclastics.

The average percentage of expandable layers in the mixed layer illite-smectite (I-S) appeared to be a clue to the origin of this mineral (Eslinger and Savin, 1976; Tsirambides, 1986). According to these authors, I-S with a relatively broad (001) peak is largely detrital in origin, while samples that contain I-S with a relatively sharp (001) peak are largely authigenic in origin. The parent material of the detrital smectite, I-S and S-C is assumed to be volcanic. Of these minerals, smectite probably formed in situ from the alteration of volcanic glass (Gündoğdu et al., 1996), but the mixed-layers probably formed from the alteration of mafic minerals in line source area.

A genetic relationship existed between the serpentine and palygorskite found in the basins surrounding the altered ultramafic rocks of the ophiolitic successions (Yalçın and Bozkaya, 1995b). It appears often to be a primary mineral by direct precipitation from

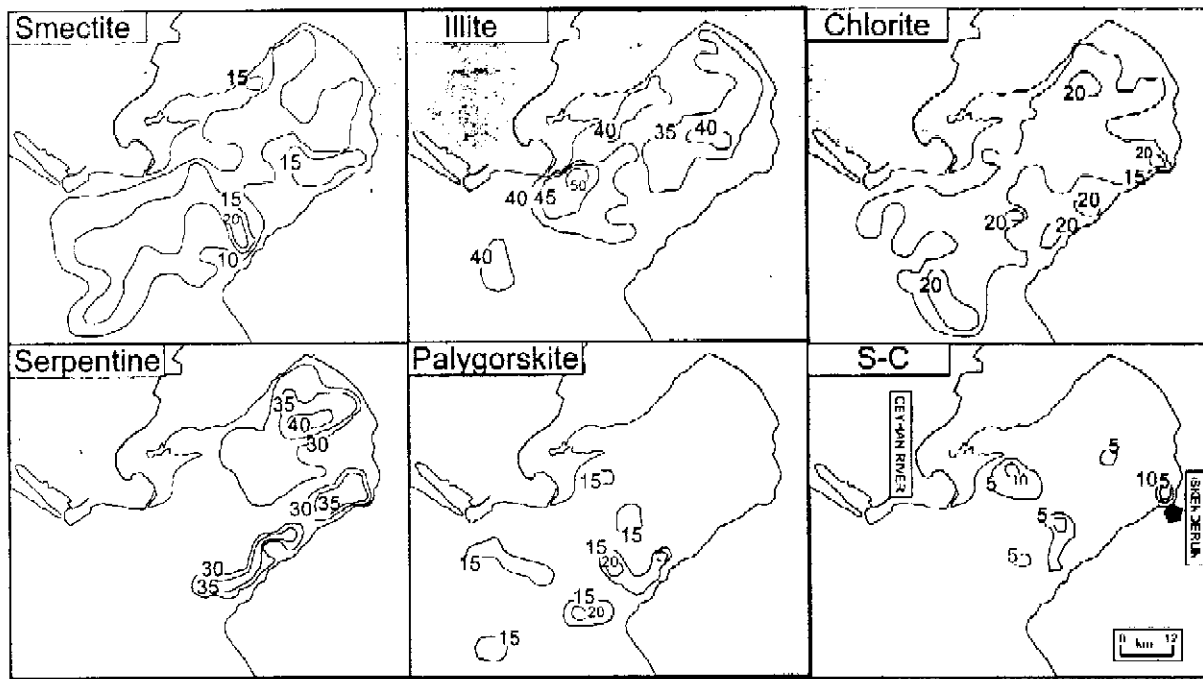


Fig 6. The distribution of the clay-fraction minerals in the Gulf of İskenderun sediments.

Şekil 6. İskenderun Körfezi sedimanlarındaki kil fraksyonu mineralerinin dağılımı.

solution in various environments (Millot, 1970), and/or wind-transport from the surrounding land masses as in the gulf of İskenderun. Palygorskite has been frequently recorded in deep marine sediments as an authigenic mineral (Couture, 1977; Church and Velde, 1979; Pletsch et al., 1996) and also detrital mineral (Sirocko and Lange, 1991; Pletsch et al., 1996; Lopez-Galindo et al., 1996).

ACKNOWLEDGEMENTS

We wish to thank the crews of the R/V Bilim for their assistance in the collection of sediment samples. We are also grateful to Gülsen Gümüşer, Fatma Yalçın and Ümit Şengül for their help during laboratory works.

REFERENCES

- Aslaner, M., 1973. Geology and petrography of the ophiolites in the İskenderun-Kırıkhan region. Publication of Mineral Research and Exploration Institute, Ankara, 50, 71 pp.
- Bal, Y. and Demirkol, C., 1987. Coastline changes in Eastern Mediterranean Turkey. Earth Science Review of Engineering Faculty of Istanbul University, 6, 69-92.
- Biscaye, P. E., 1965. Mineralogy and sedimentation of recent deepsea clay in the Atlantic Ocean and adjacent seas and oceans. Geological Society of American Bulletin, 76, 803-832.
- Bozkaya, Ö. and Yalçın, H., 1997. Mineralogy and petrography of Upper Paleozoic-Lower Mesozoic diagenetic-very low grade metamorphic rocks from Bolkar Dağı Unit (Central Taurus, Bozkır-Konya). Bulletin of Earth Sciences Application and Research Centre of Hacettepe University, Beytepe-Ankara, Turkey, 19, 17-40, (in Turkish, with English abstract).
- Brindley, G. W., 1980. Quantitative x-ray mineral analysis of clays. In: Crystal Structures of Clay Minerals and Their X-ray Identification, G. W. Brindley and G. Brown, editors, Mineralogical Society, London, pp. 411-438.
- Chamley, H., 1971. Recherches sur la sédimentation argileuse en Méditerranée. Sciences Géologiques Strasbourg Mémoir, 35, 225 pp.
- Chamley, H., Diester-Haass, L. and Lange, H., 1977. Terrigenous material in East Atlantic sediment cores as an indicator of northwestern African climates. Meteor Forsch-Ergebn, Reihe C, 26, 44-59.

- Chave, K. E., 1954. Aspects of the biochemistry of magnesium 1. Calcareous and marine organisms. *Journal of Geology*, 62, 266-283.
- Church, T. M. and Velde, B., 1979. Geochemistry and origin of a deep-sea Pacific palygorskite deposit. *Chemical Geology*, 25, 31-39.
- Couture, R. A., 1977. Composition and origin of palygorskite-rich and montmorillonite-rich zeolite-containing sediments from the Pacific Ocean. *Chemical Geology*, 19, 113-130.
- Ergin, M., Kazan, B. and Ediger, V., 1996. Source and depositional controls on heavy metal distribution in marine sediments of the Gulf of İskenderun, Eastern Mediterranean. *Marine Geology*, 133, 223-239.
- Ergin, M., Kazan, B., Eryılmaz, F. Y., Eryılmaz, M. and Okyar, M., 1998. Hydrographic, deltaic and benthogenic controls of sediment dispersal in the Gulf of İskenderun, SE-Turkey (E. Mediterranean). *Eustuarine, Coastal and Shelf Science*, 46 (in press).
- Frey, M., 1987. Low Temperature Metamorphism. M. Frey, editor, Blackie & Son, Glasgow, 351 pp.
- Goldsmith, J.R. and Graf, D.L., 1958. Relation between lattice constants and composition of the Ca-Mg carbonates. *American Mineralogist*, 43, 84-101.
- Gutierrez-Mas, J. M., Lopez-Galindo, A. and Lopez-Aguayo, F., 1997. Clay minerals in recent sediments of the continental shelf and the Bay of Cadiz (SW Spain). *Clay Minerals*, 32, 507-515.
- Gündoğdu, M. N., Yalçın, H., Temel, A. and Clauer, N., 1996. Geological, mineralogical and geochemical characteristics of zeolite deposits associated with borates in the Bigadiç, Emet and Kirka Neogene lacustrine basins, Western Turkey. *Mineralium Deposita*, 31, 492-513.
- Hoffman, J., and Hower, J., 1979. Clay mineral assemblages as low grade metamorphic geothermometers: Application to the thrust faulted disturbed belt of Montana, USA. In: *Aspects of Diagenesis*, P. A. Scholle and P. R. Schluger, editors, Society of Economic Paleontologists Mineralogists Special Publication, 26, 55-79.
- İyiduvar, Ö., 1986. Hydrographic characteristics of İskenderun Bay. Thesis, Institute of Marine Science, Middle East Technical University, Erdemli, İçel, 157 pp.
- Kapur, S., Gökçen, S. L., Saydam, C., Şenol, M., Şenol, S. and Karaman, C., 1989. The clay mineralogy and geochemistry of the recent surface sediments of İskenderun Bay as indicators of terrestrial provenance. *Z. Geomorphology N.F.*, 73, 167-180.
- Kelling, G., Gökçen, S. L., Floyd, P. A. and Gökçen, N., 1987. Neogene tectonics and plate convergence in the eastern Mediterranean: New data from southern Turkey. *Geology*, 15, 425-429.
- Kübler, B., 1984. Les indicateurs des transformations physiques et chimiques dans la diagenèse, température et calorimétrie. In: *Thermométrie et barométrie géologiques*, M. Lagache, editor, Society Français Minéralogie Cristallographie, Paris, pp. 489-596.
- Lopez-Galindo, A., Ben Aboud, A., Fenoll Hach-Ali, P. and Casas Ruiz, J., 1996. Mineralogical and geochemical characterization of palygorskite from Gabasa (NE Spain). Evidence of a detrital precursor. *Clay Minerals*, 31, 33-44.
- Milliman, J. D., 1974. *Marine Carbonates. Part I Recent Sedimentary Carbonates*. Springer-Verlag, Berlin, 375 pp.
- Millot, G., 1970. *Geology of Clays*. Springer, Berlin, 429 pp.
- Pletsch, T., Daoudi, L., Chamley, H., Deconinck, J. F. and Charroud, M., 1996. Palaeogeographic controls on palygorskite occurrence in Mid-Cretaceous sediments of Morocco and adjacent basins. *Clay Minerals*, 31, 403-416.
- Reynolds, R. C., 1980. Interstratified clay minerals. In: *Crystal Structures of Clay Minerals and their X-ray Identification*, G. W. Brindley and G. Brown, editors, Mineralogical Society, London, pp. 249-303.
- Saager, P. M., Schijf, J. and De Baar, H. J. W., 1993. Trace-metal distributions in seawater and anoxic brines in the eastern Mediterranean Sea. *Geochimica Cosmochimica Acta*, 57, 1419-1432.
- Sirocko, F. and Lange, H., 1991. Clay-mineral accumulation in the Arabian Sea during the late Quaternary. *Marine Geology*, 97, 105-119.
- Şengör, A. M. C., Görür, N. and Saroğlu, F., 1985. Strike-slip faulting and related basin formation in zones of tectonic escapes: Turkey as a case study.

- Society of Economic Paleontologists Mineralogists Special Publication, 37, 227-264.
- Tolun, N. and Pamir, H.N., 1975. Explanatory text of the geological map of Turkey: Hatay Sheet, 1/500.000 scale. Publication of Mineral Research and Exploration Institute, Ankara, 99 pp.
- Tsirambides, A. E., 1986. Detrital and authigenic minerals in sediments from the western part of the Indian Ocean. *Mineralogical Magazine*, 50, 69-74.
- Vatan, J. M., 1967. *Manuel de Sédimentologie*. Technip, Paris, 397 pp.
- Venkataraman, K. and Ryan, W.B.F., 1971. Dispersal patterns of clay minerals in the sediments of the Eastern Mediterranean Sea. *Marine Geology*, 11, 261-282.
- Yalçın, H. and Bozkaya, Ö., 1995a. Sepiolite-palygorskite from the Hekimhan region (Turkey). *Clays and Clay Minerals*, 43, 705-717.
- Yalçın, H. and Bozkaya, Ö., 1995b. Mineralogy and biogeochemistry of the Quaternary sequence in the Gulf of Izmit (Hersek Burnu-Kaba Burun). In : Quaternary Sequence in the Gulf of Izmit, E. Meriç, editor), pp. 45-60.
- Yalçın, H. and Bozkaya, Ö., 1997. Burial and thrust-related very low-grade metamorphism in the upper Paleozoic meta-sedimentary rocks at the Kangal-Alacahan area, Sivas, Turkey. *Geological Bulletin of Turkey*, 40, 1-16.
- Yalçın, H. and Taner, G., 1998. Mineralogic, geochemical and paleontologic relations in the mollusc shells of the submarine sediments from Izmit Gulf, Sea of Marmara, Turkey. *Bulletin of Applied Earth Sciences of Kocaeli University*, 1, 39-50.

ALTINHİSAR (NİĞDE) OVASININ HİDROJEOLOJİSİ

HYDROGEOLOGICAL INVESTIGATION OF THE ALTINHİSAR (NİĞDE) PLAIN

Ahmet GÜZEL
M. Tahir NALBANTÇILAR
İbrahim YİĞİTBASI

Celal Bayar Üniversitesi Mühendislik Fakültesi, MANİSA
Selçuk Üniversitesi Mühendislik Mimarlık Fak., KONYA
DSİ IV. Bölge Müdürlüğü, KONYA

ÖZ : Bu çalışmada, Altınhisar Ovası akiferi, yeraltı sularının kalitesi, bütçesi ve potansiyelini ortaya koymak amaçlanmıştır. Bu çerçevede hidrojeolojik haritalama yapılmıştır. Ayrıca Ovayı temsil edecek şekilde seçilmiş sondaj kuyuları ile Pınarbaşı Kaynağından alınan yeraltı suyu örneklerinde su kimyası analizleri yapılmıştır. İnceleme yapılan sahada volkanik kayaçlar egemen durumdadır. Ova kesiminde ise alüvyon yaygın olarak izlenir.

Altınhisar Ovasının akifer karekteristiklerinin belirlenmesinde Cooper-Jacob yönteminden yararlanılmıştır. Buna göre iletkenlik $70.56-9776.16 \text{ m}^2/\text{gün}$ arasında belirlenmiştir. Pınarbaşı Kaynağı, $285 \text{ lt/sn}'lik$ ortalama debiye sahip olup, yıllık $8.9 \times 10^6 \text{ m}^3$ su boşalmaktadır. Yeraltı suyu bütçesi bakımından yıllık $9.82 \times 10^6 \text{ m}^3$ lük bir rezerv değişimi mevcuttur. Kuyulardan ve kaynaktan alınan sularda genel olarak $r(\text{Ca}+\text{Mg}) > r(\text{Na}+\text{K}), r\text{HCO}_3 > r\text{Cl} > r\text{SO}_4$ şeklinde iyon sıralanışı bulunmaktadır. Ayrıca 8 nolu kuyunun suyu sulama suyu sınıflaması C_3S_1 , diğer kuyuların suları ile Pınarbaşı Kaynağı'nınki C_2S_1 şeklindedir.

Anahtar kelimeler : Altınhisar, hidrojeoloji, su kimyası, su sınıflaması

ABSTRACT : The aim of this study was to define the aquifer of Altınhisar Plain, the quality, the budget and the potential of ground water there. Within this scope, a hydrogeological mapping was performed. Water chemical analyses were carried out on the samples from the water wells to represent the plain and on the samples taken from the Pınarbaşı Spring. In the studied area the volcanic rocks are dominant whereas in the plain mainly alluvium is seen.

Cooper-Jacob method was applied to determine the hydraulic characteristics of aquifer in the Altınhisar Plain. Accordingly, the transmissivity found to range between 70.56 to $9776.16 \text{ m}^2/\text{day}$. The Pınarbaşı Spring has an average discharge rate of 285 l/sec which corresponds to $8.9 \times 10^6 \text{ m}^3$ per year. Considering the annual budget of groundwater, it can be stated that an annual reserv change of $9.82 \times 10^6 \text{ m}^3$ is present every year. The ionic order of water samples taken from wells and the springs is $r(\text{Ca}+\text{Mg}) > r(\text{Na}+\text{K}), r\text{HCO}_3 > r\text{Cl} > r\text{SO}_4$. In addition, the irrigation water classification of the well water numbered 8 is C_3S_1 , and the same classification for the other well waters and the Pınarbaşı Spring is C_2S_1 .

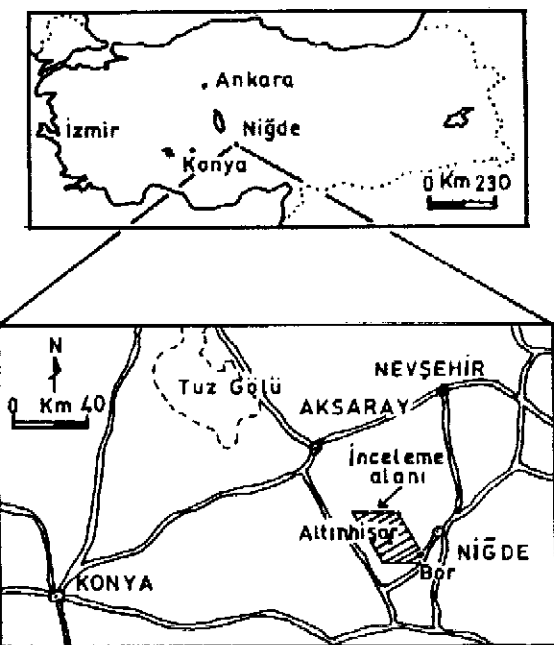
Key words : Altınhisar, hydrogeology, water chemistry, water classification

GİRİŞ

Altınhisar Ovası, Niğde'nin 4 km. batısında yer almaktadır (Şekil 1). Toplam 720 km^2 'lik drenaj alanına sahip olan havzada ova 312 km^2 'lik bir alanı kaplar. Ova çevresinde en yüksek noktası 2750 m olup, ovanın ortalama yüksekliği ise 1234 metredir. İnceleme alanının güney doğusunda yer alan Bor ve Altınhisar ilçeleri ile diğer yerleşim birimleri içme, kullanma ve sulama suyu gereksinimlerini bu alanda a-

çılmış sondajlar kuyularından ve Pınarbaşı kaynağından sağlamaktadırlar.

İnceleme alanı, yarı kurak karasal bir iklimle sahiptir. Niğde Meteoroloji İstasyonu verilerine göre 21 yıllık (1980-2000) ortalama sıcaklık 10.8°C , ortalama yağış ise $333.4 \text{ mm}'dir$. Thornthwaite (1948) formülüne göre hazırlanan Deneşirmeli Nem Bilançosu ve Suyun Yıllık Değişim grafiğine göre yörende, Şubat ortasından Mart ortasına kadar su fazlaşması, Mayıs

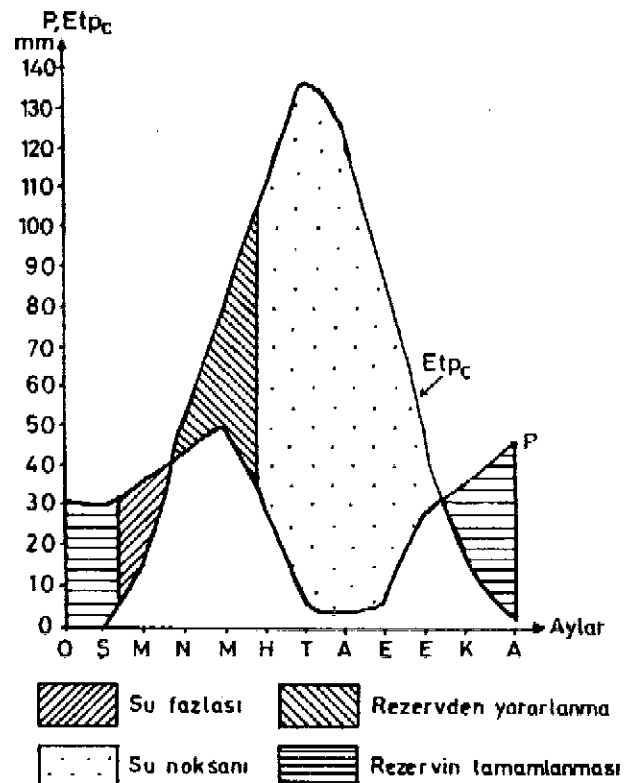


Şekil 1. İnceleme alanının yer bulduru haritası.
Figure 1. Location map of the study area.

ortasından Ekim ortasına kadar su noksası görülmektedir (Çizelge 1, Şekil 2).

JEOLOJİ

İnceleme alanının jeolojisi Yiğitbaşı (1997)den özetlenerek alınmıştır. Buna göre tabanda, Pliyokuvatner yaşı Melendiz dağı volkanitleri bulunmaktadır. Üye olarak ayrılan Alt Pliyosen yaşı piroklastikler (T_m), başlıca tuf ve tuf breşinden meydana gelmektedir. Orta seviyelerde yer alan Pliyosen yaşı aglomera üyesi (T_{nd}), camsı tuf, lapiilli-blok boyutunda lav parçaları içeren tüften oluşmaktadır. Üst seviyelerde yine Pliyosen yaşı andezit-andezitkbazaltlar (α) gelmektedir. Melendiz dağı volkanitlerinin, pomza lapiillilerini içeren camsı külden oluşan Hasandağı külleri (Q_h) ile bunun üzerine gelen Gösterli bazaltı (Q_β) (Güzel ve Göçmez, 1994) Pleystosen yaşıdır. Tüm birimlerin üzerine güncel olarak da oluşumunu sürdürten yer yer tutturılmış silt, kum, çakıl ve blok boyutlu malzemelerden oluşan yamaç molozu (Q_{ym}) ile ova kesimini oluşturan ve tutturulmamış çakıl, kum, silt ve kilden oluşan alüvyon (Q_{al}) gelmektedir. İnceleme alanını etkileyen yapısal unsurlar, ovanın hidrojeolojik karakterlerinin gelişmesinde etkili olmuştur. Bu yapısal unsurlar, inceleme alanını KB'dan GD'ya kadar kesen Şereflikoçhisar-Aksaray fayı, Altınhisar'ın yakınındaki yaklaşıkla kuzey-güney doğrultulu olan doğrultu atımlı fay ve ovanın batı kesimindeki tepelik alanda izlenen eğim atımlı normal faylar ile ovdak muhtemel faylardır (Şekil 3).



Şekil 2. Suyun yıllık değişim graflığı.
Figure 2. Graphic of yearly change of water.

terlerinin gelişmesinde etkili olmuştur. Bu yapısal unsurlar, inceleme alanını KB'dan GD'ya kadar kesen Şereflikoçhisar-Aksaray fayı, Altınhisar'ın yakınındaki yaklaşıkla kuzey-güney doğrultulu olan doğrultu atımlı fay ve ovanın batı kesimindeki tepelik alanda izlenen eğim atımlı normal faylar ile ovdak muhtemel faylardır (Şekil 3).

HİDROJEOLÖJİ

Hidrojeoloji Birimleri

Yöredeki Melendiz dağı volkanitleri, içe-risindeki andezit-andezitkbazaltlarının (α) çatlaklı ve kıraklı olmaları nedeniyle yağışların süzülmesine olanak sağlayacak geçirimsizliğine sahiptir Marsily (1986), çalışmalarıyla süreksızlıkların, kayaçların hidrolik geçirgenlik için önemli unsur olduğunu tesbit etmiştir. Ayrıca masif olup, süreksızlık içeren volkanik kayaçların % 2.5'lere varan poroziteye sahip olabileceği belirlenmiştir

Çizelge 1. İnceleme alanı ve çevresine ait DeneşirmeLİ Nam Bilançosu.
Table 1. Moisture balance of the investigated area and its vicinity.

AYLAR	O	S	M	N	M	H	T	A	E	E	K	A	Toplam
Aylık Ort. Sic. (°C)	-0,7	0	4,3	10,7	14,9	19	22,4	22	17,0	12,1	5,8	1,6	--
Sıcaklık Indisi (i)	0	0	0,79	3,16	5,22	7,54	9,68	9,42	6,89	3,81	1,25	0,17	47,97
Po Bu-Te(Etp:mm)	0	0	13,96	43,53	65,81	89,12	100,4	107	82,73	50,75	20,28	4,06	586,64
Enlem Düzelt Kat	0,85	0,84	1,03	1,1	1,23	1,24	1,25	1,17	1,04	0,96	0,84	0,83	--
Düzelt. Etp. (mm)	0	0	14,38	47,89	80,94	110,5	136,8	125,2	86,04	48,72	17,03	3,37	670,91
Yağış (mm)	30,5	29,9	36,3	41,5	49,1	27,7	4,3	3,5	5	27,6	34	44,2	333,40
F.Su Yedeği(mm)	100	100	100	93,61	61,77	0	0	0	0	0	16,97	57,79	--
Gerçek Etp. (mm)	0	0	14,38	47,89	80,94	89,47	4,3	3,5	5	27,6	17,03	3,37	293,48
Su Fazlası (mm)	0	60,4	21,92	0	0	0	0	0	0	0	0	0	82,32
Su Noksanı (mm)	0	0	0	0	0	21,03	132,5	121,7	81,04	21,12	0	0	377,39

(Nalbantçilar ve Gökay, 1997). İnceleme alanının kuzeydoğusundaki yüksek ve sarp kesim bu birimlerden oluşmuştur. Bu kesimin topografik konumundan dolayı, süzülen yağış burada tutunamamakta güneye doğru hareket ederek gevşek birimlere geçmektedir. Aglomera üyesi (Tnd) içerisindeki farklı boyutlu tanelerin gözenekliliği yüksek olduğundan yağışın süzülmesini kolaylaştırır ve bu birimin bulunduğu alanlarda yüzeysel akış görülmez. Piroklastik üye (Tm) ise gevşek malzemeden oluştuğundan geçirilmiştir. Alüvyon (Qal), çakıldan kile kadar değişen boyuttaki gevşek kıritılılardan oluşmuş olup, Şekil 4'teki verilere göre özellikle filtre ile borulanmış seviyeler akifer özelliğindeki birimlerdir. Akiferin üst kesimini oluşturan kumlu ve çakılı seviyelerin kalınlığı ve devamlılığı kuzeyden güneye doğru azalmaktır, tane boyutu küçülmekte ve dolayısıyla geçirililiği azalmaktadır.

Akiferin Özellikleri

Yöredeki Pliyosen yaşı kayaçlar ile alüyonun akifer karakteristikleri ovanın genelini temsil edebilecek şekilde seçilmiş ve DSİ tarafından açılmış olan 10 adet sondaj kuyusunda yapılmış pompaj testlerinden yararlanılarak belirlenmiştir. Bu kuyulara ait litoloji ve techiz bilgileri Şekil 4'te verilmiştir. Ancak mevcut kuyuların hiçbir akiferi tamamen kesmediğinden, akiferin hidrolik iletkenlik katsayısi hesaplanırken filtre uzunluğu esas alınmıştır. Akiferin iletkenlik ve geçirilik değerleri, Cooper-Jacob yöntemi ile hesaplanmıştır (Freeze and Cherry, 1979)(Şekil 5). Sonuçta iletkenlik $70.56 - 9776.16 \text{ m}^2/\text{gün}$ arasında, geçirgenlik katsayıısı ise $1.68 - 139.66 \text{ m}/\text{gün}$ arasında değişmektedir (Çizelge 2, Şekil 5).

Kaynaklar

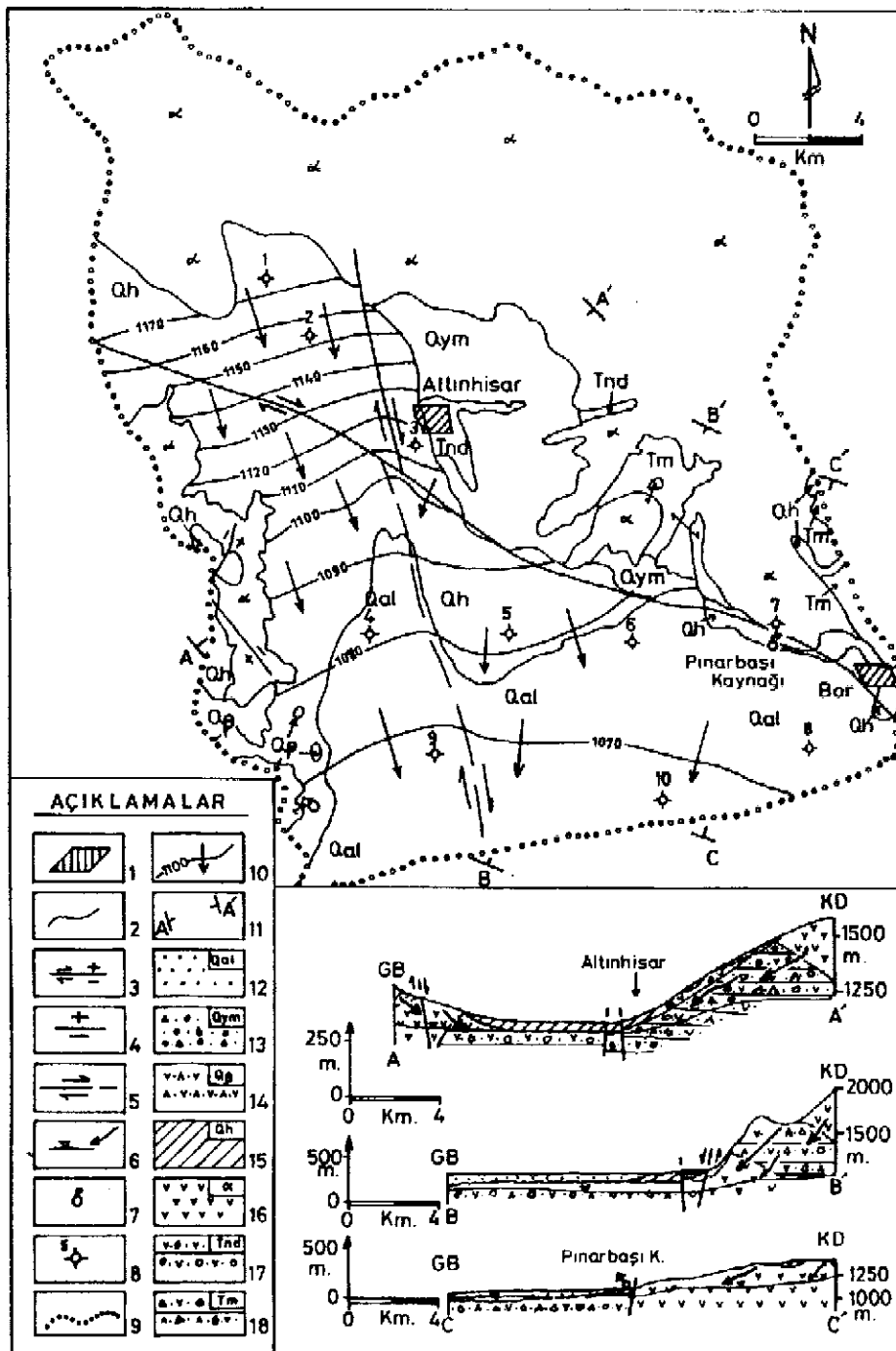
İnceleme alanında çok sayıda kaynak mevcuttur. Bunların çoğunluğu düşük debildir

ve mevsimsel yağışlardan etkilenirler. En önemlidilerinden olan Pınarbaşı kaynağı, 285 lt/sn'lık ortalamala debiye sahip, debi değişimini fazla kaynak sınıfına girer (Şahinci, 1991). Ortalama debi bakımından bu kaynak 3. derecede büyülü ge sahip bir kaynaktır (Todd, 1980). Ova sularında yararlanılan bu kaynağın suyu kiş aylarında drenaj kanalları aracılığı ile havza dışına boşaltılmaktadır.

Pınarbaşı kaynağının DSİ elemanlarınınca düzenli debi ölçümünün yapıldığı 1976-1998 yılları ortalamalarına göre çizilen yarı logaritmik boşalım grafiği Şekil 6'da verilmiştir. Bu grafiğin Maillet (1905)'e göre denklemi $q_t = q_0 \cdot e^{-\alpha t}$ olup, q_t : t anındaki debi (m^3/sn), q_0 : t_0 anındaki veya boşalımın başlangıcındaki debi (m^3/sn), α : boşalım katsayı (gün^{-1}) ve e: 2 718'dir. Kaynağın azalım eğrisine göre boşalım katsayıısı ise $\alpha = \log q_0 - \log q_t / 0.4343$. t formülünden $\alpha = 0.003087 \text{ gün}^{-1}$ olarak hesaplanmıştır. Böylece Pınarbaşı kaynağına ait boşalım doğrusunun denklemi $q_t = q_0 \cdot e^{-0.003087 t}$ dir. Kaynağın gerçek rejime ait dinamik rezerv değişimi $V = (q_0 - q)/86400 / \alpha$ ile hesaplanır (Ford ve Williams, 1989). Buna göre kaynağın dinamik rezerv değişiminde (çekilme döneminde) $2.9 \times 10^6 \text{ m}^3$ su ve yıllık $8.9 \times 10^6 \text{ m}^3$ su boşalmaktadır.

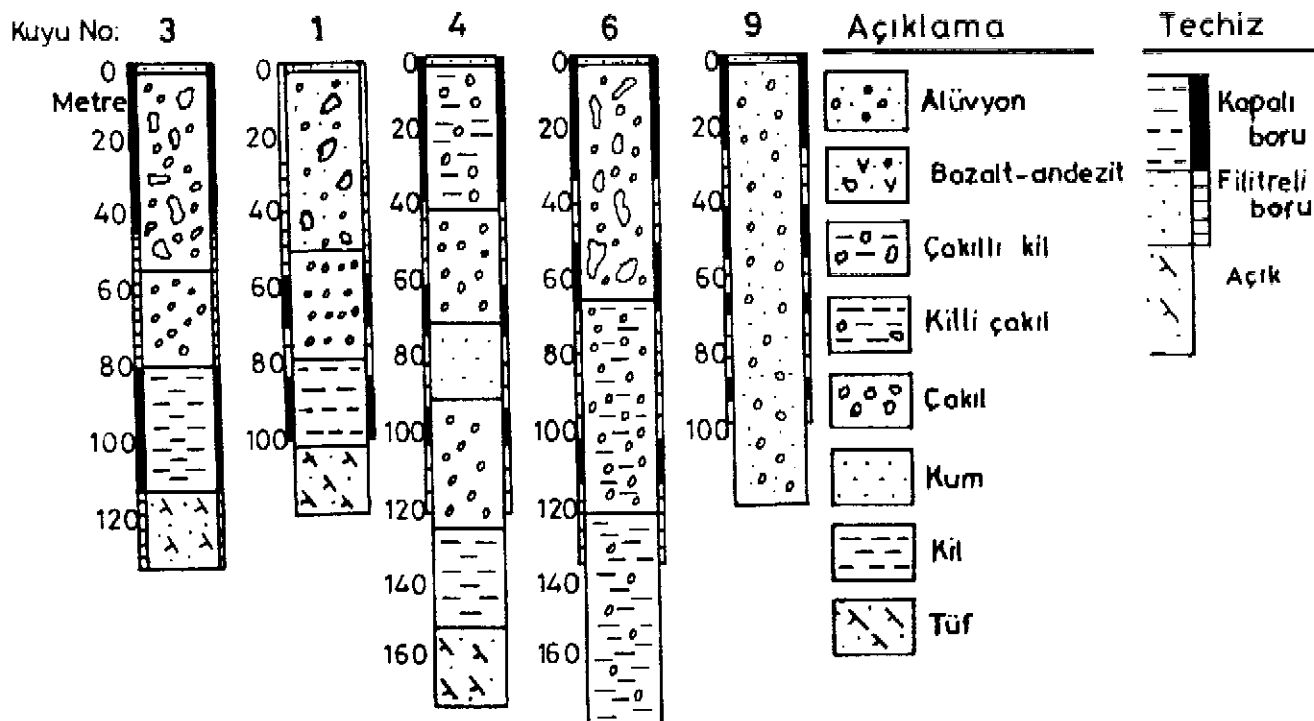
Yeraltısu Bütcesi

Yörede yeraltısu beslenimiği yağış, yüzeysel akış ve yeraltıdan içe akışla (yanal beslenme), boşalım ise, suni boşalım, kaynaklar ve yeraltıdan dışa akışla (yanal boşalım) olmaktadır. İnceleme alanındaki 441.4 km^2 lik drenaj alanında ve 160 km^2 lik ova kesiminde, 333.4 mm^2 lik ortalamalı yıllık toplam yağış ve bu alan için topografyanın özelliği ve bitki örtüsü göz önünde bulundurularak Yiğitbaşı (1997) tarafından öne sürülen % 15'lük süzülme oranı ile yıllık beslenim $25.1 \times 10^6 \text{ m}^3$ olarak bulunur. Drenaj alanından yüzeysel akıştan beslenim ise $4.76 \times 10^6 \text{ m}^3/\text{yıl}$ olarak hesaplanmıştır. Yanal



Şekil 3. İnceleme alanının hidrojeoloji haritası ve kesitleri: 1. Yerleşim merkezi, 2. Formasyon sınırı, 3. Yanal atılım fay, 4. Normal fay, 5. Doğrultu atılım fay, 6. Su tablosu ve yeraltı suyu akım yönü, 7. Kaynak, 8. Örnekleme yapılan sondaj kuyusu ve nosu, 9. Havza sınırı, 10. Eş su yükselti eğrisi ve yeraltı suyu akım yönü, 11. Kesit güzergahı, 12. Alüvyon (Q_{al}), 13. Yamaç molozu (Q_{ym}), 14. Gösterli bazaltı (Q_p), 15. Hasandağı külleri (Q_h), Melendizdağı volkanikleri: 16. Andezit-andesitikbazalt üyesi (α), 17. Aglomerata üyesi (Tnd), 18. Piroklastik üyesi (Tm).

Figure 3. Hydrogeological map and cross sections of the study area: 1. Settlement, 2. Formation boundary, 3. Oblique slip fault, 4. Normal fault, 5. Strike slip fault, 6. Water table and flow direction, 7. Spring, 8. Water well, 9. Boundary of catchment area, 10. Line of equal water table elevation and groundwater flow line, 11. Cross section direction, 12. Alluvium (Q_{al}), 13. Slope wash (Q_{ym}), 14. Gösterli basalt (Q_p), 15. Hasandağı ashes (Q_h), Melendizdağı volcanics: 16. Andesite-andesiticbasalt member (α), 17. Agglomerate member (Tnd), 18. Pyroclastic member (Tm).



Şekil 4. İnceleme alanındaki 1, 3, 4, 6 ve 9 nolu sondaj kuyularının litolojik logları (Yigitbaşı, 1997).
Figure 4. Lithological logs of wells numbered 1, 3, 4, 6 and 9 in the study area (Yigitbaşı, 1997).

Çizelge 2. Sondaj kuyularından elde edilen iletkenlik (T) ve geçirgenlik katsayısı (K) değerleri.

Table 2. Datas on transmissivity (T) and coefficient of permeability (K) of the wells.

Kuyu No	T ($m^2/\text{gün}$)	K ($m/\text{gün}$)
1	3091.68	56.21
2	3210.15	61.73
3	70.56	1.68
4	506.88	6.26
5	2021.76	31.10
6	1543.68	16.60
7	2806.56	53.97
8	2854.08	50.97
9	9187.20	127.60
10	9776.16	139.66

beslenim inceleme alanının kuzeydoğusundaki Niğde havzasından olmaktadır ve Gülenbay (1972)'e göre yıllık $11 \times 10^6 m^3$ olarak gerçekleşmektedir. Sonuç olarak inceleme alanındaki toplam beslenim $40.86 \times 10^6 m^3/\text{yıl}$ olarak hesaplanmıştır.

İnceleme alanında yaklaşık 4350 ha'lık alanda sulu tarım yapılmaktadır. 1997 yılı tah-

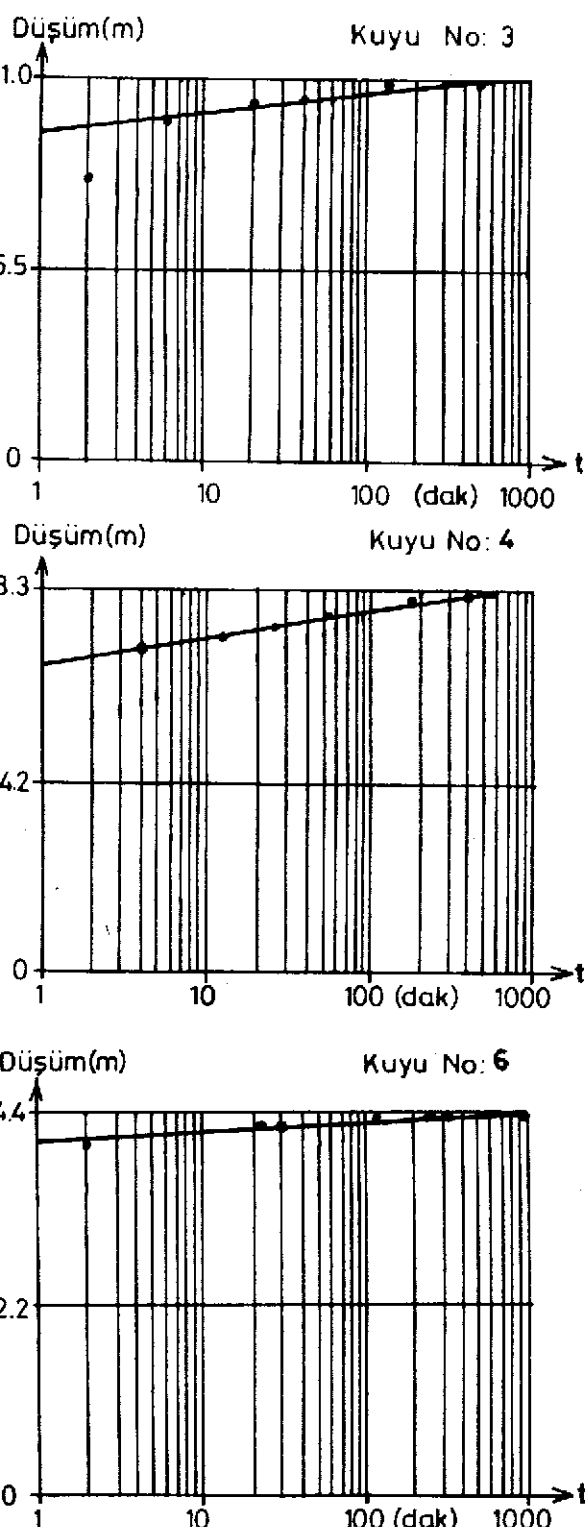
minlerine göre 100 işletme kuyusundan sulama döneminde yıllık $17.4 \times 10^6 m^3$ 'luk suni boşalım hesaplanmıştır. Yine Pınarbaşı kaynağından yılda $8.9 \times 10^6 m^3$ 'luk su boşalmaktadır. Ayrıca yeraltından dışa akışla pompaj testlerinden elde edilen yaklaşık $9482 m^3/\text{gün}$ 'luk iletimlilik değeri ve $1/300$ 'luk hidrolik eğimli bu ovdan yılda $22.76 \times 10^7 m^3$ 'luk su boşalmaktadır. Sonuçta toplam boşalım $49.06 \times 10^7 m^3/\text{yıl}$ olarak hesaplanmıştır.

Altınhisar ovasının beslenimi ve boşalımı arasında $8.2 \times 10^6 m^3/\text{yıl}$ 'lık bir rezerv değişimi (azalma) mevcuttur (Beslenim ve Boşalımı değerlendirilirken Freeze and Cherry (1979)'dan yararlanılmıştır).

Su Kimyası

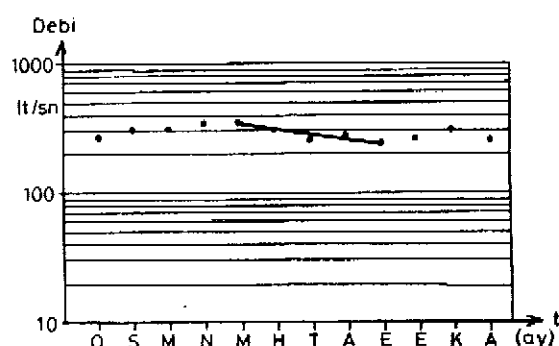
Örnekleme kuyularından ve Pınarbaşı kaynağından alınan sulara ait analiz sonuçları Çizelge 3'te verilmiştir. Yine Wilcox (1955) tarafından yapılan sulama suyu sınıflaması da bu çizelgede verilmiştir. Buna göre I: sulama için iyi nitelikte su ve K: sulamaya müsaade edilebilir nitelikteki suyu belirtmektedir. Ayrıca bu sonuçlara göre çizilen Schoeller ve Piper diyagramları Şekil 7'de gösterilmiştir.

İnceleme alanında kuyulardan ve kaynaktan alınan suların ortalaması pH'sı 7.3'tür. 3, 4



Şekil 5. 3, 4 ve 6 nolu sondaj kuyularındaki pompaaj verilerine ilişkin Cooper-Jacob grafikleri.

Figure 5. Cooper-Jacob method graphics of the pumping test data of wells numbered 3, 4 and 6.



Şekil 6. Pınarbaşı kaynağının 1976-1998 yıllarına ait yarı logaritmik boşalım grafiği.

Figure 6. Semi logarithmic recession hydrograph of Pınarbaşı Spring from 1976 to 1998.

ve 6 nolu sular asidik, 8 nolu su nötr ve diğerleri bazik özelliktedir. Yine çalışma alanındaki suların elektriksel iletkenlikleri 260 ile 1070 $\mu\text{S}/\text{cm}$ arasında değişmektedir.

Schoeller diyagramına göre iyonlarının sıralanması bakımından çok az farklılık göstermektedir. Genelde iyonları birleştiren doğrular uyumludur. Bu küçük farklılıkların, kuyu derinliklerinin farklı olması, dolayısıyla geçen birimlerin derin kuyularda çeşitlenmesi ve yeraltı suyu akım yönünde bazı değerlerin artmış olması gibi nedenlerden ileri gelmiş olması mümkündür. Dolayısıyla suların aynı kökenli oldukları söylenebilir. Sulardaki iyon sıralanışı genel olarak şöyledir, $r(\text{Ca}+\text{Mg}) > r(\text{Na}+\text{K}), \quad r\text{HCO}_3 > r\text{Cl} > r\text{SO}_4$

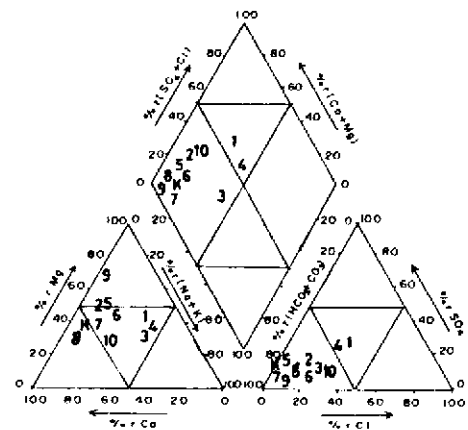
Piper diyagramına göre (Canik, 1998), sular 1 nolu alanda yer almaktadır. Buradaki sular karbonatlı ve sülfatlı sular sınıfındadır 1 ve 4 nolu kuyuların suları hiçbir iyonu % 50'yi geçmeyen karışık bileşimli sulardır. Diğer kuyuların suları ise CO_3 sertliği % 50'den büyük olup, CaCO_3 ve MgCO_3 'lu sulardır.

Alandaki suların sulama suyu sınıflaması ABD Tuzluluk Laboratuvarı diyagramı (Richards, 1954)'e göre yapılmıştır (Şekil 8). Ayrıca bu sular sulama suyu kalitesi açısından Ayers ve Westcot (1985)'e göre değerlendirildiğinde, bitkinin suyu alması bakımından etkili olan tuzluluk faktörü için 8 nolu kuyu suyu kullanım açısından orta kaliteli, diğer kuyuların suları ise kalitelidir.

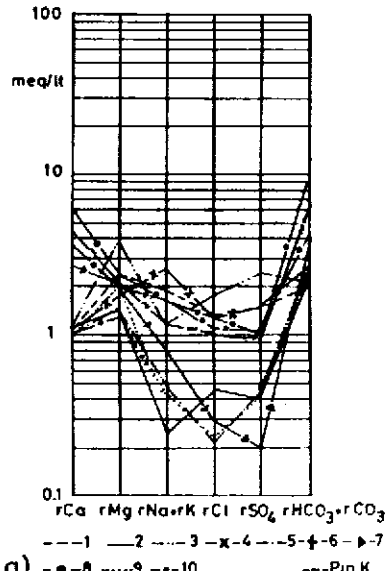
Sulama suyu diyagramına göre (Şekil 8), Pınarbaşı kaynağı ile 1, 2, 3, 4, 5, 6, 7, 9 ve 10 nolu kuyuların suları orta tuzlu, az sodyumlu suları içeren C_2S_1 bölgesinde yer almaktadır. Bu sular tuza orta derecede dayanıklı ve sodyuma

Çizelge 3. Su örneklerine ait analiz değerleri.
Table 3. Analyses data of the water samples.

uyu No	pH	EC /cm	Na meq/ lt	K meq/ lt	Ca meq/ lt	Mg meq/ lt	ΣK meq/ lt	CO ₃ meq/ lt	CO meq/ lt	Cl meq/ lt	SO ₄ meq/ lt	ΣA meq/ lt	%N	SAR	Su Si- nifi	S	FS	Wilco Sınıfı
Pin	7.1	665	1.18	0.19	4.39	2.0	7.76	0	5.49	0.99	0.94	7.42	15.2	1.1	C ₂ S ₁	0	32	†
1	8.2	510	1.8	0.08	1.1	2.3	5.28	0	1.99	1.42	1.58	4.99	34	1.4	C ₂ S ₁	0	17	‡
2	7.9	460	0.8	0.06	1.2	2.6	4.66	0	3.1	0.77	0.81	4.68	17	0.6	C ₃ S ₁	0	19	†
3	6.0	514	2.4	0.14	1.18	1.42	5.14	0	3.6	1.12	0.42	5.14	46.6	0.6	C ₂ S ₁	0	13	‡
4	6.0	530	1.0	1.5	1.2	1.6	5.3	0	2.4	1.4	1.5	5.3	18.9	0.35	C ₃ S ₁	0	14	‡
5	8.5	260	0.42	0.07	1	1.5	2.99	0	2.5	0.22	0.45	3.17	14	0.4	C ₂ S ₁	0	12	‡
6	6.5	269	0.4	0.09	1.0	1.2	2.69	0	2.0	0.56	0.13	2.69	14.8	0.7	C ₃ S ₁	0	11	†
7	7.6	385	0.8	0.02	1.9	1.6	4.32	0	3.7	0.3	0.2	4.20	18.5	0.6	C ₃ S ₁	0	18	‡
8	7.0	1070	1.86	0.12	6.1	3.1	11.1	0	8.54	1.48	1.15	11.1	16.6	0.9	C ₃ S ₁	0	46	K
9	7.9	320	0.36	0.08	1.0	1.8	3.24	0	2.7	0.18	0.4	3.28	11.1	0.3	C ₂ S ₁	0	14	†
10	7.6	690	1.8	0.13	3.2	2.0	7.13	0	4.9	1.6	1.04	7.54	25.2	1.1	C ₃ S ₁	0	26	‡

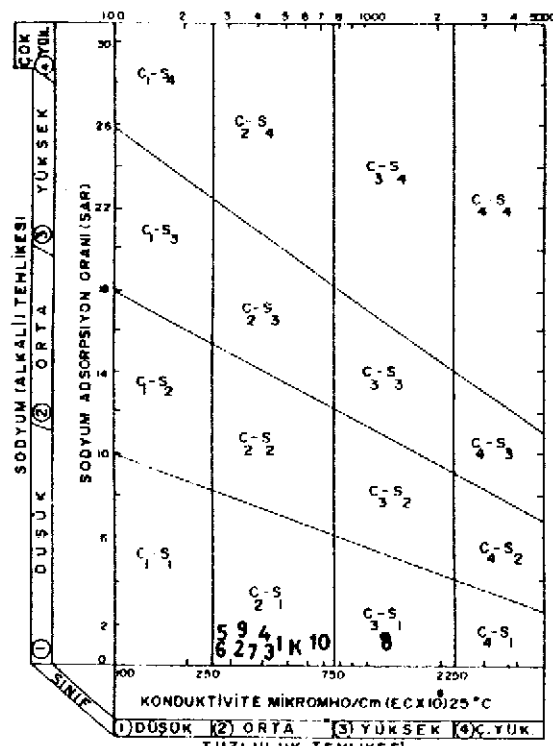


b)



Şekil 7. Su örneklerinin Schoeller (a) ve Piper di-yagramında (b) sınıflanması.

Figure 7. Classification of the water samples on Schoeller (a) and Piper (b) diagrams.



Şekil 8. Su örneklerinin sulama suyu sınıflaması.
Figure 8. Irrigation water classification of the water samples.

karşı duyarlı olan bitkilerin dışındaki bitkilerin sulanmasında kullanılabilir. 8 nolu kuyu suyu ise fazla tuzlu, az sodyumlu suları belirten C₃S₁ sınıfına girmektedir. Tuza dayanıklı ve sodyuma karşı duyarlı olan bitkilerin dışındaki bitkilerin yetiştirilmesinde kullanılabilir. Tuzluluğun kontrol edilebileceği, drenajı yapılmış alanlarda kullanılabilir.

SONUÇLAR

Altınhisar ovası, sulu tarım olanağı olan ve yore ekonomisine sağladığı katkıdan dolayı önemli ovalardandır. Bu alanda ova kesimini oluşturan alüvyon, akifer özelliğindedir. Alüvyon diğer birimlerden gereç almış ve çakıldan kile değişim gösteren gevşek kırıntılarından oluşmuştur. Altınhisar ovasının yıllık yeraltı suyu rezervi $40.86 \times 10^6 \text{ m}^3$ tür. Ovada her geçen yıl artan orandaki sulu tarım gereksinimi, yeraltı suyundan yararlanmayı artırmaktadır. Tarımsal sulama yapılan dönemde yıllık $17.4 \times 10^6 \text{ m}^3$ lük yeraltı suyundan çekim yapılmıştır. Bu durum akiferdeki su rezervini olumsuz olarak etkilemektedir. Söz konusu nedenden dolayı, Altınhisar ovasında yeni sondaj yapımının kontrol altında tutulması gerekmektedir. Pınarbaşı Kaynağının, 285 lt/sn'lik ortalama debisi vardır. Kaynağın besleniminde topografik sınırlar dışında, jeolojik ve hidrojeolojik koşullar da etkili olmaktadır. Kaynak gerçek rejimdeki boşalım döneminde yıllık $8.9 \times 10^6 \text{ m}^3$ su boşalmaktadır. Alınan su örneklerinin iyon sıralanışı $r(\text{Ca}+\text{Mg}) > r(\text{Na}+\text{K})$, $r\text{HCO}_3 > r\text{Cl} > r\text{SO}_4$ şeklinde olup, 1, 2, 3, 4, 5, 6, 7, 9 ve 10 nolu kuyuların suları ile Pınarbaşı kaynak suyunun sulamada kullanılmasında herhangi bir önlem almaya ve sahincaya gerek yoktur.

KAYNAKLAR

- Ayers, R.S. and Westcot, D.W., 1985, Water Quality for Agriculture: FAO Irrigation and Drainage Paper, 29/1, FAO, Roma, 174 pp.
- Canik, B., 1998, Hidrojeoloji: Ankara, 286 s.
- Ford, D.C. and Williams, P.W., 1989, Karst Geomorphology and Hydrology: Unwin Hyman, London, 601 pp.
- Freeze, R.A. and Cherry, J.A., 1979, Groundwater: Prentice-Hall, Inc., Englewood Cliffs, New Jersey 06732, 604 pp.
- Gülenbay, A., 1972, Ereğli-Bor Ovası Hidrojeolojik Etüd Raporu: DSİ Yayınları, Ankara, 71 s.
- Güzel, A. ve Göçmez, G., 1994, Aksaray (Niğde) Sıcak ve Mineralli Sularının Hidrojeoloji İncelemesi: SÜAF Proje No: MMF 89/141, 281 s.
- Maillet, E., 1905, Essais d'hydraulique Souterraine et Fluviale: Hermann, Paris.
- Marsily, G., 1986, Quantitative Hydrogeology: Groundwater Hydrology for Engineers Academic Press Inc., New York.
- Nalbantçılar, M.T. ve Gökay, M.K., 1997, Su-reksizliklerin Yeraltısu Depolanmasına ve İletilmesine olan etkisi: Geosound, Adana, 30, 243-254.
- Piper, A.M., 1944, A Graphic Procedure in the Geochemical Interpretation of Water Analyses: Trans. Amer. Geophys Union, 25, pp. 914-923.
- Richards, L.A., 1954, Diagnosis and Improvement of Saline and Alkali Soils: Agriculture Handbook 60, U.S. Dept. Agriculture, Washington, D.C., 160 pp.
- Schoeller, H., 1962, Les Eaux Souterraines: Masson et Cie, Paris, 642 pp.
- Şahinci, A., 1991, Karst Reform Matbaası, İzmir, 171 s.
- Thornthwaite, C.W., 1948, An Approach toward a Rational Classification of Climate: The Geographical Review, New York, 38, pp. 55-94.
- Todd, D.K., 1980, Groundwater Hydrology: John Wiley and Sons, New York, 535 pp.
- Wilcox, L.V., 1955, Classification and Use of Irrigation Waters: U.S. Dept. Agric. Circ., 969, Washington, D.C., 19 pp.
- Yiğitbaşı, I., 1997, Bor (Niğde) Pınarbaşı Kaynağı ve Çevresinin Hidrojeolojisi. Yüksek Lisans Tezi, S.U. Fen Bilimleri Enstitüsü, Konya, 84 s., (yayınlanmamış).

TECER DAĞI (SİVAS-ULAŞ) KAYNAKLARININ HİDROJEOLJİSİ

HYDROGEOLOGY OF THE TECER MOUNTAIN SPRINGS (SİVAS-ULAŞ)

Tülay EKEMEN
Fikret KAÇAROĞLU

Cumhuriyet Üniversitesi, Jeoloji Mühendisliği Bölümü, Sivas
Cumhuriyet Üniversitesi, Jeoloji Mühendisliği Bölümü, Sivas

ÖZ : Bu çalışmada, Tecer Dağı (Ulaş-Sivas) ve çevresinin hidrolojik, hidrojeolojik özelliklerinin, su kimyası ve kalitesinin ve Tecer Kireçtaşının karstik özelliklerinin belirlenmesi ve değerlendirilmesi amaçlanmıştır. Çalışma kapsamında alanın hidrojeoloji haritası hazırlanmış, su noktalarında ölçümler (debi, sıcaklık, pH, elektriksel iletkenlik, toplam çözünmüş katılar) ve su örneklemesi yapılmış ve alınan örneklerin kimyasal analizi yapılmıştır. Arazi ölçümleri ve hava fotoğrafları yardımıyla kırık izleri analiz edilmiştir.

Sivas'ın güneydoğusunda bulunan inceleme alanının temelini Üst Jura-Alt Kretase yaşı Çataldağ Kireçtaşı oluşturmaktadır. Bu birimin üzerinde sırasıyla Üst Kretase yaşı Divriği Ofiyolitli Karışığı, Maestrichtian-Tanesien yaşı kireçtaşlarından oluşan Tecer Formasyonu, Lutesien yaşı Bozbel Formasyonu, Oligosen yaşı Selimiye Formasyonu, Miyosen yaşı Karacaören ve Deliktaş Formasyonları, Pliyosen yaşı Örenlice Formasyonu ve Travertenler, Pliyo-Kuvaterner yaşı Soğukpınar Formasyonu bulunmaktadır. En genç birim ise Kuvaterner yaşı alüvyonlardır.

Çalışma alanının yıllık ortalama alansal yağışı 500 mm. olarak hesaplanmıştır. Tecer Deresi üzerinde havza çıkışında yer alan 15-259 nolu Tecer akım istasyonunun ortalama aylık akımları $0.135-4.032 \text{ m}^3/\text{s}$ arasındadır. Çalışma alanında bulunan kaynakların Temmuz 2000 dönemi debileri $0.5-398 \text{ l/s}$ arasında değişmektedir. Kaynakların çoğu karstik Tecer Kireçtaşından boşalmaktadır. Tecer Kireçtaşı için yağıştan szüürme yüzdesi % 55 olarak bulunmuştur.

İnceleme alanındaki kaynakların elektriksel iletkenlik (EC) değerleri $215-2160 \mu\text{s}/\text{cm}$ arasında, sertlikleri $10-119$ Fransız sertlik derecesi (FS) arasında değişmektedir. Kaynakların büyük çoğunluğu sulama suyu açısından; ABD Tuzluluk Laboratuvarı Diyagramında C_2-S_1 sınıfında yer almaktadır. Akarsuların EC değerleri $630-886 \mu\text{s}/\text{cm}$ arasında, sertlikleri $30-45$ FS arasında değişmektedir. Aygır ve Ulaş göllerinin EC değeri sırasıyla $884 \mu\text{s}/\text{cm}$ ve $12160 \mu\text{s}/\text{cm}$, sertlikleri 45 FS ve 500 FS'dir. Sulama suyu açısından; genel olarak akarsular ve Aygır Gölü ABD Tuzluluk Laboratuvarı Diyagramında C_3-S_1 sınıfında yer almaktadır.

Bölgelerde yer alan Tecer Kireçtaşlarında yüzey drenajı ve süreksızlıkların kontrolünde bir karlaşma gelişmiştir. Eklem sistemleri ve hava fotoğrafları incelemeleri; kırık izleri, eklem yoğunlaşma zonları ve faylar ile karşlaştmanın yoğunlaştığı zonlar arasında oldukça belirgin uyumluluğun bulunduğu ortaya koymuştur.

Anahtar kelimeler : Tecer Dağı, kaynak, hidrojeoloji, su kimyası.

ABSTRACT : This study aims to determine the hydrological, hydrogeological, water chemistry and quality characteristics of the Tecer Mountain and its vicinity, and karstic features of the Tecer Limestone. Within the scope of the study, hydrogeological map was prepared, field measurements (discharge, temperature, pH, electrical conductivity, total dissolved solids) were made, water samples were taken and water chemistry analyses were carried out. Fractures and joint systems were studied via field measurements and air photographs.

The basement rocks of the study area which is situated in southeast of Sivas, consist of Upper Jurassic-Early Cretaceous Çataldağ Limestone. Above this unit are Upper Cretaceous Divriği Ophiolitic Melange, Mestrichtian-Thanetion Tecer Limestone, Lutetian Bozbel Formation, Oligocene Selimiye Formation, Miocene Karacaören and Deliktaş Formations, Pliocene Örenlice Formation and Travertene, Plio-Quaternary Soğukpınar Formation. The youngest unit is alluvium of Quaternary age.

The mean annual areal precipitation in the study area was calculated as 500 mm. The mean monthly discharge of the Tecer River range between $0.135-4.032 \text{ m}^3/\text{sec}$. The flow rate of the springs

in the study area in July 2000 ranges between 0.5-398 l/sec. Most of the springs discharge from the karstic Tecer Limestone. The direct recharge rate of the groundwater in Tecer Limestone was calculated as 55 % of precipitation.

The electrical conductivity (EC) and hardness values of the spring waters in the study area range between 25-2160 $\mu\text{s}/\text{cm}$, and 10-119 FH (French Hardness), respectively. In regard of irrigation water quality, most of the spring waters plot in "C₂-S₁" class in U.S. Salinity Laboratory Diagram. EC and hardness values of the rivers range between 630-886 $\mu\text{s}/\text{cm}$, and 30-45 FH, respectively. EC and hardness values of the Aygır and Ulaş lakes are 884 $\mu\text{s}/\text{cm}$, 12160 $\mu\text{s}/\text{cm}$, and 45 FH, 500 FH, respectively. Most of the river waters, and Aygır Lake plot in "C₃-S₁" class in U.S. Salinity Laboratory Diagram.

Under the control of the surface drainage, joints and faults a deep karstification has developed in Tecer Limestone. Anyses of fracture and joint system, and air photograph studies have revealed that a rather strong correlation is present between the fracture traces, joint concentrated zones, faults and intensively karstified zones.

Key words : Tecer Mountain, spring, hydrogeology, water chemistry.

GİRİŞ

Çalışma alanı Sivas'ın güney doğusunda yer alan Ulaş'ın doğusunda olup 394 km²lik bir alanı kapsamaktadır (Şekil 1). İnceleme alanında genel olarak İç Anadolu'ya özgü olan sert karasal iklim görülmektedir. Yazlar sıcak ve kurak, kışlar soğuk, kar ve yağmur yağışlıdır. Bölgede yer alan Ulaş meteoroloji istasyonu verilerine göre en sıcak ay 19.03 °C ortalama ile Ağustos, en soğuk ay ise -2.54 °C ortalamasıyla Ocak'tır (Ekemen, 2001).

Tecer Dağı ve çevresinin hidrojeolojisini ve karstik özelliklerini konu alan bu araştırmının arazi çalışmaları Haziran-2000 tarihinde başlamış ve aylık ölçümleri Aralık-2000 tarihinde tamamlanmıştır. Çalışma alanının jeolojisi bugüne kadar birçok araştırmacı tarafından incelenmiştir. Bu çalışmada Gürsoy (1986), İnan (1987), İnan ve diğ.(1993) ve Gökten (1993)'in jeoloji çalışmaları esas alınarak alanın 1/25 000 ölçekli hidrojeoloji haritası oluşturulmuştur. Çalışma alanındaki 32 kaynak, 5 akarsu ve 2 göl olmak üzere 39 su noktasının arazideki yerleri ve yükseltileri tespit edilerek, debi (Q), elektriksel iletkenlik (EC), pH, toplam çözünmüş katı madde (TDS) ve sıcaklık (T) değerleri yerinde ölçümüştür. Alınan su örneklerinin analizi C.Ü. Mühendislik Fakültesi Jeoloji Mühendisliği Bölümü Su Kimyası Laboratuvarı, Mineraloji-Petrografi ve Jeokimya Laboratuvarı (MİPJAL) ve Hacettepe Üniversitesi Uluslararası Karst Su Kaynakları Uygulama ve Araştırma Merkezi (UKAM) Su Kimyası Laboratuvarında yapılmıştır. Su analiz sonuçları çeşitli diyagramlarda değerlendirilmiştir. Tecer Deresi üzerinde havza'nın çıkış noktasında yer alan 15-259 nolu Tecer akım gözlem istasyonunun (AGİ) geçmiş yıllara ait ortalama akımlarının değişim grafiği çizilmiş,

yüzey ve baz akımlar ayrılmıştır. Havzanın yıllık ortalama yağışı hesaplanmış ve yeraltısu beslenme ve boşalım hesapları yapılmıştır (Ekemen, 2001).

JEOLOJİ

Litostratigrafik Birimler

İnceleme alanında çoğunlukla sedimanter, ofiyolitik kayaçlar ve yer yerde volkanik kayaçlar bulunmaktadır (Şekil 2 ve 3). Bölgede yer alan Çataldağ Kireçtaşı, Divriği Ofiyolitli Karışığı ve Tecer Formasyonu allokton olup, diğer birimler otoktonondur.

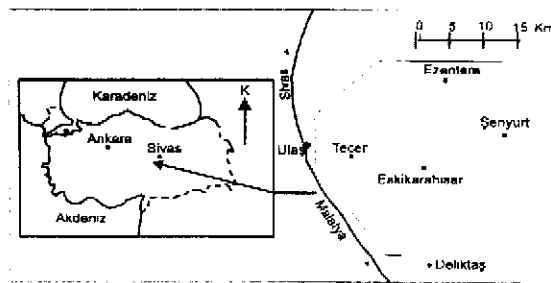
Allokton Birimler

Çataldağ Kireçtaşı (JKç)

Birim çalışma alanının güney doğusunda çok dar bir alanda yüzeylenmektedir. Birimin tabanı gözlenmemiştir. Tavanı ise; Üst Kretase yaşı Divriği Ofiyolitli Karışığı tarafından tektonik olarak üstlenmeyece olup, 2000 m. kalınlığa sahiptir (İnan ve diğ., 1993). Birim mavi-bej renkli, yer yer masif, yer yer kalın katmanlı, bol çatlaklı kireçtaşları ile temsil edilmektedir. Birim Üst Jura-Alt Kretase yaşındadır (İnan ve diğ., 1993).

Divriği Ofiyolitli Karışığı (Dof)

Birim, çoğunlukla inceleme alanının güneydoğusunda ve doğusunda oldukça geniş bir alanda yer almaktadır ve kalınlığı 2000 m.'dir. Bu birim genelde ofiyolit kökenli (peridodit, lerzolit, serpentinit, amfibolit, harzburgit, dunit vb.) kayaçlarla, sedimanter kökenli (kireçtaşı, radyolarit vb.) kayaçlarından oluşmuştur. Birimin üzerine Üst Maestrichtyen-Tanesiyan yaşı Tecer Formasyonu uyumsuz olarak gelmektedir. Birim bölgeye Üst Kretase'de yerleşmiştir (İnan ve diğ., 1993).



Şekil 1. İnceleme alanı yerbulduru haritası
Figure 1. Location map of the study area

Tecer Formasyonu (Kt)

Tecer Formasyonu çalışma alanının kuzey-kuzeybatısında uzanan Tecer Dağı silsilesini tamamen kaplamaktadır. Formasyonun egemen litolojisi gri renkli kireçtaşlarıdır. Yer yer kalın katmanlı (30-70 cm.) olup yüzeyleri karstik boşluklu ve çatlaklıdır. İnan ve diğ. (1993), tarafından saptanın fosillere göre biri me Üst Maestrihiyen-Tanesiyen yaşı aralığı verilmiştir.

Otokton Birimler

Bozbel Formasyonu (Tb)

Birim inceleme alanının batısında ve Ezentere köyü doğusunda yüzeylemektedir. Formasyon Üst Maestrihiyen-Tanesiyen yaşı Tecer Formasyonu tarafından tektonik olarak üstlenmektedir. Birim genel olarak ince-orta katmanlı, bej, sarımsı gri renkli killi kireçtaşı bantları içeren kumtaşı, silttaşlı-şeyl ardalanmasından oluşmaktadır. Üst kesimlerde ise yer yer jips merceklerine rastlanılmaktadır. Birimin kalınlığı 1200-1500 m. arasında değişmektedir. Birim Lütesiyen yaşıdadır (İnan ve diğ., 1993).

Selimiye Formasyonu (Ts)

Birim inceleme alanının kuzey-kuzey batı kesiminde yer almaktadır. Formasyon kırmızımsı kahve renkli çakıltaşlı-kumtaşı, yeşil gri renkli miltası, silttaşlı ve yer yer jips mercekleriyle temsil edilmektedir. Formasyonun toplam kalınlığı 500-700 m. arasındadır ve birim Oligosen yaşıdadır (İnan ve diğ., 1993).

Karacaören Formasyonu (Tk)

Gürsoy (1986) formasyonu 3 üyeye ayırmıştır. Formasyonun tabanında yer alan kumtaşı-kiltası-çakıltaşlı ardalanmasından oluşan bölümünü Kızılkaya Tepe Üyesi, killi kireçtaşından oluşan bölümü Eskiköy Üyesi, bazaltlarla temsil edilen bölümü ise Alibaba Tepe Üyesi olarak adlandırılmıştır. Ayrıca formasyon içerisinde yer yer beyaz-gri renkli jips mercek-

ri yer almaktadır. Birim 750 m. kalınlığında olup, Miyosen yaşıdadır.

Deliktaş Formasyonu (Td)

Birim inceleme alanının güneyinde bulunmaktadır. Formasyon inceleme alanının güney kesimlerinde Karacaören Formasyonu ile yanal ve dikey geçişli, güney-güneydoğu kesimlerinde ise ofiyolitli melanj nayı üzerinde açılı uyumsuz olarak yer almaktadır (İnan ve diğ., 1993). Formasyonun kumtaşlı-çakıltaşlı-şeyl ardalanmasından oluşan düzeyleri Örencik üyesi olarak, killi kireçtaşından oluşan Üst düzeyleri ise Kulmaç üyesi olarak adlandırılmıştır (İnan ve diğ., 1993). Birimin kalınlığı 750 m.'dir.

Örenlice Formasyonu (Tö)

Birim Örenlice civarında yüzeylemektedir ve alüvyonlar tarafından uyuşsuz olarak örtülmektedir. Formasyon ilk kez Gürsoy (1986) tarafından Örenlice Formasyonu olarak adlandırılmıştır. Birim değişik boyutlarda silis, radyolarit, kireçtaşı, bazalt, killi kireçtaşlı ve ofiyolitik kayaç parçalarından türemiş çakıltaşlarından oluşmaktadır ve kalınlığı 50-75 m.'dir (Gürsoy, 1986; İnan ve diğ., 1993). Formasyon Pliyosen yaşıdadır (Gürsoy, 1986).

Traverten (Tt)

Birime çalışma alanının kuzeybatı kesiminde yer alan Demircilik Köyü civarında rastlanılmaktadır. Birim oldukça kırık ve çatlaklı olup bundan dolayı tam bir tabaka olma gözlenmemiştir, fakat topografyaya paralel olarak görüldüğü kesimler göze çarpmaktadır. Birim, İnan (1987) tarafından Pliyosen olarak yaşıandırılmıştır.

Soğukpınar Formasyonu (Tqs)

Bu birim inceleme alanının güney kesiminde bulunmakta ve karasal çakıltaşlarından oluşmaktadır. Formasyonun kalınlığı 100 m.'yi geçmektedir. Formasyon, stratigrafik konumuna göre Pliyo-Kuvatner yaşıdadır. (Gökten, 1993).

Alüvyon (Qal)

İnceleme alanında Tecer deresi ve yan kollarının yataklarında serbest çakıl, kum, silt ve killerde oluşan alüvyonlar gözlenmektedir.

Yapısal Jeoloji

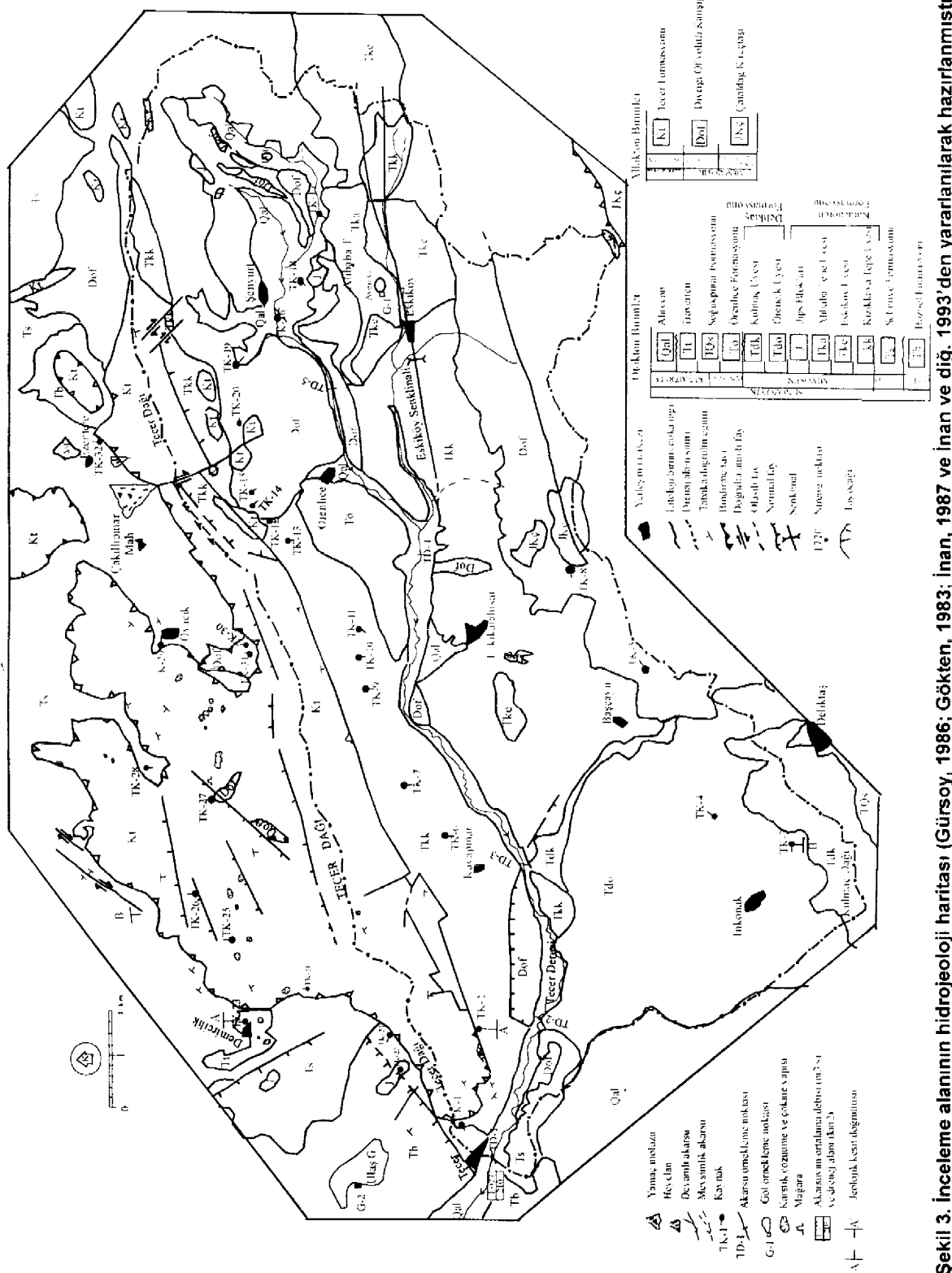
İnceleme alanında yer alan en büyük kırınım Eskiköy civarında bulunan ve Miyosen yaşı Karacaören Formasyonu içerisinde gelişmiş olan

Şekil 2. Çalışma alanının genelleştirilmiş dikkme kesiti (Ölçeksiz) (İnan, 1987; İnan ve diğ., 1993; Gökten, 1993' den yararlanılarak hazırlanmıştır).

Figure 2. The generalized stratigraphic section of the study area (Not to scale) (Modified after İnan, 1987; İnan et al., 1993; Gökten, 1993).

Eskiköy senkinalıdır. İnceleme alanında bölgenin sıkışma tektoniği ile uyumlu olarak meydana gelmiş

birçok bindirme, doğrultu atımlı sağ ve sol yanal ve eğim atımlı normal faylar bulunmaktadır. Alanın gü-



Şekil 3. İnceleme alanının hidrogeoloji haritası (Gürsoy, 1986; Göktén, 1983; İnan, 1987 ve İnan ve diğ. 1993'den yararlanılarak hazırlanmıştır).
Figure 3. Hydrogeological map of the investigated area (Modified from Gürsoy, 1986; Göktén, 1983; İnan, 1987 and İnan et al. 1993).

neydoğu sınırında, Çataldağ Kireçtaşları üzerine, Divriği Ofiyolitli Karışığı kuzeyden güneye doğru bindirmiştir (Yılanlıdağ bindirmesi). Tecer Dağları kuzeyinde, Tecer Kireçtaşı, Bozbel ve Selimiye Formasyonları üzerine güneyden kuzeye doğru bindirmiştir (Tecer bindirmesi) (Gürsoy, 1986).

İnceleme alanında, arazi ve hava fotoğrafları çalışmaları esnasında birçok KKB-GGD doğrultulu sağ yanal atımlı ve KD-GB doğrultulu sol yanal faylar gözlenmiştir. Doğrultu atımlı sağ yanal faylardan en belirgini Tecer Dağını Gezbel Boğazında KB-GD yönünde kesen faydır (Şekil 3).

HİDROLOJİ

Çalışma alanı olan Tecer Dağı ve çevresinin drenaj alanı içerisinde yağış gözlem istasyonu bulunmamaktadır. Ancak inceleme alanı dışında Ulaş, Kangal, Deliktaş, Celalli ve Sincan gözlem istasyonları bulunmaktadır. Bu istasyonlarının 1976-1995 yılları arasındaki (gözlenmiş ve hesaplanmış) değerlerine göre inceleme alanının alansal ortalama yıllık yağışı eşyaşı eğrisi yöntemiyle 500 mm. olarak bulunmuştur.

İnceleme alanının büyük bölümünün suları Tecer Deresi tarafından drenedilir. Derenin havza çıkış noktasında (Tecer Köyü) DSİ XIX. Bölge Müdürlüğü'ne ait 15-259 nolu AGİ bulunmaktadır. Bu istasyonda (TD-1) ölçülmüş ortalama akım $1.08 \text{ m}^3/\text{s}$ 'dir. Tecer Deresinin bu istasyon kesisindeki kadar olan drenaj alanı 210 km^2 dir. Bu istasyona ait 1994-2000 yılları arasındaki aylık ortalama akım değerleri kullanılarak akım grafikleri çizilmiş ve bu grafikler üzerinde yaklaşık yöntemler yüzey akımı ve baz akım (yeraltısı su boşalımı) ayrılmıştır. Buna göre 7 yıllık ortalama baz akım $0.66 \text{ m}^3/\text{s}$ ve ortalama yüzey akım $0.42 \text{ m}^3/\text{s}$ olarak hesaplanmıştır.

Arazi çalışması sırasında Tecer Deresi üzerinde seçilen 5 ölçüm noktasında ve Aygır ve Ulaş gölü sularında ölçüm ve su örnekleme yapılmıştır (Çizelge 1). Tecer Deresi üzerindeki ölçümler batıdan doğuya (TD-1'den TD-5'e) doğru akarsu debisi ve diğer özelliklerindeki değişimleri görmek ve yan kolların katılımının etkilerini ortaya koymak amacıyla yapılmıştır.

HİDROJEOLİ

Birimlerin Hidrojeolojik Özellikleri

Çalışma alanında yer alan birimler farklı hidrojeolojik özelliklere sahiptir. İnceleme alanında yer alan en büyük kaynaklar Tecer Kireçtaşından boşalmaktadır. Tecer Kireçtaşı oldukça kırıklı, çatlaklı ve yoğun karstleşme gösterdikinden dolayı en fazla su taşıma özelliğine sahiptir ve inceleme alanının ana akiferini

(karstik akifer) oluşturmaktadır. Çataldağ Kireçtaşı da kırıklı ve çatlaklı olduğundan kaynak boşalımı gözlenmektedir. Divriği Ofiyolitli Karışığını oluşturan kayaçlar tektonik olarak bir araya geldiklerinden dolayı karışık içerisinde yer alan kireçtaşları bol kırıklı ve çatlaklı (geçirimli) yapı kazanmıştır ve kireçtaşları ile serpentinlerin dokanaklarında kaynaklar boşalmaktadır. Bozbel, Selimiye, Karacaören, Deliktaş ve Örenlice Formasyonlarının kilitası, siltası, şeş, marndan oluşan kesimleri geçirimsiz özelliklektedir. Bu formastonların kumtaşı ve çakıltaşlarından oluşan kesimleri bir miktar yeraltı suyu bulundurduğundan dolayı bu kesimlerinden kaynaklar boşalmaktadır. Travertenler boşluklu ve kırıklı bir yapı sunduğundan dolayı geçirimsiz ve su taşıma özelliğine sahiptir. İnceleme alanında yer alan alüvyonlar genellikle kum ve çakıldan oluştuğundan dolayı yeraltısı su taşıma konusunda doğu kesimde oldukça büyük debili kaynaklar boşalmaktadır.

Tecer Kireçtaşı içerisindeki karstik çöküntü alanları çoğulukla batı ve kuzeybatı kesimde yer almaktadır. Çalışma alanında gözlenmiş olan karst yüzey şekillerinin en gelişmiş olanları genellikle çözünme olukları (karenler), çözünme ve çökme yapıları (dolinler, düdenler) ve daha seyrek olarak gözlenen mağaralarlardır.

Bölgede karstlaşmanın faylar boyunca ve eklem sistemlerinin egemen doğrultuları olan KB-GD ve KD-GB doğrularına parellel olarak geliştiği saptanmıştır. Faylar, bazen geçirimsiz ve geçirimsiz birimleri karşı karşıya getirdikinden geçirimsiz bariyer ile karstik birimlerin sınırlarında büyük karst kaynakları oluşturmaktadır. Çalışma alanında yer alan ve debileri diğer kaynaklara nazaran oldukça büyük olan, Beşgözeler Kaynağı (TK-2), Karapınar Kaynağı (TK-26) ve Göllü Kaynağı (TK-17) fay zonları üzerinde gelişmiş olan karstik kaynaklardır. Bu kaynakların bulunduğu alanlarda karstlaşmanın Tecer Kireçtaşının tabanına kadar ilerlemiş olduğu gözlenmiştir.

Kaynaklar

İnceleme alanında içerisinde çok sayıda ve oldukça farklı debilerde birçok kaynak yer almaktadır. Bu kaynaklardan birçoğu Tecer Kireçtaşından çıkan karstik kaynak niteliğindedir. Diğer kaynaklar ise çakıltaş-kumtaşı-kilitaşı ardalanmasından, ofiyolitlerin çatlaklarından, ofiyolitlerin Tecer Kireçtaşı ile yaptığı dokanağından, alüvyondan, travertenlerden ve jipslerden çıkmaktadır. Bu kaynakların Temmuz 2000 dönemindeki debileri $0.5-398 \text{ l/s}$ arasında değişmektedir. Kaynaklara ait bilgiler Çizelge

Çizelge 1. Akarsularda ve göllerde yapılan arazi ölçümleri.
Table 1. Field measurements carried out in rivers and lakes.

Akarsu/Göl No	Akarsu/Göl Adı	Debi (l/s)	T (°C)	EC (μs/cm)	TÇK(mg/l)	Ölçüm Tarihi
TD-1	Tecer Deresi 1	325	23,3	815	520	03.07.2000
TD-1	Tecer Deresi 1	174	14,1	810	540	28.09.2000
TD-1	Tecer Deresi 1	538	9,8	890	600	13.11.2000
TD-2	Tecer Deresi 2	604	22,0	630	410	03.07.2000
TD-3	Tecer Deresi 3	299	24,7	875	580	05.07.2000
TD-4	Tecer Deresi 4	250	18,2	886	620	07.07.2000
TD-5	Tecer Deresi 5	302	16,2	865	550	10.07.2000
G-1	Aygır Gölü		24,3	884	590	10.07.2000
G-2	Ulaş Gölü		24,2	12160	8260	11.07.2000

2'de verilmiştir. Şekil 4 bazı kaynakların konumunu göstermektedir.

Su kaynaklarının debileri iklimsel ve meteorolojik faktörlerdeki değişimlere ve insan faaliyetlerine bağlı olarak aylık ve yıllık değişimler göstermektedir. Kaynakların boşalım noktalarında veya yakınlarında taş, maden işletme, bina yapımı vb. nedenlerle patlatmalar yapılması yeni yeraltısu akım yollarının oluşmasına ve kaynak debilerinin azalmasına neden olabilmektedir. İnceleme alanının en büyük debili kaynağı olan Beşgözeler Kaynağıının debisi Temmuz-Kasım 2000 dönemindeki ölçümlerde 265-425 l/s arasındadır. DSİ XIX. Bölge Müdürlüğü verilerine göre, aylık ortalama akımı 1987 yılında 565 l/s, 1995 yılında 272 l/s olarak bulunmuştur. 2001 yılı Eylül ayında yapılan ölçümdede kaynak debisi 150 l/s bulunmuştur (Kaçaroğlu ve Değirmenci, 2001).

Çalışma alanında yer alan en büyük debili kaynak olan Beşgözeler Kaynağı suyunun bir kısmı Sivas Demir Çelik İşletmesine, Ulaş'a ve yakın civarlardaki köylere içme ve kullanma suyu olarak verilmektedir. Verilen su miktarı çeşitli dönemlerde 70 l/s (Kaçaroğlu ve Değirmenci, 2001) ile 120 l/s (Ekemen, 2001) arasında değişim göstermiştir. Artan su Tecer Deresine karışmaktadır, bu suyun bir kısmı alabalık yetiştirmede kullanılmaktadır. Tecer Deresinin suyu kısmen Ulaş Devlet Üretme Çiftliğinde sulama amaçlı olarak kullanılmaktadır. Diğer büyük debili kaynaklardan yakın civardaki köylerde içme suyu sağlama ve sulamada yararlanılmaktadır.

Çalışma alanında yer alan büyük debili kaynaklardan Beşgözeler Kaynağı (TK-2), Bentbaşı Kaynağı (TK-25), Karapınar Kaynağı (TK-26) ve Göllü Kaynağı (TK-27)'nın çeşitli

dönemlerde ölçülmüş olan debileri Çizelge 3'de verilmiştir.

Yeraltısuunun Beslenme ve Boşalımı

Çalışma alanının yeraltısuu beslenme ve boşalımı hesapları Tecer Deresi havzası ve karstik özellik gösteren Tecer Kireçtaşları için ayrı ayrı yapılmıştır. Ayrıca en büyük debili kaynak olan Beşgözeler Kaynağı için de beslenim ve boşalım hesabı yapılmıştır. Tecer Deresi havzasının yağıştan beslenimi 105×10^6 m³/yıl, yüzeyel akımı 13.2×10^6 m³/yıl, yeraltısuu boşalımı 21×10^6 m³/yıl, buharlaşmatta ise 71.1×10^6 m³/yıl olarak bulunmuştur. Buna göre havzanın süzülme yüzdesi (yeraltısuu beslenimi) % 20 olarak hesaplanmıştır.

Karstik akiferlerdeki yeraltısuunun beslenme koşulları diğer tür akiferlere göre daha elverişlidir (Milanovic, 1981). Yağışın karst yeraltısuunun besleyen kısmı (süzülme yüzdesi) için çeşitli alanlarda yapılan çalışmalarla kaynak boşalmalarından yararlanılarak farklı yüzdeler hesaplanmıştır. Milanovic (1981) Yugoslavya'nın çeşitli bölgelerinde yapılan ayrıntılı çalışmalarında bu miktarın % 70-90 arasında bulunduğu belirtmiştir. Tecer Kireçtaşından boşalan karstik kaynakların toplam debisi Temmuz 2000 dönemi ölçümlerine göre 565 l/s dir. Tecer Kireçtaşının alanı 65 km²dir. Buna göre, Tecer Kireçtaşından yıllık yeraltısuu boşalımı yaklaşık olarak 17.82×10^6 m³/yıl ve süzülme yüzdesi yaklaşık % 55 olarak bulunmuştur.

Yeraltısuu beslenim ve boşalım hesapları en büyük debili karstik kaynak olan Beşgözeler Kaynağı için de ayrıca yapılmıştır. Bu kaynağın yüzey drenaj alanı 3 km² ve bu alana yağışla düşen su (beslenim): 1.50×10^6 m³/yıl'dır. Beşgözeler Kaynağıın debisi 2000

Çizelge 2. Çalışma alanındaki kaynaklara ait bilgiler (arazi ölçümleri).
Table 2. Data of the springs in the study area (field measurements).

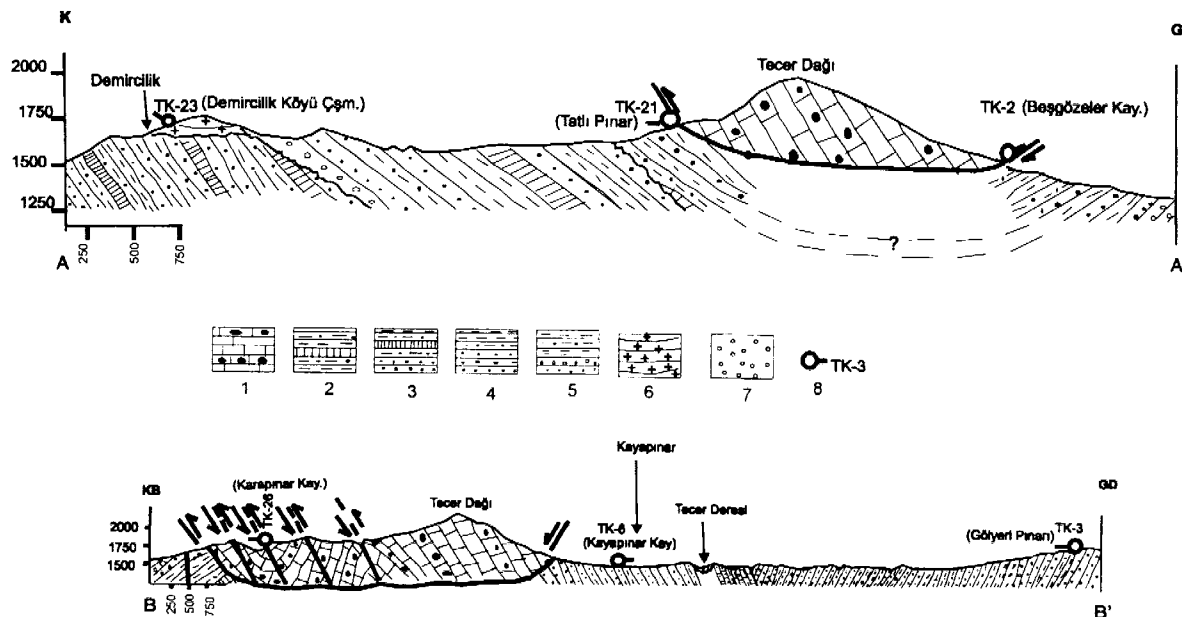
Kaynak No	Kaynak Adı	Çıktığı Oluşuk	Yüksekliği (m)	Ölçüm Tarihi	Debi (l/s)	T (°C)	TCK (mg/l)
TK-1	Çağlayan Kaynağı	Kçt.-Kmt.kont.(Tecer Kçt.-Kızılıkaya Tepe üy.)	1510	03.07.2000	42	12	490
TK-2	Beşgözeler Kaynağı	Kçt.-kt. (Tecer Kçt.-Kızılıkaya Tepe üy.)	1530	03.07.2000	398	10	195
TK-3	Gölyeri Pınarı	Çakıltaşı-kumtaşı (Örencik üyesi)	1710	05.07.2000	1	9	340
TK-4	Deliktaş Tün.Dır.Suları	Çakıltaşı - Kumtaşı (Örencik üyesi)	1570	05.07.2000	4	12	260
TK-5	Başçayır Köyü Kaynağı	Ofiyolit (Divriği Ofiyolitli Karışığı)	1630	05.07.2000	1	15	180
TK-6	Kayapınar Kaynağı	Kumtaşı (Kızılıkaya Tepe üyesi)	1490	05.07.2000	15	11	280
TK-7	Söğütlü Pınarı	Kumtaşı (Kızılıkaya Tepe üyesi)	1540	06.07.2000	0,5	11	370
TK-8	Körolük Kaynağı	Ofy-Kçt kont.(Divriği Ofy.Karş.-Çataldağ Kçt)	1700	06.07.2000	2,5	9,9	210
TK-9	İğdeli Pınarı	Kumtaşı (Kızılıkaya Tepe üyesi)	1550	06.07.2000	1	14	380
TK-10	Deli Pınarı	Kumtaşı (Kızılıkaya Tepe üyesi)	1530	06.07.2000	2	11	210
TK-11	Kayalı Pınar	Kumtaşı (Kızılıkaya Tepe üyesi)	1520	06.07.2000	1	11	260
TK-12	Kurugöl Kaynağı	Kumtaşı (Kızılıkaya Tepe üyesi)	1710	07.07.2000	1	10	170
TK-13	Kelle Pınarı	Kumtaşı (Kızılıkaya Tepe üyesi)	1660	07.07.2000	4	8,9	220
TK-14	Kasapdereesi Kaynağı	Kumtaşı (Kızılıkaya Tepe üyesi)	1720	07.07.2000	3	12	170
TK-15	Beyleroturağı Kaynağı	Ofiyolit (Divriği Ofiyolitli Karışığı)	1710	07.07.2000	5	8,9	150
TK-16	Kızılıtaş Kaynağı	Alüvyon	1600	07.07.2000	50	9,5	720
TK-17	Karaboğazdere Kaynağı	Alüvyon	1650	07.07.2000	50	11	440
TK-18	Purönü Kaynağı	Alüvyon	1620	07.07.2000	30	9	480
TK-19	Bostantepe Kaynağı	Ofiyolit (Divriği Ofiyolitli Karışığı)	1640	10.07.2000	1,9	9,9	230
TK-20	Ağralağa Kaynağı	Ofiyolit (Divriği Ofiyolitli Karışığı)	1660	10.07.2000	7,2	9,6	280
TK-21	Tatlı Pınar	Kçt-Kmt kont.(Tecer Kçt.-Bozbel Fm.)	1740	11.07.2000	0,5	10	170
TK-22	Açı Pınar	Jips (Bozbel Fm.)	1600	11.07.2000	4	8,4	1420
TK-23	Demircilik Köyü Çsm.	Traverten	1700	11.07.2000	2	8,7	150
TK-24	Deliabu Kaynağı	Kireçtaş (Tecer Kçt.)	1780	11.07.2000	0,5	9,1	220
TK-25	Bentbaşı Kaynağı	Kireçtaş (Tecer Kçt.)	1740	12.07.2000	56	8,8	180
TK-26	Karapınar Kaynağı	Kireçtaş (Tecer Kçt.)	1770	12.07.2000	37	9	190
TK-27	Göllü Kaynağı	Kireçtaş- ofy. (Tecer Kçt.-Divriği of.karş)	1750	12.07.2000	21	9	200
TK-28	Hamdibey Ağılı Kaynağı	Jips(Selimiye Fm.)	1640	13.07.2000	4	9,1	1400
TK-29	Yükarı Pınar	Kçt.-Kmt.kont. (Tecer Kçt.-Selimiye Fm.)	1730	13.07.2000	2	9	180
TK-30	Kızılıbayır Kaynağı	Kçt.-Ofy. kont. (Tecer Kçt.-Divriği Ofy.Karş.)	1740	13.07.2000	1	7,7	280
TK-31	Soğuk Pınar	Kçt.-Ofy.kont. (Tecer Kçt.-Divriği Ofy.Karş.)	1790	13.07.2000	5	5,7	140
TK-32	Ezentere Kaynağı	Kçt.-çakt.,kt. ard.kont.(Tecer Kçt-Selim For.)	1690	13.07.2000	1	8,5	250

yılında yapılan ölçümlere göre 265-425 l/s arasında değişmektedir. Ortalama debi 350 l/s kabul edilirse, kaynağın boşalımı $11.04 \times 10^6 \text{ m}^3/\text{yl}$ 'dır. Tecer Kireçtaş için bulunan süzülme yüzdesine göre (% 55) sahip olduğu debiyle boşalım yapabilmesi için gerekli beslenme alanı 40 km^2 olarak hesaplanmıştır. Göründüğü gibi kaynaktan boşalan yeraltısunun beslenme alanı, yüzey drenaj alanından çok büyuktur. Bu, Beşgözeler Kaynağına su taşıyan yeraltı karst akım yollarının (kanallarının) Tecer Kireçtaş içinde genis bir alana yayıldığını göstermektedir. Tecer Kireçtaşının güney eteklerinde bulunan KD-GB doğrultulu olan normal faylar ve Tecer Kireçtaş içinde yer alan KB-GD ve KD-GB doğrultulu sağ ve sol yanal faylar boyunca karst akım yollarının geliştiği ve kaynağı

taşınan suyu toplatıcı kanallar olarak görev yaptığı düşünülmektedir (Ekemen, 2001).

SU KİMYASI Kaynak Suları

İnceleme alanında bulunan kaynak sularının sertlikleri 10-119 Fransız Sertlik Derecesi (FS) arasındadır ve Erguvanlı ve Yüzer (1973) tarafından verilen sertlik sınıflamasına göre çoğunlukla "Tatlı su" su sınıfında yer almaktadır (Çizelge 4). Kaynak sularının Üçgen diyagramı (Piper, 1944) incelendiğinde çoğunlukla kalsiyum bikarbonatlı tipte sular olduğu görülmektedir (Şekil 5). Çağlayan Kaynağı (TK-1) karışık tip, Kızılıtaş Kaynağı (TK-16), Karaboğazdere Kaynağı (TK-17), Purönü Kaynağı (TK-18), Açı Pınar (TK-22), Hamdibey Ağı-



Şekil 4. Bazı kaynak çıkış noktalarının jeolojik kesitleri. 1: Tecer Formasyonu 2: Bozbel Formasyonu 3: Selimiye Formasyonu 4: Karacaören Formasyonu (Kızılıkaya Tepe üyesi) 5: Deliktaş Formasyonu (Örencik üyesi) 6: Taverten 7: Alüyon 8: Kaynak A-A', B-B': Kesit doğrultuları.
Figure 4. Geological sections of the some spring discharge points 1: Tecer Formation 2: Bozbel Formation 3: Selimiye Formation 4: Karacaören Formation (Kızılıkaya Tepe member) 5: Deliktaş Formation (Örencik member) 6: Travertine 7: Alluvion 8: Spring A-A', B-B': Direction of sections.

Çizelge 3. Bazı büyük kaynakların debileri.
Table 3. Discharges of some large springs.

Kaynak Adı	Ölçüm Tarihi	Debi (m ³ /s)
Beşgözeler Kaynağı	03.07.2000	0,398
"	31.07.2000	0,399
"	28.09.2000	0,425
"	13.11.2000	0,265
Bentbaşı Kaynağı	12.07.2000	0,055
"	03.08.2000	0,0187
"	28.09.2000	0,009
"	13.11.2000	0,0067
Karapınar Kaynağı	12.07.2000	0,0368
"	03.08.2000	0,022
"	28.09.2000	0,0234
"	13.11.2000	0,0156
Göllü Kaynağı	12.07.2000	0,0205
"	03.08.2000	0,027
"	28.09.2000	0,0111
"	13.11.2000	0,0043

lı kaynağı (TK-28) ise suları kalsiyum sülfatlı tipi sularıdır.

Sulama suyu açısından ABD Tuzluluk Laboratuvarı Diyagramına göre kaynak suları

genellikle "düşük sodyumlu-orta tuzlu" sularıdır ve C₂-S₁ sınıfında yer almaktadır (Şekil 6). C₂-S₁ sınıfında yer alan bu sular tuzluluk kontroline gerek kalmaksızın, tuza orta derecede dayanıklı bütün bitkilerde kullanılabilir ve sodyum tehlikesi yoktur (Erözel, 1986).

Kaynak sularının kimyasal analizleri içme suyu açısından Türk İçme Suyu Standartlarına (TSE, 1986) göre değerlendirilmiştir. Buna göre kaynak sularının Ca değerleri 10–428 mg/l arasındadır. Açı Pınar ve Hamdibey Ağılı Kaynaklarının Ca değerleri sırasıyla 428, 380 mg/l gibi yüksek bir değerlerle üst sınır olan 200 mg/l değerini aşmaktadır. Diğer tüm kaynaklar kabul edilebilir sınırlar içerisinde yer almaktadır. Magnezyum 1.2–38.7 mg/l arasında değerlerle kabul edilebilir sınırlar içerisinde yer almaktadır. Sülfat 2.0–1080 mg/l arasında değerlere sahiptir. Açı Pınar ve Hamdibey Ağılı Kaynaklarının sülfat değerleri sırasıyla 954, 1080 mg/l olup üst sınır olan 400 mg/l değerini oldukça fazla miktarda aşmaktadır. Diğer kaynak suları ise kabul edilebilir sınırlar içerisinde bulunmaktadır. İnceleme alanı içerisinde bulunan bu kaynakların klorür değerleri 0.7–75.3 mg/l arasındadır ve içme suyu açısından kabul edilebilir sınırlar içerisinde yer almaktadır.

Çizelge 4. Bazı kaynak sularının, akarsu ve göllerin kimyasal analiz sonuçları
Table 4. Chemical analysis results of the some spring waters, rivers and lakes

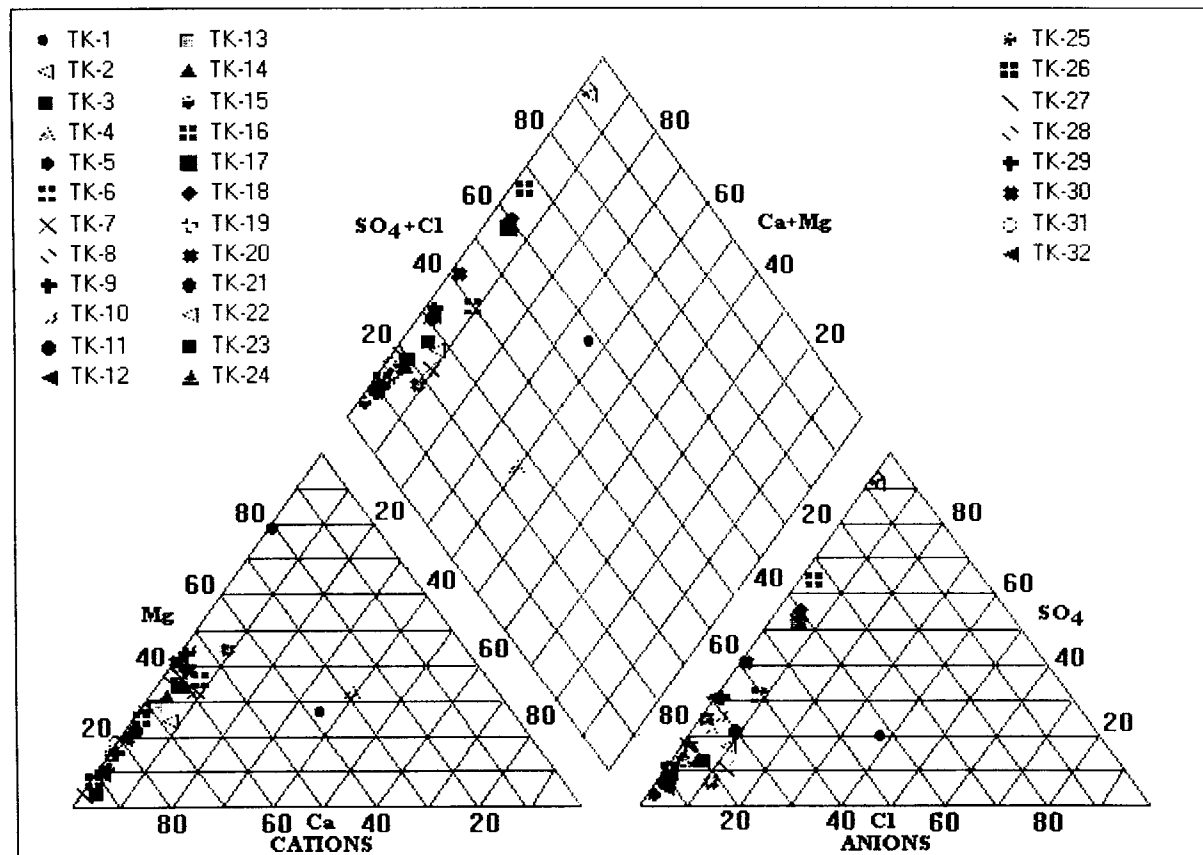
Su No	Suyun Adı	Alındığı Tarih	Sıcaklık (°C)	PH	EC (µs/cm)	Kationlar (Meq/L)	Anyonlar (Meq/L)	Sertlik Sınıfları											
								Na ⁺	K ⁺	Mg ⁺⁺	CO ₃ ²⁻	HCO ₃ ⁻	Cl ⁻	SO ₄ ²⁻	Sodyum (%)	Sulama Suyu Sınıfları	SAR		
TD-1	Tecer Derelesi 1	03.07.2000	23,3	8,2	815	0,88	0,02	4,00	4,00	8,90	0,20	2,80	0,88	3,16	7,40	9,89	0,44 C ₃ S ₁	40	Çok sert su
TD-1	Tecer Derelesi-1	28.09.2000	14,1	8,36	810	0,95	0,002	3,20	3,90	8,05	0,00	2,10	0,80	4,45	7,35	11,8	0,50 C ₃ S ₁	35,5	Çok sert su
TD-1	Tecer Derelesi-1	13.11.2000	9,8	8,45	890	0,90	0,002	4,10	4,00	9,00	0,00	2,85	0,84	4,66	8,35	10,00	0,45 C ₃ S ₁	40,5	Çok sert su
TD-2	Tecer Derelesi 2	03.07.2000	22,0	8,15	630	0,67	0,01	3,40	2,60	6,68	0,30	2,90	0,56	1,97	5,73	10,03	0,39 C ₂ S ₁	30	Sert su
TD-3	Tecer Derelesi 3	05.07.2000	24,7	8,02	875	0,68	0,02	5,00	4,00	9,70	0,00	4,00	0,72	3,94	8,80	7,01	0,32 C ₃ S ₁	45	Çok sert su
TD-4	Tecer Derelesi 4	07.07.2000	18,7	8,10	886	0,56	0,02	4,50	4,00	9,00	0,20	3,50	0,72	3,50	7,92	6,22	0,27 C ₃ S ₁	42,5	Çok sert su
TD-5	Tecer Derelesi 5	10.07.2000	16,2	8,19	865	0,20	0,02	6,50	2,50	9,22	0,00	3,60	0,20	5,20	9,00	2,17	0,09 C ₃ S ₁	45	Çok sert su
G-1	Aygır Gölü	10.07.2000	24,3	9,60	884	0,64	0,12	6,00	3,00	9,70	0,40	1,20	0,20	6,83	8,70	6,60	0,30 C ₃ S ₁	45	Çok sert su
G-2	Ulaş Gölü	11.07.2000	24,2	9,58	12160	58,50	2,11	20,00	80,00	160,61	1,50	0,00	8,80	150	160,3	36,42	8,27	500	Aşırı sert su
TK-1	Çağlayan Kaynağı	03.07.2000	12,3	8,00	785	2,13	0,01	2,20	1,50	5,84	0,00	2,35	2,12	1,04	5,51	36,47	1,57 C ₃ S ₁	18,5	Tatlı su
TK-2	Besgözeler Kaynağı	03.07.2000	10,1	7,85	300	0,23	0,01	2,00	0,70	2,94	0,00	2,00	0,26	0,45	2,71	7,84	0,20 C ₂ S ₁	13,5	Tatlı su
TK-2	Besgözeler Kaynağı	31.07.2000	10,1	7,4	304	0,2	0,005	1,50	0,90	2,61	0,00	1,90	0,26	0,39	2,55	7,66	0,18 C ₂ S ₁	12	Tatlı su
TK-2	Besgözeler Kaynağı	28.09.2000	10,0	8,02	305	0,27	0,005	1,10	1,20	2,58	0,00	1,75	0,27	0,38	2,40	10,5	0,25 C ₂ S ₁	11,5	Tatlı su
TK-2	Besgözeler Kaynağı	13.11.2000	9,9	7,87	317	0,24	0,005	1,60	0,90	2,75	0,00	2,00	0,29	0,06	2,35	8,74	0,21 C ₂ S ₁	12,5	Tatlı su
TK-3	Gölyeri Pınarı	05.07.2000	9,0	7,36	490	0,24	0,01	3,00	2,00	5,25	0,00	3,45	0,10	1,10	4,65	4,57	0,15 C ₂ S ₁	25	Sert su
TK-4	Delitaş Tn. Drj. Su.	05.07.2000	11,7	8,34	357	1,33	0,06	1,00	1,10	3,49	0,00	2,40	0,14	0,66	3,20	38,11	1,30 C ₂ S ₁	10,5	Membe suyu

Çizeğe 4. (devam ediyor).
Table 4. (continued).

Su No	Suyun Adı	Alındığı Tarih	Sıcaklık ($^{\circ}\text{C}$)	pH	EC (us/cm)	Katyonlar (Meq/L)	Anyonlar (Meq/L)	Sertlik (FS)	Sertlik Sınıfı
TK-5	Başçayır Köyü Kay.	05.07.2000	14,7	8,30	250	0,02 0,00 0,50 1,90	2,42 0,20 1,80 0,04 0,14 2,18 0,83 0,02	C_1S_1	Tatlı su
TK-6	Kayıpınar Kaynağı	05.07.2000	11,1	7,52	420	0,33 0,01 2,40 1,50	4,24 0,00 2,25 0,32 1,14 3,71 7,78 0,24	C_2S_1	19,5 Tatlı su
TK-7	Söğüttü Pınar	06.07.2000	11,0	7,16	535	0,44 0,01 2,90 1,60	4,95 0,00 3,50 0,56 0,45 4,51 8,89 0,29	C_2S_1	22,5 Tatlı su
TK-8	Köroluğuk Kaynağı	06.07.2000	9,9	8,17	300	0,04 0,01 2,00 1,20	3,25 0,00 2,65 0,08 0,20 2,93 1,23 0,03	C_2S_1	Tatlı su
TK-9	İğdeli Pınar	06.07.2000	14,0	7,62	530	0,08 0,01 3,00 2,30	5,39 0,00 3,20 0,08 1,40 4,68 1,49 0,05	C_2S_1	Sert su
TK-10	Deli Pınar	06.07.2000	11,4	7,70	300	0,03 0,01 1,70 1,40	3,14 0,00 2,05 0,10 0,73 2,88 0,96 0,02	C_2S_1	Tatlı su
TK-11	Kayalı Pınar	06.07.2000	11,3	7,84	375	0,10 0,00 2,90 0,80	3,80 0,00 2,65 0,34 0,79 3,78 2,63 0,07	C_2S_1	19 Tatlı su
TK-12	Kurugöl Kaynağı	07.07.2000	10,0	7,85	250	0,03 0,00 2,10 0,50	2,63 0,00 2,30 0,08 0,12 2,50 1,14 0,03	C_1S_1	Tatlı su
TK-13	Kelle Pınarı	07.07.2000	8,9	7,92	338	0,09 0,01 2,20 0,90	3,20 0,00 2,55 0,08 0,50 3,13 2,82 0,07	C_2S_1	Tatlı su
TK-14	Kasapderei Kay.	07.07.2000	11,9	7,90	255	0,10 0,00 1,70 0,80	2,60 0,40 1,75 0,14 0,31 2,60 3,84 0,09	C_2S_1	13 Tatlı su
TK-15	Beyleroturağı Pınarı	07.07.2000	8,9	7,64	230	0,03 0,00 1,60 0,60	2,23 0,00 1,80 0,06 0,13 1,99 1,34 0,03	C_1S_1	Tatlı su
TK-16	Kızılıtaş Kaynağı	07.07.2000	9,5	7,30	1075	0,20 0,08 9,00 3,00	12,20 0,00 3,60 0,30 6,83 10,7 1,64 0,08	C_3S_1	Aşırı serî su
TK-17	Karabogazdere Kay.	07.07.2000	10,5	7,72	670	0,35 0,01 4,50 2,50	7,30 0,20 2,90 0,40 3,79 7,20 4,79 0,19	C_2S_1	35 Çok serî su
TK-18	Pürönü Kaynağı	07.07.2000	9,0	7,72	710	0,32 0,02 4,80 3,20	8,34 0,00 2,80 0,32 3,80 6,92 3,84 0,16	C_2S_1	40 Çok serî su
TK-19	Bostantepé Kaynağı	10.07.2000	9,9	7,51	350	0,06 0,01 2,30 0,60	2,97 0,00 2,20 0,02 0,27 2,49 2,02 0,05	C_2S_1	15 Tatlı su
TK-20	Ağralağa Kaynağı	10.07.2000	9,6	7,46	425	0,33 0,01 1,80 1,70	3,84 0,00 2,65 0,36 0,20 3,21 8,60 0,25	C_2S_1	18 Tatlı su

Çizelge 4. (devam ediyor),
Table 4. (continued).

Su No	Suyun Adı	Alındığı Tarih	Sıcaklık (°C)	PH	EC (us/cm)	Katyonlar (Meq/L)			Anyonlar (Meq/L)			Sertlik (FS)	Sulama Suyu Sınıfı	SAR	Sodyum (%)	Anyon Toplamı	Sertlik Sınıfı
						Na ⁺	K ⁺	Ca ⁺⁺	Mg ⁺⁺	CO ₃ ²⁻	HCO ₃ ⁻	Cl ⁻					
TK-21	Tatlı Pınar	11.07.2000	10,3	7,29	254	0,06	0,00	1,80	0,50	2,36	0,00	1,75	0,06	0,26	2,07	2,54	0,06 C ₂ S ₁ 12 Tatlı su
TK-22	Açı Pınar	11.07.2000	8,4	7,52	2160	0,28	0,01	21,40	2,40	24,09	0,00	1,70	0,30	19,90	22	1,16	0,08 C ₃ S ₁ 119 Aşırı sert su
TK-23	Demircilik köyü Çsm.	11.07.2000	8,7	8,45	225	0,06	0,02	2,20	0,08	2,36	0,20	1,45	0,14	0,25	2,04	2,54	0,06 C ₁ S ₁ 12 Tatlı su
TK-24	Deliabu Kaynağı	11.07.2000	9,1	7,92	395	0,03	0,00	2,80	0,40	3,23	0,00	2,55	0,06	0,19	2,80	0,93	0,02 C ₂ S ₁ 16 Tatlı su
TK-25	Benibaşı Kaynağı	12.07.2000	8,8	7,66	268	0,02	0,00	2,40	0,40	2,82	0,00	2,40	0,04	0,07	2,51	0,71	0,02 C ₂ S ₁ 14 Tatlı su
TK-25	Benibaşı Kaynağı	03.08.2000	8,7	7,2	298	0,01	0,003	2,30	0,80	3,11	0,00	2,20	0,04	0,06	2,30	0,32	0,01 C ₂ S ₁ 16 Tatlı su
TK-25	Benibaşı Kaynağı	28.09.2000	8,8	8,30	280	0,02	0,003	2,00	0,10	2,12	0,00	1,80	0,05	0,04	1,89	0,94	0,02 C ₂ S ₁ 11 Tatlı su
TK-25	Benibaşı Kaynağı	13.11.2000	8,5	7,90	296	0,02	0,002	2,20	0,10	2,32	0,00	2,15	0,03	0,08	2,26	0,86	0,02 C ₂ S ₁ 12 Tatlı su
TK-26	Karapınar Kaynağı	12.07.2000	9,0	7,87	288	0,03	0,01	2,60	0,20	2,84	0,00	2,30	0,04	0,25	2,59	1,06	0,03 C ₂ S ₁ 14 Tatlı su
TK-26	Karapınar Kaynağı	03.08.2000	9,0	7,15	287	0,01	0,003	2,40	0,10	2,51	0,00	2,15	0,06	0,18	2,39	0,40	0,01 C ₂ S ₁ 13 Tatlı su
TK-26	Karapınar Kaynağı	28.09.2000	8,7	7,9	310	0,01	0,004	2,40	0,20	2,61	0,00	2,20	0,03	0,17	2,40	0,38	0,01 C ₂ S ₁ 13 Tatlı su
TK-26	Karapınar Kaynağı	13.11.2000	8,5	7,78	315	0,04	0,003	2,40	0,20	2,64	0,00	2,30	0,06	0,16	2,52	1,51	0,04 C ₂ S ₁ 13 Tatlı su
TK-30	Kızılıbayır Kaynağı	13.07.2000	7,7	8	425	0,04	0,00	2,30	1,60	3,94	0,20	2,10	0,05	1,57	3,70	1,01	0,03 C ₂ S ₁ 20 Tatlı su
TK-31	Soğuk Pınar	13.07.2000	5,7	8,06	215	0,00	0,00	1,80	0,40	2,21	0,00	1,70	0,06	0,25	2,01	0,05	0,00 C ₁ S ₁ 11 Tatlı su
TK-32	Ezentere Kaynağı	13.07.2000	8,5	7,94	380	0,06	0,01	3,00	0,30	3,37	0,00	2,30	0,05	1,00	3,35	1,78	0,05 C ₂ S ₁ 17 Tatlı su



Şekil 5. Kaynak sularının üçgen diyagramda sınıflandırılması.

Figure 5. Classification of spring waters in the trilinear diagram.

Akarsular ve Göller

Arazi çalışmaları sırasında 5 akarsu noktasından ve 2 gölden su örneği alınmıştır. Bu örneklerin kimyasal analiz sonuçları Çizelge 4'de verilmiştir. Akarsuların ve Aygır Gölünün sertlikleri 30–45 FS arasında olup, çoğunlukla "Çok sert su" sınıfında yer almaktadır. Ulaş Gölü aşırı sert su sınıfında yer almaktadır.

Akarsular üçgen diyagramına (Piper, 1944) göre, kalsiyum bikarbonatlı ve kalsiyum sülfatlı sulardır (Şekil 7). Akarsuların ve göl sularının sulama suyu açısından değerlendirilmesi ABD Tuzluluk Laboratuvarı Diyagramına göre yapılmıştır (Şekil 8). Bu diyagrama göre akarsuların büyük çoğunluğu ve Aygır Gölü C₃-S₁ yani, "düşük sodyumlu-yüksek tuzu" sulama suyu sınıfında yer almaktadır. C₃-S₁ sınıfında yer alan bu sular tuza dayanıklı bitkilerde tuz kontrolü yapılarak kullanılabilir (Erözel, 1986). Ulaş Gölü ise EC'sinin çok yüksek olmasından dolayı bu diyagrama göre sınıflandırılamamıştır.

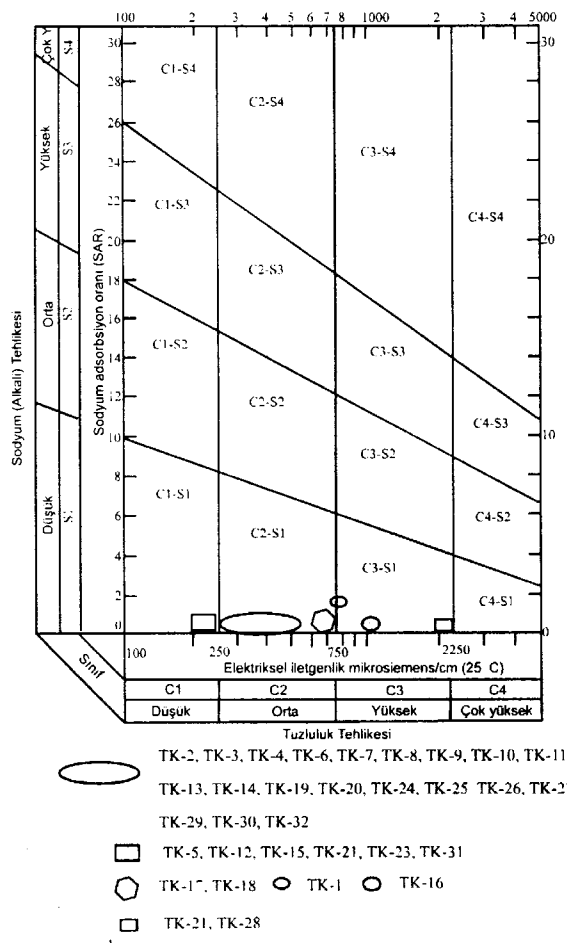
SONUÇLAR VE ÖNERİLER

Sonuçlar

1. Tecer Dere havzasının yağıştan beslenimi 105×10^6 m³/yıl, yüzeyel akım: 13.2×10^6 m³/yıl, yeraltısu boşalımı: 21×10^6 m³/yıl ve buharlaşma-terleme: 71.1×10^6 m³/yıl olarak hesaplanmıştır. Tecer Kireçtaşının yağıştan beslenimi (süzülme yüzdesi) : % 55 olarak bulunmuştur.

2. Tecer Kireçtaşı kıraklı, çatlaklı ve karstlaşmalı yapısından dolayı en fazla su taşıma özelliğine sahiptir ve inceleme alanının ana akiferini (karstik akifer) oluşturmaktadır. En büyük debili kaynakların Tecer kireçtaşlarından boşalığı saptanmıştır. Diğer birimlerin genellikle kıraklı, çatlaklı yapıda olan ve kumtaşı, çakıltaşı, kireçtaşından oluşan kesileri ve alüvyon daha az miktarda su bulundurmaktadır ve bu birimlerde de yer yer kaynak boşalımları mevcuttur.

3. Çalışma alanında yer alan kaynakların beslenme alanları civarında herhangi bir yerleşim alanı, maden işletme tesisi, çöp deponi alanı vb. kirlilik kaynakları bulunmamaktadır. Bu nedenle şu anki durumıyla bu kaynaklar herhangi bir kirlenme riski altında bulunmamaktadır.



Şekil 6. Kaynak sularının sulama suyu sınıflaması (ABD Tuzluluk Laboratuvarı Diyagramı).

Figure 6. Classification of spring waters in the irrigation water diagram (USA Salinity Laboratory Diagram).

4. Kaynakların EC değerleri: 215–2160 $\mu\text{s}/\text{cm}$ arasında, sertlikleri 10–119 FS arasında değişmektedir ve çoğunluğu "Tatlı su" sınıfına girmektedir. Bu sular sulama suyu açısından; ABD Tuzluluk Laboratuvarı Diyagramına göre çoğunlukla C₂-S₁ sınıfında yer almaktır, tuza orta derecede dayanıklı bitkilerin sulanmasında kullanılabilir.

5. İnceleme alanındaki akarsuların EC değerleri: 630–886 $\mu\text{s}/\text{cm}$ arasında, sertlikleri: 30–45 FS arasında değişmektedir. Bu sular sulama suyu açısından; ABD Tuzluluk Laboratuvarı Diyagramına göre çoğunlukla C₃-S₁ sınıfında yer almaktır, tuza dayanıklı bitkilerde tuz kontrolü yapılarak kullanılabilir.

6. İnceleme alanında yer alan suların ana katyonları Ca ve Mg, ana anyonları ise HCO₃⁻ ve SO₄²⁻'dır. Bu sular üçgen diyagramı si-

niflamasına göre çoğunlukla kalsiyum ve magnezyum bikarbonatlı ve kalsiyum ve magnezyum sülfatlı sular sınıfında yer almaktadır.

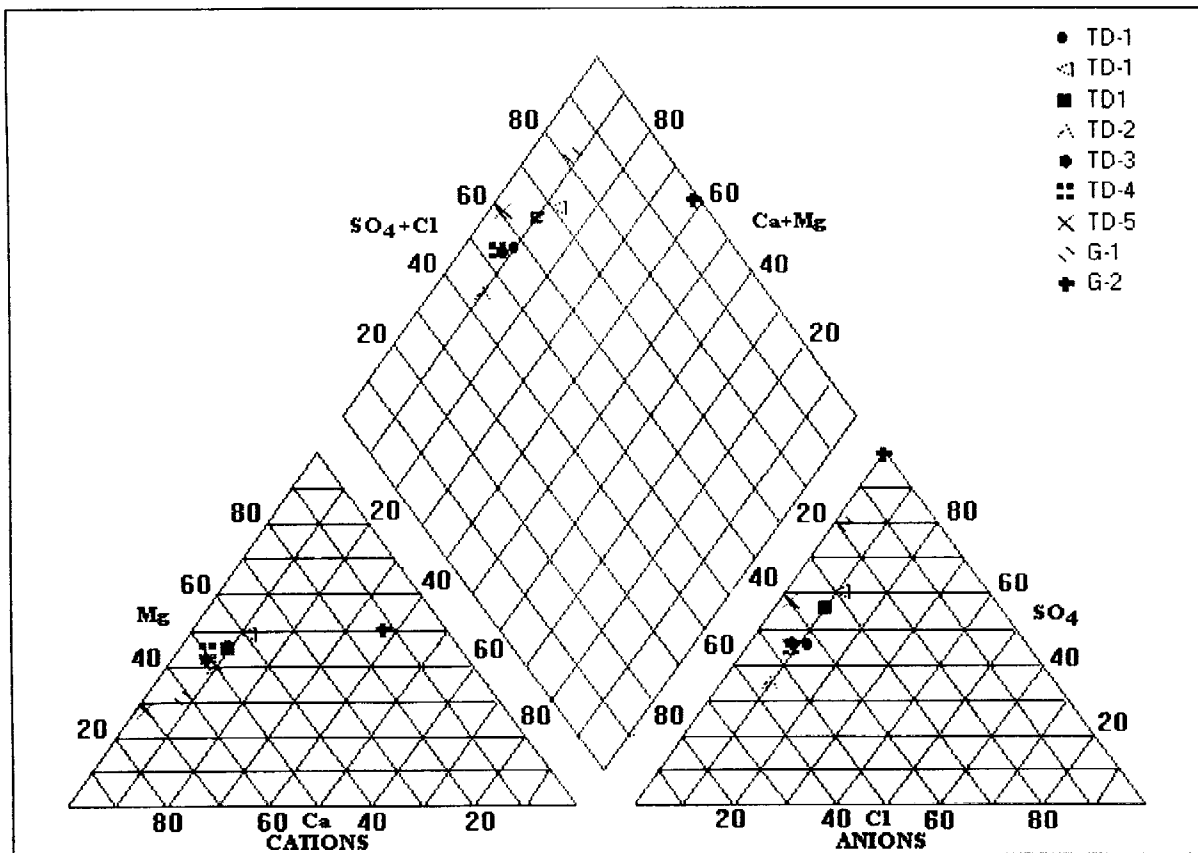
7. Tecer Kireçtaşından boşalan büyük debili kaynakların boşalımını yüzey drenaj alanı karşılayamamaktadır. Bu nedenle, bu kaynakların boşalımının Tecer Kireçtaşında yer alan karstik yeraltı kanallarının ve fayların etkisiyle geniş bir alandan toplanan sularla sağlanlığı düşünülmektedir.

8. Tecer Kireçtaşlarından alınan eklem ölçümlerinin analiz ve hava fotoğrafları kırık izi çalışmalarına göre, karstik boşlukların ve yapıların çoğunlukla bu kırık hatları ve faylar civarında ve genellikle bunların doğrultusuna paralel geliştiği saptanmıştır. Ayrıca bu kırık ve çatlak sistemlerinin bölgenin etkisinde kaldığı eğemen sıkıştırma yönü olan KKB-GGD doğrultusıyla uyumlu olarak geliştiği anlaşılmıştır. Çalışma alanındaki büyük debili kars kaynakları fay zonları üzerinde bulunmaktadır.

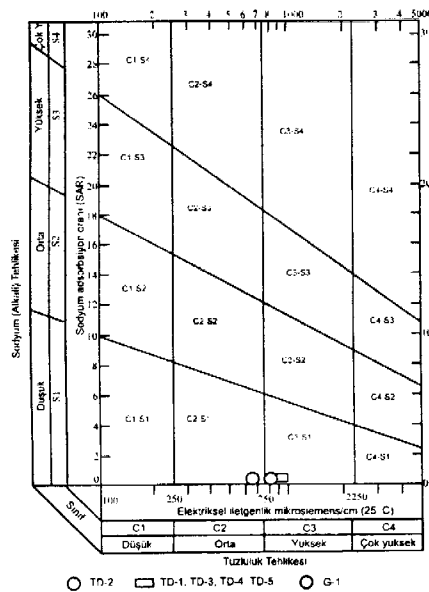
Öneriler

1. Tecer Kireçtaşından boşalan Beşgözeler Kaynağının debisi eski yıllarda DSİ tarafından ölçülen değerlere göre (DSİ, 1979) son yıllarda azalma göstermiştir. Kaynak yakınındaki (birkaç yüz metre uzaklıkta) taş ocaklarında dinamit kullanılarak patlatmalar yapılmaktadır. Karstik ve kırık-çatlaklı akiferlerden boşalan kaynakların boşalım noktalarında veya yakınlarında taş, maden işletme vb. nedenlerle patlatmalar yapılması, yeni kırık-çatlakların ve yeraltısu akım yollarının oluşmasına ve kaynak boşalımının (debinin) azalmasına neden olabilmektedir. Bu nedenle, Tecer Kireçtaşında karst akım yolları boyunca hareket eden su taş ocaklarındaki patlatmalar sonucu yeni oluşan kırık ve çatlakların etkisiyle yön değiştirerek başka noktalardan boşalım yapabilir. Dolayısıyla taş ocaklarının kapatılması Beşgözeler Kaynağının korunması açısından önerilmektedir.

2. Bilindiği gibi Cumhuriyet Üniversitesi yillardır su sorunu yaşamaktadır. Üniversitemizin suyu Kızılırmak boyunca uzanan alüvyon akiferde ve kampüs'ün güney kesimindeki dere ağızlarında bulunan alüvyon yelpazesinde açılmış olan sondaj kuyularından sağlanmaktadır. Bu kuyulardan sağlanan sular oldukça kötü kalitede olup içme amaçlı olarak kullanılmamakta, laboratuarlarda faydalananamakta ve çeşitli aletlerde büyük hasarlara yol açmaktadır. Ortalama 350 l/s debili Beşgözeler Kaynağı suyunun bir kısmı Ulaş, yakın civardaki köyler



Şekil 7. Akarsu ve göl sularının üçgen diyagramda sınıflandırılması.
Figure 7. Classification of river and lake waters in the trilinear diagram.



Şekil 8. Akarsu ve göl sularının sulama suyu sınıflaması (ABD Tuzluluk Laboratuvarı Diyagramı).

Figure 8. Classification of river and lake waters in the irrigation water diagram (USA Salinity Laboratuary Diagram).

ve Sivas Demir Çelik İşletmesine içme ve kullanma suyu olarak vermektedir. Artan suyun bir kısmı alabalık yetiştirmekte kullanılmaktır ve Tecer Deresine verilmekte, diğer kısmı ise doğrudan Tecer Deresine karışmaktadır. Kullanılan sular alındıktan sonra artan ve doğrudan Tecer Deresine karışan su miktarı kaynak debisine bağlı olarak değişmektedir. Tecer Deresi suyunun bir kısmı Ulaş Devlet Üretme Çiftliğinde sulamada kullanılmaktadır. Beşgözeler Kaynağı suyunun kullanımından artan kısmından Cumhuriyet Üniversitesine su sağlama yararlanılabilir. Bunun için, kaynak bitişliğindeki balık çiftliğine tahsis edilmiş olan su miktarı ile ilgili yeni hukuki düzenlemeye ihtiyaç vardır (Kaçaroğlu ve Değirmenci, 2001). Kaynak ile Sivas Demir Çelik İşletmesi arasındaki boru hattı halen verilmekte olan debiden daha yüksek miktarı iletebilecek kapasiteye sahiptir. Üniversite kampüsü ile Sivas Demir Çelik İşletmesi arasına yeni bir boru hattının inşa edilmesi gerekecektir.

KATKI BELİRTME

Yazarlar C.Ü.Araştırma Fonu tarafından desteklenen bu çalışmanın gerçekleştirmesinde, veri, arazi ve/veya laboratuar çalışmalarındaki yardımları için Ergun Karacan, Ahmet Turan Arslan, Süha Özden, Halil Gürsoy, Ömer Bozkaya, Mustafa Değirmenci, DSİ XIX Bölge Müdürlüğü, MTA Bölge Müdürlüğü, C.Ü. Jeoloji Mühendisliği Bölümü Mineraloji-Petrografi ve Jeokimya Araştırma Laboratuvarı (MİPJAL) ve H.U. Uluslararası Karst Su Kaynakları Araştırma Merkezi (UKAM) Su Kimyası Laboratuvarı elemanlarına teşekkür bir borç bilir.

DEĞİNİLEN BELGELER

- DSİ, 1979, Sivas-Ulaş Ovası hidrojeolojik etüt raporu: DSİ Genel Müd., Ankara.
 Ekemen, T., 2001, Tecer Dağı (Sivas-Ulaş) kaynaklarının hidrojeoloji incelemesi (Yüksek Lisans Tezi): C.Ü. Fen Bilimleri Enst., Sivas, 104 s.
 Erguvanlı, K., Yüzer, E., 1973, Yeraltısuları jeolojisi: İstanbul Teknik Üniversitesi, Özarkadaş Matbaası, sayı 967, 340 s.
 Erözel, Z., 1986, Sulamada su kalitesi ve tuzluluk sorunları: Kültürteknik Giriş, A.Ü. Ziraat Fak. yayını no: 996, 96-110.
 Gökten, E., 1993, Ulaş (Sivas) doğusunda Sivas havzası güney kenarının jeolojisi: İç Toros Okyanusu' nun kapanmasıyla ilgili tektonik gelişim: TPJD Bülteni, 5/1, 35-55.

- Gürsoy, H., 1986, Örenlice-Eskiköy (Sivas) yöreninin stratigrafik ve tektonik özellikleri (Yüksek Lisans Tezi): C.Ü. Fen Bilimleri Enst., Sivas, 48 s.
 İnan, N., 1987, Tecer Dağının (Sivas) jeolojik özellikleri ve foraminiferlerinin sistematiğ incelemesi (Doktora Tezi): C.Ü. Fen Bilimleri Enst., Sivas, 127 s.
 İnan, S., Öztürk, A., Gürsoy, H., 1993, Ulaş-Sıncan (Sivas) yörenin stratigrafisi: TUBITAK Doğa Dergisi, 2, 1-15.
 İnan, S., 1993, Sivas basenin güneydoğusunun yapısal evrimi: C.Ü. Müh. Fak. Dergisi, Seri A-Yerbilimleri, 10, 1, 13-22.
 Kaçaroğlu, F., Değirmenci, M., 2001, Sivas-Ulaş Beşgözeler Kaynağı Debi Ölçüm Raporu: Cumhuriyet Üniversitesi Mühendislik Fakültesi, 5 s.
 Milanovic, P. T., 1981, Karst hydrogeology: Water Resources Publication, Littleton, Colorado, USA, 434 p.
 Piper, A. M., 1944, A graphical procedure in the geochemical interpretation of water analyses. Am. Geophysical Union Trans., 25, 914-923.
 TSE, 1986, İçme suları: Türk Standartları Enstitüsü, Ankara, 97 s.

ORTA ANADOLU BİNDİRME KUŞAĞININ AKDAĞMADENİ-YAVU ARASINDAKİ BÖLÜMÜNÜN STRATİGRAFİK ÖZELLİKLERİ

STRATIGRAPHICAL FEATURES OF CENTRAL ANATOLIAN THRUST BELT BETWEEN AKDAĞMADENİ AND YAVU

Fikret KOÇBULUT Cumhuriyet Üniversitesi, Jeoloji Mühendisliği Bölümü, 58140, Sivas
Orhan TATAR Cumhuriyet Üniversitesi, Jeoloji Mühendisliği Bölümü, 58140, Sivas

ÖZ : Üst Kretase yaşı ophiolitli karışık ve örtü kayalarından oluşan tektonik dilimlerin kuzeyden güneye doğru yerleşimini yansıtan Orta Anadolu Bindirme Kuşağı'nın çalışma alanındaki stratigrafisi, otokton ve allokton konumlu kaya birimleri ile temsil edilmektedir. Otokton konumlu birimlerin temelini Üst Kretase öncesi metamorfizmaya uğramış başlıca şist, kalk şist, mikaşist, kuvarsit ve mermerlerden yapılmış Akdağmadeni Litodemi oluşturur. Bu temel üzerinde Alt-Orta Eosen yaşı kalın bir tortul-volkanotortul istif yer alır. Tabanda yer alan epiklastik istif Tokuş Formasyonu; üstte yer alan volkanik-volkanotortul istif ise Orta-Üst Eosen yaşı Kaletepe Volkanitleri olarak ayırtlanmıştır. Alt-Orta Eosen yaşı Tokuş Formasyonu üç üyeden oluşmaktadır. Bu üyeler tabandan tavaña doğru, konglomeralardan oluşan Susuzdağ, bol makro fosilli resifal kireçtaşlarından oluşan Asar, kumtaşı, kilitaşı ardalanmasından oluşan Banaz üyeleridir. Tokuş Formasyonu üzerinde uyumlu olarak Orta-Üst Eosen yaşı Kaletepe Volkanitleri gelmektedir. Kaletepe Volkanitleri'nin bazaltik-andezitik lav akıntılarından oluşan kısmı Taştepe Üyesi, tuf, aglomera ve volkanik kumtaşlarından oluşan kısmı ise Aliçlisèkitepe Üyesi olarak ayırtlanmıştır. Alt-Orta Eosen yaşı istif, Üst Kretase yaşı Tekelidağı Karışığı tarafından tektonik dokanakla üzerlenmektedir. Allokton konumlu Tekelidağı Karışığı pembe, kırmızı renkli kireçtaşları, volkanik-volkanosedimentler ve ophiolitik kayalardan oluşan oluşturmaktadır. Tüm bu birimlerin üzerinde ise açılı uyumsuzlukla Pliyosen yaşı çakıltaşı, kumtaşı ardalanmasından oluşan İncesu Formasyonu ve alüvyonlar yer almaktadır.

Çalışma alanının tektonik deformasyonu, temel ve örtü kayalarını içeren bindirme sistemleri ile denetlenmektedir. Üst Kretase yaşı Tekelidağı Karışığı'na ait kalın tektonik dilimlerin kuzeyden güneye doğru Eosen yaşı havza istifi üzerine ilerlemesi ile genel olarak tüm havzada K-G yönünde yoğun kısalma gelişmiştir. Bu deformasyon, DKD-BGB doğrultulu kıvrımlar, bindirme fayları ve doğrultu atımlı faylarla karakterize edilmektedir.

Anahtar kelimeler : Akdağmadeni, Yavu, Tektonostratigrafi, Orta Anadolu Bindirme Kuşağı

ABSTRACT : The stratigraphy of the Central Anatolian Thrust Belt around the study area is represented by southward propagated tectonic slices of Upper Cretaceous ophiolitic melange and cover rocks. The basement of autochthonous units is composed of schist, calcschist, micaschist, quartzite and marbles of Pre-Cretaceous metamorphosed rocks namely the Akdağmadeni Lithodem. A thick Eocene sedimentary-volcanosedimentary serie overlies this basement. The lowermost sequence of epiclastic rocks and the uppermost volcanosedimentary series are named as Kaletepe volcanics. Lower-Middle Eocene Tokuş Formation is divided into three different members. These are, from bottom to top, Susuzdağ conglomerates, fossiliferous reefal carbonates of Asar and the Banaz sandstone-claystone members. Middle-Upper Eocene Kaletepe Volcanics conformably overly the Tokuş Formation. Kaletepe Volcanics are divided into two sub-units as follows; the Taştepe unit is composed of basaltic and andesitic lava flows, and Aliçlisèkitepe unit consists of tuff, agglomerate and volcanic sandstone. Eocene series are overlain by Upper Cretaceous Tekelidağı melange with a tectonic contact. Allochthonous Tekelidağı Complex includes three units. They are pink-red colored pelagic limestones, lava flows, volcanosediments; and ophiolitic rocks. All these units are overlain by Quaternary alluvium and Pliocene İncesu Formation of continental deposits.

Tectonic deformation style of the study area is controlled by thrust sequences of basal and cover rocks. Since the occurrence of thick tectonic slices of Upper Cretaceous Tekelidağı mélange propagated southwards onto Lower-Middle Eocene age series of the basin, a major shortening on footwall rocks developed. This deformation is characterized by ENE-WSW trending fold axes, thrusts and strike-slip faults.

Key words : Akdağmadeni, Yavu, Tectonostratigraphy, Central Anatolian Thrust Belt

GİRİŞ

Coğrafik konum olarak Sivas'ın yaklaşık 100 km batısında, Yıldızeli (Sivas) ile Akdağmadeni (Yozgat) arasında yer alan inceleme alanı, bölgesel jeolojik konum olarak İzmir-Ankara-Erzincan ofiyolit kuşağı ile Sivas Tersiyer havzasının kuzey sınırında gelişen yaklaşık 400 km uzunluğundaki D-B doğrultulu kuzeyden güneye doğru gelişmiş Orta Anadolu Bindirme Kuşağı üzerinde bulunmaktadır (Şekil 1).

Orta Anadolu Bindirme Kuşağı üzerinde yer alan inceleme alanı ve yakın çevresinde değişik amaçlı birçok jeolojik araştırma yapılmıştır. Çalışmalar özellikle stratigrafik amaçlı olup, kuzeydeki Üst Kretase yaşı ofiyolitli karışığın iç yapısı ve yerleşim yaşı ile ilgilidir. Bu çalışmalarla bölgede birçok önemli sorunun varlığı ortaya konulmuş ve çözümüne yönelik yayınlar yapılmıştır. İlgili alan ve yakın çevresinde, Yücel (1955), Okay (1955), Yalçınlar (1955), Baykal (1966), Brinkmann (1974), Tatar (1977), Özcan ve diğerleri (1980), Terlemez ve Yılmaz (1980), Tülümen (1980), Yılmaz (1981), Yılmaz (1983), Tatar (1983), Yılmaz ve Özer (1984), Alpaslan (1993), Gökten (1993), Yılmaz ve diğerleri (1995), Ercanlı (1997), Çerikcioğlu (1997), Yalçın (1997), Koçbulut (1998), Mesci (1998), Çerikcioğlu ve Yalçın (1998), Alpaslan (2000) tarafından jeolojik amaçlı araştırmalar yapılmıştır.

STRATİGRAFİ

İnceleme alanında yüzeylenen kaya birimleri allokon ve otokton birimler olmak üzere iki bölüme ayrılanarak incelenmiştir. Orta Anadolu Bindirme Kuşağı'nın güneyinde yer alan otokton nitelikteki kaya birimleri Sivas Tersiyer Havzasının temelini oluşturan birimlerden Paleozoyik yaşı Akdağmadeni Litodemi ve bunun üzerinde açılı uyumsuz olarak yer alan Eosen yaşı Tokuş Formasyonu, Kaletepe Volkanikleri, Üst Miyosen-Pliyosen yaşı İncesu Formasyonu ile temsil edilmektedir. Allokton birimler ise İzmir-Ankara-Erzincan Kenet Kuşağına ait Tekelidağı Karışığı'ndan oluşmaktadır (Şekil 2).

Otokton Birimler

Akdağmadeni Litodemi (Pa)

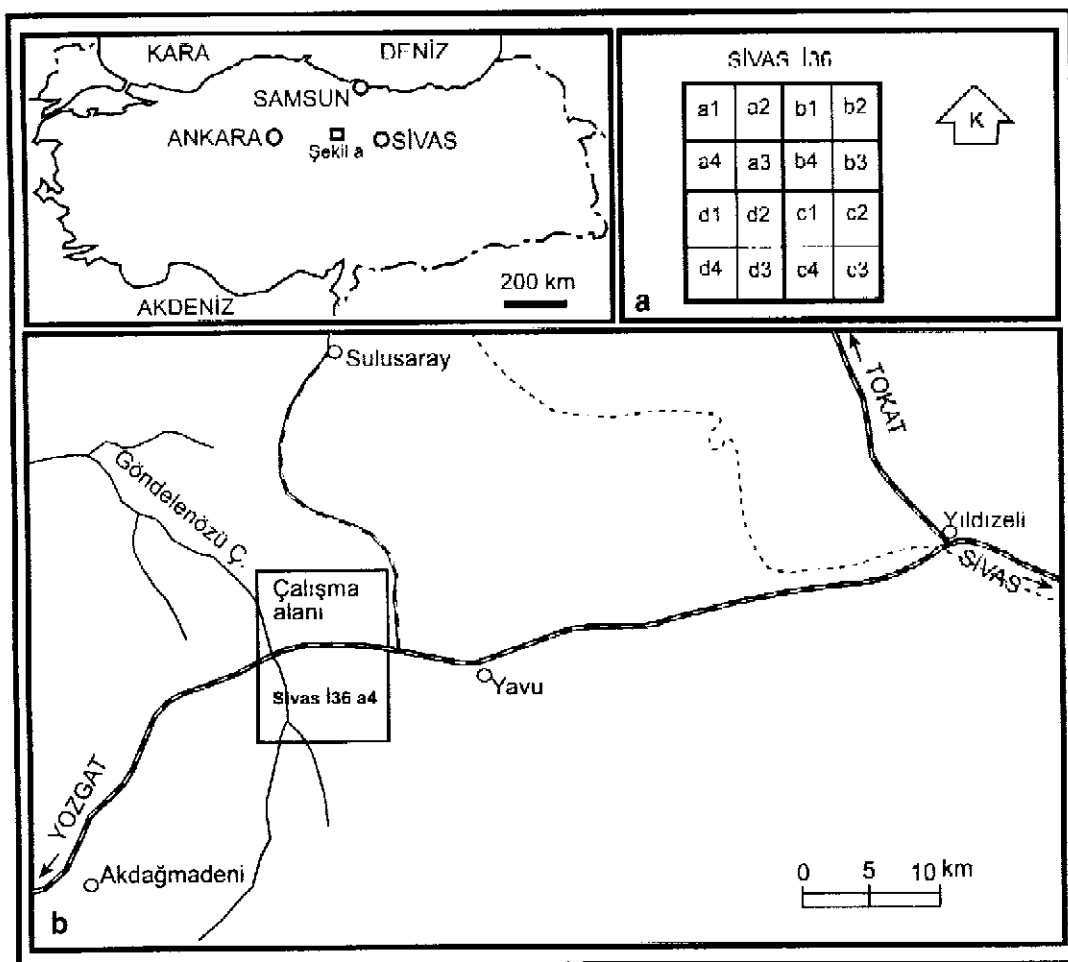
Temel konumunda olan metamorfik kayaçlar Özcan ve diğerleri (1980) tarafından Akdağmadeni Grubu olarak adlandırılmış ve bu adlama Türkiye Stratigrafi Komitesi tarafından Akdağmadeni Litodemi olarak kabul edilmiştir (TSK, 1987, Yılmaz ve diğerleri 1995). Birim üzerinde Eosen yaşı Tokuş Formasyonu açılı uyumsuzlukla yer almaktadır. Akdağmadeni Litodemi'ne ait metamorfik kayaçlar alttan üstte doğru mikaşistler, kalkıştalar, gnaysalar, kuvarsitler ve en üstte ise şist, mermer ardalanımı ve mermerlerden oluşmaktadır (Şekil 3).

Mermerlerin ayırmış yüzeyleri gri, taze yüzeyleri beyaz renkli olup, genellikle masiftir. Oldukça iri kristallerden oluşan mermerlerde, kalsit taneleri basınç düzeyleri boyunca belli bir düzen içerisinde gelişmiştir.

Şistler sarı, gri renkli ve bol yapraklı mal bir yapı sunmaktadır. Şistlerin bozunduğu bölgelerde renk sarı ve tonlarında görülmektedir. Kalkıştalarde yapraklanması orta, ince yer yer çok ince ve düzenli olarak gelişmiştir. Kırıklar genellikle düzensiz bir yapıda olmakla birlikte, yer yer düzenli bir yapı da sunmaktadır. Kuvarsitler ise çalışma alanında Akdagmadeni Litodemi metamorfitlerinin şistleri içerisinde damarlar şeklinde görülmektedir.

Bu çalışmada birimin oluşum ve metamorfizma yaşı konusunda bir veri elde edilememiştir. Ancak bölgede yapılan önceki çalışmalar (Yılmaz ve Özer 1984, Yılmaz ve diğerleri 1994, 1995) birimin Üst Kretase-Paleosen yaşı birimler tarafından uyumsuzlukla örtülmesi nedeniyle Akdağmadeni Litodeminin en azından Üst Kretase-Paleosen öncesi bir zamanda metamorfizmaya uğradığı öne sürülmektedir.

Özcan ve diğerleri (1980), Akdağmadeni bölgesinde yer alan metamorfiklerde almandin-amfibolit fasyesini tanımlayan tipik parajenezler saptamışlardır. Özer ve Göncüoğlu (1981) orta ve yüksek dereceli metamorfik parajenezlerin birlikte görüldüğüne



Şekil 1. İnceleme alanının yerbulduru haritası.
Figure 1. Location map of the study area.

dikkati çekerek birimin tekduze bir metamorfizma geçirmediğini ileri sürmektedir.

Gökten (1993)'e göre değişik metamorfik kayaçlardan oluşan masif tekduze bir metamorfizma süreci sergilemez. Orta basınç, yüksek sıcaklık düzeyine ulaşan bölgesel metamorfizma ile intrüzyonların yol açtığı kontakt metamorfizma süreçleri en geç Üst Kretase sonunda tamamlanmıştır.

Yılmaz ve diğerleri (1995), metamorfik istifin yeşilşist ile amfibolit fasyeslerinde bir metamorfizma geçirdiğini belirtmişlerdir. Metamorfizmanın yanal ve dikey yönde yer değiştiği ve genel olarak alt düzeylerin daha yüksek derecede bir metamorfizma geçirdiğini ileri sürmektedirler.

Tokuş Formasyonu (Tt)

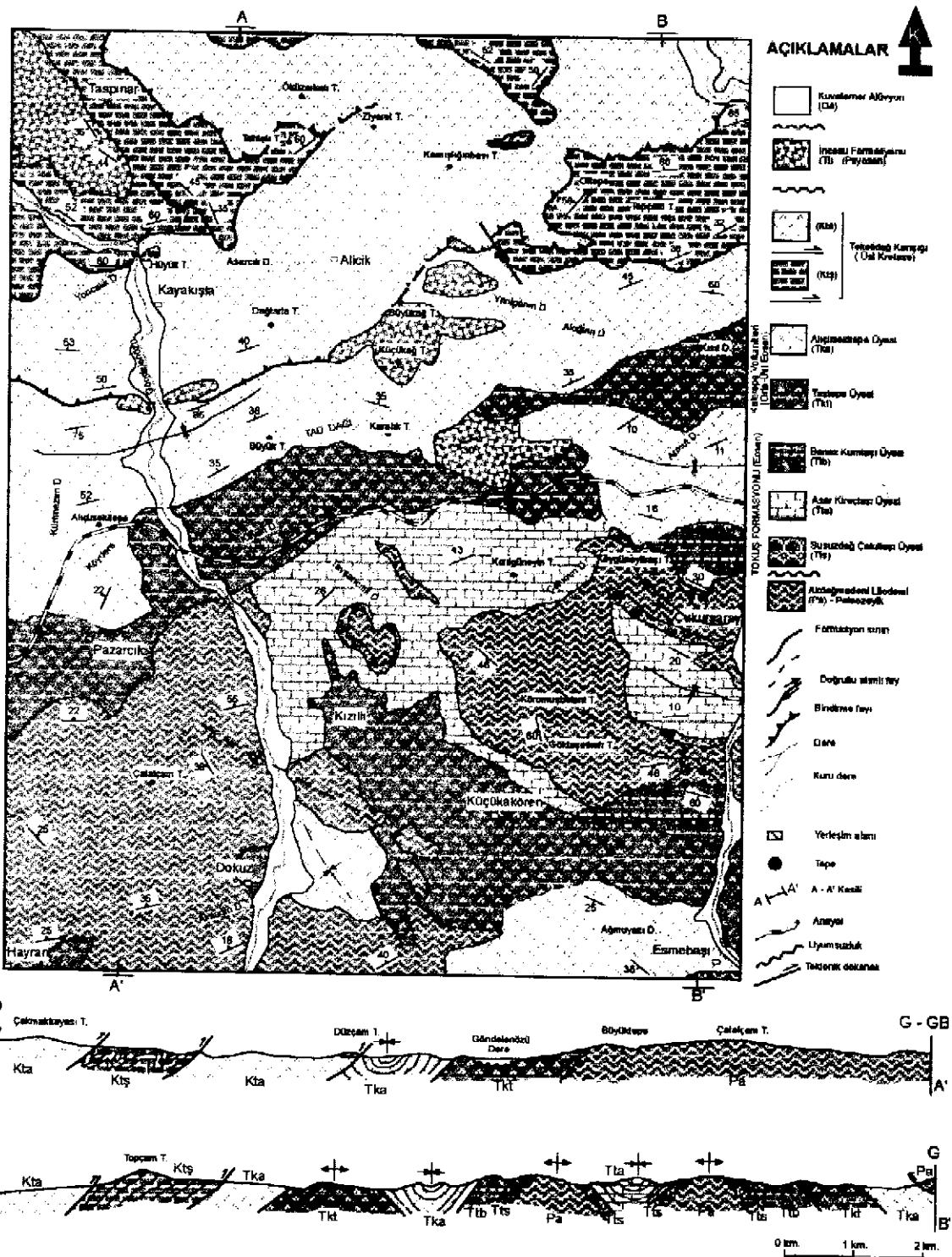
İnceleme alanında Akdağmadeni Litodemi üzerine açılı uyumsuzlukla gelen Alt-Orta Eosen yaşı taban çakıltaşları, bol fosilli

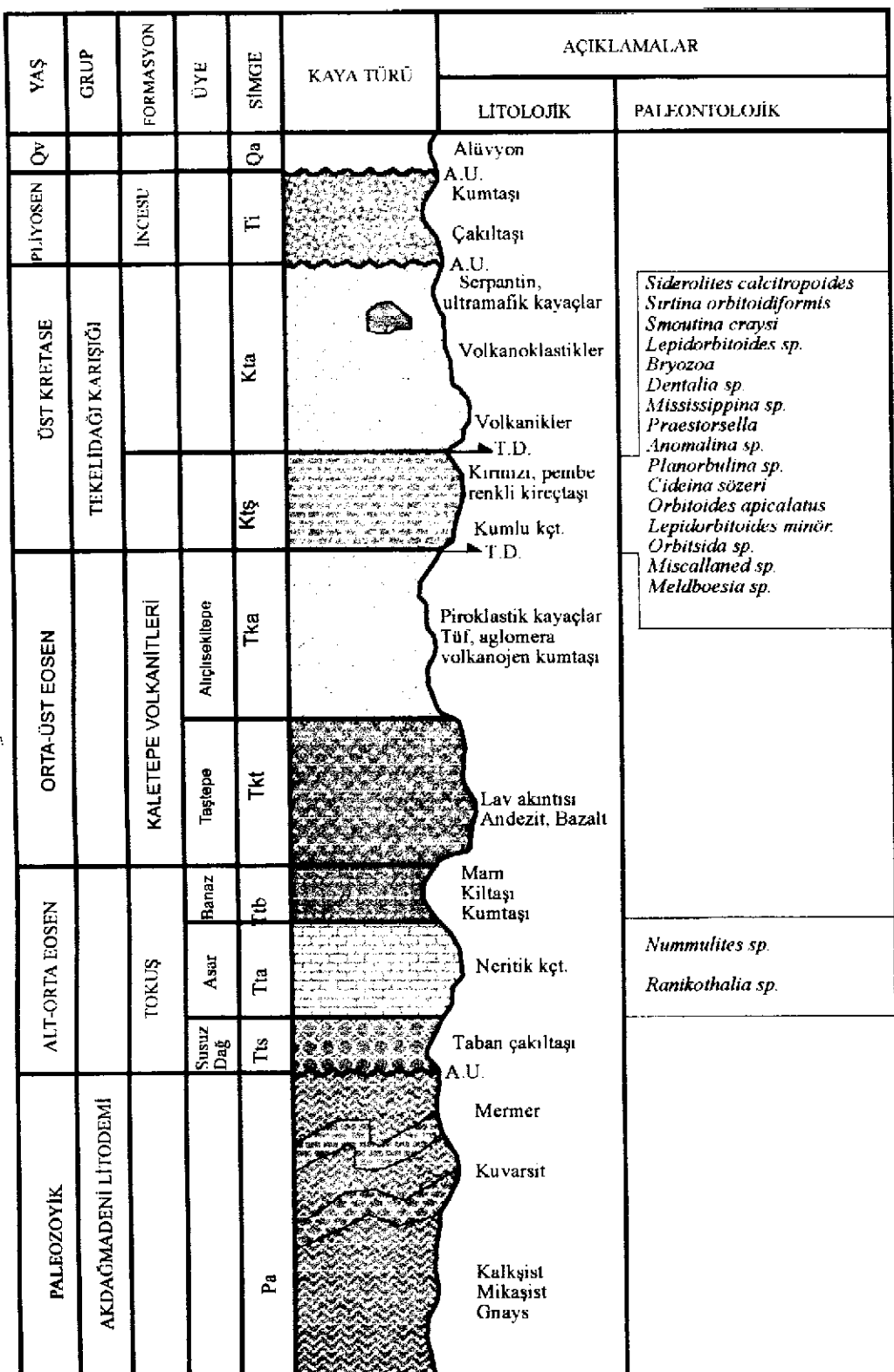
neritik kireçtaşları ve kumtaşı, kilitaşı, marn ardalanması ilk kez Yılmaz (1980) tarafından Yıldızeli Grubu içerisinde Tokuş Formasyonu olarak adlandırılmış ve bu adlama resmi adlama olarak kabul edilmiştir.

Tokuş Formasyonunun en alt seviyesini oluşturan ve Akdağmadeni Litodemi üzerine açılı uyumsuzlukla gelen taban çakıltaşları, Susuzdağı çakıltaşı üyesi; çakıltaşları üzerinde uyumlu olarak yer alan bol fosilli neritik kireçtaşları Asar kireçtaşı üyesi, kireçtaşları üzerinde uyumlu olarak yer alan kumtaşı, kilitaşı, marn ardalanmasından oluşan kaya birimleri ise Banaz kumtaşı üyesi olarak adlandırılmıştır (Yılmaz, 1980).

Susuzdağı Çakıltaşı Üyesi (Tts)

Tokuş Formasyonu'nun en alt düzeyini oluşturan Susuzdağı Çakıltaşı Üyesi, Akdağmadeni Litodemi'ni açılı uyumsuz olarak taban





Şekil 3. Çalışma alanının genelleştirilmiş tektonostratigrafik kesiti.
Figure 3. Generalized tectonostratigraphic section of the study area.

konglomerası şeklinde örter. Birim üzerinde ise uyumlu olarak Asar Kireçtaşı Üyesi bulunur. Genellikle mermer, kalkıştır, mikaşit ve kuvarsit çakıllarından oluşan birim, kötü boyanmalı olup, boyutları 1-5 cm.'den blok boyutuna kadar değişmektedir. Zayıf-orta çimentolu ve çimento malzemesi kil-kum boyutu malzemeden oluşmaktadır. Orta-kalın katmanlı bir görünüm sunan çakıltashlarının üst düzeylerine doğru boyutları küçülmekte ve birim çakılı kumtaşlarına geçmektedir. Çalışma alanında Çağşak tepe güneyinde yaklaşık 20 metreye varan kalınlığa ulaşan birimin değişik yüzeklerde kalınlığı oldukça değişken olup, Susuzdağ dolayında birimin kalınlığı 150 m olarak ölçülümtür (Yılmaz, 1980).

Çakıltashları içerisindeki bileşenlerin oldukça büyük boyutlu, köşeli ve az yuvarlaklaşmış olması, beslenme alanının yakın olduğunu göstermektedir. Çakıllar arasındaki büyülüük farkından doğan boyanmanın, kötü olması, ortamın çalkantılı ve çökelme enerjisinin yüksek olduğunu göstermektedir. Ayrıca birimin bazı kesimlerinin kırmızı renkli olması, karasal bir ortamı yansımakta, ancak üst düzeylerinin kumlu çakıltası ve kumtaşlarına geçmesi, ortamın karasal ortamdan denizel ortama dönüştüğünü yani derinliğini göstermektedir. Sonuç olarak, birimin karasal ortamda çökelmeye başladığı ve çökelimini sıç denizel ortamda devam ettiğini düşünülmektedir. Yılmaz ve diğerleri (1994) birimin sıç denizel bir ortamı temsil ettiğini ve yaşının Lütesiyen-Priaboniyen olduğunu belirtmektedirler.

Asar Kireçtaşı Üyesi (Tta)

Tokuş Formasyonu'nun orta seviyelerini oluşturan sıç denizel ortam ürünü, bol fosilli kireçtaşı seviyeleri, Yılmaz (1980) tarafından Asar Kireçtaşı Üyesi olarak tanımlanmıştır. Asar Kireçtaşı Üyesi, Susuzdağ Çakıltası Üyesi üzerinde uyumlu olarak gelmekte, Banaz Kumtaşı Üyesi tarafından da uyumlu olarak üzerindenmektedir. Birim sarımsı renkli, orta katmanlı, bol fosilli, sıç denizel ortamı karakterize eden neritik kireçtaşlarından oluşmaktadır. İnceleme alanında temiz ve düzenli yüzekler oldukça sınırlı olup, bunların kumlu düzeyleri ayrılmış ve serbest halde tane fosiller içermektedir. Banaz Kumtaşı Üyesi ile yanal geçiş sunan birim üst düzeylere doğru kumtaşlarına geçiş sunmakta, kalınlığı ise yersel olarak değişmektedir.

Birimden alınan kayaç örnekleri içerisinde *Alveolina ellipsoidalis* SCHWAGER, *Alveolina (glomalveolina) lepidula* SCHWAGER, *Nummulites* sp., *Ranikothalia*

sp., *Alveolina* sp., *Idalina* sp., *Miliolidae*, *Pyrgo* sp., *Chyrisalidina* sp., fosilleri saptanmıştır (N. Özgen ve M. Akyazı C.U. 1998). Bu fosillere göre birime Alt-Orta Eosen yaşı verilmiştir. Birim, içerisinde bulunan fosillerin yaşama ortamlarına göre sıç denizel bir ortamda çökelmiştir.

Banaz Kumtaşı Üyesi (Ttb)

Tokuş Formasyonu'nun en üst seviyelerini oluşturan ve kumtaşı, kultaşı, marn ardalanmasından oluşan birim Yılmaz (1980) tarafından Banaz Kumtaşı Üyesi olarak adlandırılmıştır.

Banaz Kumtaşı Üyesi, Asar Kireçtaşı Üyesi Üzerine yanal ve dikey geçişli olarak gelmekte ve Kaletepe Volkanitleri tarafından izlenmektedir (Şekil 3).

Birim kumtaşı-kultaşı-marn ardalanmasından oluşmaktadır. Alt seviyelerinde çakılı kumtaşı, kaba taneli kumtaşlarıyla başlayıp üstte doğru kumtaşı, kultaşı ve marnlarla devam etmektedir. Kumtaşları kırmızı, sarı renkli, kötü boyanmalı, yer yer orta-kalın tabakalı ve oldukça zayıf çimentoludur. Birimin alt seviyelerinde kumtaşı tabakaları ile uyumlu andezitik ve bazaltik lav akıntıları da gözlenmektedir. Birim üzerine Çağşak Tepe güneyinde Taştepe Üyesi, Çukursaray Köyü kuzeyinde ise Alçılidekitepe Üyesi gelmektedir (Şekil 2).

İnceleme alanında kalınlığı yanal olarak değişiklik gösteren birimin, Çağşak Tepe güneyinde kalınlığı yaklaşık 145 m. dolayındadır. Birimin yaşı, Susuzdağ Çakıltası Üzerine uyumlu olarak gelmesi ve kumtaşları içerisinde saptanan *Nummulites* sp. fosillerine göre Alt-Orta Eosen olarak belirlenmiştir. Banaz Kumtaşı Üyesi yer yer volkanik etkinliğinin de gelişmiş olduğu sıç denizel bir ortamda çökelmiştir.

Kaletepe Volkanitleri

Tokuş Formasyonu Üzerine uyumlu olarak gelen andezitik ve bazaltik volkanikler, üst seviyelerde ise tuf, aglomera, volkanik kökenli kumtaşları, kultaşları ve piroklastik kayaçlardan oluşan birim, Yılmaz ve diğ. (1994) tarafından Kaletepe Volkanitleri olarak adlandırılmıştır. Birimin yaşı stratigrafik olarak Tokuş Formasyonu ile uyumlu olması ve volkanik kumtaşları içerisindeki *Nummulites* sp. fosillerine göre Orta-Üst Eosen olarak belirlenmiştir. Kaletepe Volkanitlerinin andezitik ve bazaltik lav akıntılarından oluşan bölümü, Taştepe Üyesi; aglomera, tuf, volkanik kumtaşı gibi piroklastik ve epiklastik kayaçlardan oluşan üst seviyeleri

ise Aliçliseki Tepe Üyesi olmak üzere ilk kez bu çalışmada iki üyeye ayrılmıştır.

Taştepe üyesi (Tkt)

Kaletepe Volkanitleri'nin alt seviyelerini oluşturan bazalt-andezit bileşimli volkanik kayaçlar, bu çalışmada Taştepe Üyesi olarak adlandırılmıştır. Birim daha önce Yılmaz ve diğ. (1994 ve 1995) tarafından Pazarcık Volkanikleri olarak adlandırılmıştır. Fakat aynı yazar Eosen yaşılı volkanik kayaçları, Kaletepe Volkanitleri olarak da tanımlamış olup bu çalışmada Kaletepe Volkanitleri ile Pazarcık Volkanikleri'nin aynı stratigrafik seviyeyi gösterdiği düşünlülmektedir. Bu nedenle Taştepe Üyesi, Pazarcık Volkanikleri ile deneştirilebilir. Birim koyu gri, yeşil renkli piroksen ve plajiyoklaz fenokristalleri içeren bazalt ve grimsi yeşil renkli hornblend ve plajiyoklaz fenokristalleri içeren andezit bileşimli lav akıntılarından oluşmaktadır. Çalışma alanında özellikle Pazartepe, Çatalçam Tepe, Ambarkaya ve Esmebaşı Köyü kuzeyinde bu volkanik kayaçlar sütunsal yapı göstermektedirler. Bu volkanik kayaçlar içerisinde oldukça bol miktarda gaz boşulları ve zeolit minerali oluşumları gözlenmektedir. Birimin yaşı stratigrafik olarak Tokuş Formasyonu ile uyumlu olması nedeniyle Orta-Üst Eosen olarak belirlenmiştir.

Birimin, çalışma alanının batısında İbrahmağa Çiftliği civarında ve doğu kesimlerinde yastık yapılı bir özellik taşıması nedeni ile ve Eosen yaşılı Tokuş Formasyonu ile uyumlu olmasından dolayı sıg denizel ortamda oluşturduğu düşünülmektedir. Ayrıca bu volkanitlerin, jeokimyasal analiz sonuçlarına göre çarpışma sonrası (post-COLG) meydana gelen kalkalkalin volkanizmanın ürünlerini temsil ettiği görülmektedir (Koçbulut, 1998).

Aliçlisekitepe üyesi (Tka)

Kaletepe Volkanitlerinin üst seviyelerini oluşturan tuf, aglomera, volkanik kökenli kumtaşları, kilitşaları, epiklastik ve piroklastik kayaçlardan oluşan bölümü Aliçlisekitepe üyesi olarak adlandırılmıştır. Birim en iyi Aliçlisekitepe'de yüzeylemektedir. Stratigrafik olarak Taştepe Üyesi üzerine uyumlu olup, yer yer Taştepe Üyesi ile yanal geçişli bir ilişki sunar. Aliçlisekitepe Üyesi'ni Üst Kretase yaşı Tekelidağı Karışığı, BGB-DKD uzanımlı bir hat boyunca kuzeyden güneye doğru bindirme şeklinde gelişmiş tektonik dokanakla üzerler (Şekil 2). Aliçlisekitepe Üyesi başlıca kumtaşı, kilitçi, marn, tuf gibi piroklastik-epiklastik kayaçlardan oluşmakta ve birimin içerisinde tabakalanmaya koşut andezitik-bazaltik lav akıntıları da görülmektedir. Birim içerisindeki kumtaşları orta taneli, ince-orta tabakalı gri-yeşil renkli olup, so-

neli, ince-orta tabakalı gri-yeşil renkli olup, söğan kabuğu şekilli ayırıma göstermektedir. Kumtaşı, kilitçi, marn düzeyleri ardalanma şeklinde izlenir. Tüfitler ise mikroskop altında psamitik dokuda ve bağlayıcısı killeşmiş, kloritleşmiş volkan camından oluşmaktadır. Tüfler içerisinde volkanik, metamorfik ve kireçtaşı parçaları görülmekte, mineral olarak piroksen (öjit), plajiyoklaz, kuvars, biyotit, klorit, kalsit bireklilikleri içermektedir. Birim, Orta-Üst Eosen yaşılı volkaniklerle uyumlu, yer yer geçişli olması ve içerisinde bulunan, *Nummulites* sp., *Assilina* sp. fosillerine (N. Özgen ve M. Akyazı C.U. 1998) göre Orta-Üst Eosen yaşındadır.

Birimin stratigrafik olarak Tokuş Formasyonu ile uyumlu olması ve içerisindeki fosillerin varlığı, volkanik etkinliğin olduğu sıg denizel ortamda çökeldiğini göstermektedir.

İncesu Formasyonu (Ti)

Çalışma alanında bütün birimleri açılı uyumsuzlukla örten kumtaşı, çakıltası ardalanmasından oluşan birim Yılmaz (1980) tarafından İncesu Formasyonu olarak adlandırılmış ve bu adlama resmi adlama olarak benimsenmiştir.

Genelde kırmızı, bordo renkli birim, oldukça zayıf çimentolu olarak izlenir. Orta-kalın nitelikte tabakalanma sunan birim içerisinde boyanma çok kötü olup, tanelerin boyutları 3-5 cm.'den blok boyutuna kadar değişkenlik gösterir. Çakıllar içerisinde metamorfik, Eosen yaşılı fosilli neritik kireçtaşı, Üst Kretase yaşılı kireçtaşı, ofiyolitik/mafik kayaç parçaları içermesi nedeniyle çok tür bileşenli bir yapı göstermektedir.

Birim içerisinde bir fosil bulgusuna rastlanamamıştır. Ancak birim içinde bulunan neritik kireçtaşı çakıllarında Eosen yaşı veren *Alveolina ellipsoidalis* SCHWAGER, *Alveolina (Glomalveolina) lepidula* SCHWAGER, *Alveolina* sp., *Idalina* sp., *Rotalia* sp., *Miliolidae*, *Pyrgo* sp., *Chrysalidina* sp., *Nummulites* sp. fosilleri bulunmuştur. Buna göre birimin yaşı Alt Eosen'den genctir. Yılmaz ve diğerleri (1995) birimin akarsu ve göl ortamında olduğunu, Üst Miyosen-Pliyosen yaşında olduğunu belirtmiştir. Çalışma alanı dışında benzer litolojik özelliklere sahip birim üzerinde, Pliyosen yaşılı gölsel karbonatlar gözlenmesi nedeni ile, İncesu Formasyonu'nun yaşı Pliyosen olarak kabul edilmiştir. Birim, enerjinin yüksek olduğu bir ortamda çökelmıştır. Tanelerin kötü boyanmalı ve köşeli olması beslenme alanının yakın olduğunu işaret etmektedir. Birimin kırmızı-bordo renkli olması ve çapraz tabakalanma gözlenmesi, karasal ortamda çökeldiğine işaret eder.

Alüvyonlar (Qa)

İnceleme alanında en genç oluşukları meydana getiren alüvyonlar, Göndelenözü Dere, Ortasıçıközu Dere, Eşmebaşı Dere boyunca görülmektedir. Alüvyonlar pekişmemiş kum, kil, silt ve çakıl boyutundaki malzemeden meydana gelmiştir.

Allokton Birimler

Tekelidağı Karışığı

İnceleme alanında Eosen yaşlı kaya birimleri üzerine tektonik dokanakla gelen Üst Kretase yaşlı kireçtaşları, türbiditik kumlu kireçtaşları, volkanik kayaçlar, volkanotortul ve ofiyolitik kayaçlardan oluşan birim Yılmaz (1980) tarafından Tekelidağı Karışığı olarak adlandırılmış ve bu adlama, resmi adlama olarak kabul edilmiş, daha sonraki çalışmalarda da benimsenmiştir.

Tekelidağı Karışığının en alt seviyelerini Sivas Tersiyer Havzası'nın Eosen yaşlı birimleri üzerine tektonik dokanakla gelen yer yer türbiditik kireçtaşları (Kts); üst seviyelerini ise kireçtaşları üzerinde tektonik olarak yer alan volkanikler ve yer yer volkanotortul birimler (Kta) oluşturmaktır, birim içerisinde blok olarak ofiyolitler de görülmektedir. Karışığı oluşturan kaya toplulukları irdelendiğinde, birimin okyanus kabuğu ve pelajik örtüsünün deformasyonu sonucuoluştuğu bir yitim karışığını temsil etmektedir.

Tekelidağı Karışığı içerisinde yeralan kireçtaşı, türbiditik kireçtaşı, marn, kumlu kireçtaşlarından oluşan topluluk, inceleme alanının doğusunda Eosen yaşlı volkanoklastiklerden oluşan Aliçlisektepe üyesi üzerine tektonik dokanakla gelmektedir. Topluluk üzerinde ise tektonik olarak Üst Kretase yaşlı volkanik-volkanosedimanter istif yer almaktadır.

Çalışma alanının doğusunda tamamen pembe-kırmızı renkli, ince-orta tabakalı kireçtaşları, batı kesiminde ise alt seviyelerde ince tabakalı gri-yeşil, yer yer pembe renkli kireçtaşları görülmektedir. Ara seviyelerde ise yer yer yaklaşık 15 cm. kalınlığa ulaşan türbiditik kumlu kireçtaşı bantları gözlenmektedir. Türbiditik kumtaşları içerisinde volkanik ve ofiyolitik kökenli parçalar içeren birim, üst seviyelerinde orta-kalın tabakalı iyi cimentolanmış türbiditik kumtaşları, marn, kiltاشları ile devam etmektedir. Türbiditik kumtaşları yüzeyde çıkıştı oluşturacak şekilde yer almaktadır.

Birim içerisinde *Siderolites calcitropoides* LAMARCK, *Sirtina orbitoidiformis* BRONNIMAN and WIRTZ, *Smoutina cruxi* DROOGER, *Praestorsella roastea* VISSER, *Lepidorbitoides minor* SCHLUMBERGER,

Lepidorbitoides sp., *Bryozoa*, *Dentalina* sp., *Orbitoides* sp., *Sidcrolites* sp., *Globotruncana* sp., *Anomalina* sp., *Textularia* sp., Alg, Rudist kavaklı kırıkları gibi fosiller saptanmış ve Maestrihiyen yaşı verilmiştir (N. Özgen ve M. Akyazı C.U. 1998).

Bu fosil içeriği, Tekelidağı Karışığı içerisindeki kireçtaşlarının sığ denizel ortamda çökeldiğini göstermektedir. Birim içerisinde gözlemlenen ofiyolitik ve volkanik kayaçlardan türemiş kumtaşlarının varlığı, çökelme ortamının zaman zaman hareketli dönemler geçirdiğini göstermektedir.

Tekelidağı Karışığı içerisinde yer alan epiklastik, piroklastik kayaçlar ile yer yer lav akıntıları inceleme alanında, pembe renkli kireçtaşları ile hem alt, hemde üstten tektonik dokanaklı ilişki sunmakta, Pliosen yaşlı İncesu Formasyonu tarafından açılı uyumsuz olarak örtülmektedir (Şekil 2).

Karışığın bu bölümünü koyu gri-yeşil renkli bazaltik-andezitik bileşimli volkanik kayaçlar, ince tabakalı koyu gri-siyah renkli kilitaşı, volkanik gereçlerden türemiş kumtaşlarından oluşan volvano-klastik kayalar, tüfler ve epiklastik kayaçlardan oluşmaktadır. Birim içerisindeki volkanikler mikroskop altında holokristalin hipidiyomorf porfirik doku sunmakta ve hamur kloritlemiş volkan camı, plajiolaz mikrolitleri, öjüt kristalleri ve opak minerallerden oluşmaktadır.

Birim içerisinde pelajik kireçtaşı bantlarının varlığı ve bu bantlar içerisinde alınan örneklerde *Globotruncana* sp. fosillerinin bulunması dolayısıyla birime Üst Kretase (Maestrihiyen) yaşı verilmiştir.

Birim içerisinde pelajik kireçtaşı bantlarının gözlenmesi ve yastık yapılı lavlar birimin denizaltı volkanizması sonucu oluştuğunu göstermektedir.

TARTIŞMA VE SONUÇLAR

Çalışma alanının 1/25.000 ölçekli jeolojik haritası ve stratigrafik dikme kesiti hazırlanarak, inceleme alanında yüzeylenen kaya türü toplulukları otokton ve allokton kaya birimleri olmak üzere iki şekilde incelenmiştir. Otokton kaya birimlerini Akdağmadeni Litodemi, Tokuş Formasyonu, Kaletepe Volkanikleri ve İncesu Formasyonu, allokton kaya birimlerini ise Tekelidağı Karışığı oluşturmaktadır.

Önceki çalışmalarında Özcan ve diğ. (1980) ve Yılmaz ve diğ. (1994) tarafından Paleosen yaşlı Pazarcık Volkanikleri olarak tanımlanan bazaltik-andezitik volkanikler, Alt-Orta Eosen yaşlı Tokuş Formasyonu ile stratigrafik ilişkileri yeniden değerlendirilerek Orta-Üst Eo-

sen yaşı Kaletepe Volkanikleri'ne dahil edilmişdir.

Kaletepe Volkanikleri'nin bazaltik-andezitik lav akıntılarından oluşan bölümü Taştepe Üyesi, volkanotortullardan oluşan bölümü ise Alichisekepe Üyesi olarak tanımlanmıştır.

Izmir-Ankara-Erzincan Ofiyolit Kuşağı içerisinde yer alan ve Yılmaz (1981) tarafından Tekelidağı Karışığı olarak adlandırılan birimin ayrılmamış kesimleri bu çalışmada ayrılmıştır. Karışık içerisindeki pelajik kireçtaşları ve turbiditik kumtaşlarından oluşan sedimanter birimler ve volkanik-volkanosedimanter birimlerden oluşan kayaçlar ayrı dilimler halinde ayrılmış ve haritalanmıştır.

Çalışma alanının en büyük tektonik unsurunu oluşturan Orta Anadolu Bindirme Kuşağının yaşı, Üst Kretase yaşı Tekelidağı Karışığı'nın Eosen birimler üzerine bindirmesinden dolayı Eosen'den genctir. Ancak Yıldızeli kuzyeyinde Üst Kretase yaşı birimlerin Pliyosen yaşı Kargin Formasyonu üzerine bindirmesi (Kalkan 1997) sebebiyle, bindermenin Pliyosen'den sonra da gelişimini sürdürdüğü görülmektedir.

İnceleme alanında yüzeyleyen Eosen yaşı kaya birimlerinin gerek kaya türü, gerekse fasiyes özelliklerinin birbirleriyle olan karmaşık ilişkisi Eosen dönemi boyunca sedimentasyona yoğun bir volkanizmanın eşlik ettiğini göstermektedir.

KAYNAKLAR

- Alpaslan, M., 1993. Yıldızeli metamorfitlerinin petrolojik incelenmesi. C.Ü. Fen Bilimleri Ens. Doktora Tezi, 359 s. (yayınlanmamış).
- Alpaslan, M., 2000. Pazarlık Volkanitinin (Yıldızeli-Sivas) mineralojik-petrografik ve jeokimyasal özellikleri. T.J.B., 43/2, 49-60.
- Baykal, F., 1966. 1/500000 ölçekli Türkiye Jeoloji Haritası (Sivas paftası) MTA yayını 116 s.
- Brinkman, N., 1974. Geologic relations between Black Sea and Anatolia. Amer. Assoc. Petroleum Geol. Mem. 20, 63-76.
- Çerikcioğlu, B., 1997. Yıldızeli-Akdağmadeni arasındaki (Yavu çevresi) volkanik ve volkanosedimanter kayaçların mineralojik-petrografik ve jeokimyasal incelemesi. C.Ü. Fen Bilimleri Ens. Yük. Lisans tezi, 121s. (Yayınlanmamış).
- Çerikcioğlu, B. ve Yalçın, H., 1998. Yıldızeli-Akdağmadeni arasındaki (Yavu çevresi) Eosen yaşı volkanogenik kayaçlarla ilişkili mineralllerinin mineralojisi ve jeokimyası. Cum. Univ. Yerbilimleri Derg. 15/1, 87-100.
- Ercanlı, E., 1997. Yavu (Yıldızeli-Sivas) yöresinde Orta Anadolu Bindirme Kuşağının tektonostratigrafisi ve deformasyon bölgeleri. C.Ü. Fen Bilimleri Ens. Yük. Lisans Tezi, 58s. (yayınlanmamış).
- Gökten, E., 1993. Yıldızeli (Sivas) güneyinde Akdağ Metamorfitleri ve örtü kayalarının stratigrafisi ve tektoniği TJK Bult., 36, 83-93.
- Kalkan, E., 1997. Sivas Tersiyer Havzasının kuzey kenarının Çırçır-Hamzaşehî köyleri (Sivas KB) arasındaki kesiminin jeolojik özellikleri. Yüksek Mühendislik Tezi, Cumhuriyet Üniversitesi Fen Bilimleri Enstitüsü, Sivas, 87 s (yayınlanmamış).
- Koçbulut, F., 1998. Orta Anadolu Bindirme Kuşağının Alicik-Kızılı (Akdağmadeni-Yıldızeli) bölgesindeki jeolojik özellikleri. Yüksek Mühendislik Tezi, Cumhuriyet Üniversitesi Fen Bilimleri Enstitüsü, Sivas, 94 s (yayınlanmamış).
- Mesci, B.L., 1998. Orta Anadolu Bindirme Kuşağının Çobansaray-Karakaya (Yıldızeli KB) arasındaki kesiminin jeoplajik özellikleri. Yüksek Mühendislik Tezi, Cumhuriyet Üniversitesi Fen Bilimleri Enstitüsü, Sivas, 85 s (yayınlanmamış).
- Okay, A.C., 1955. Sivas ile Tokat arasındaki bölgenin jeolojik etüdü. İst. Univ. Fen Fak. Mecm. Seri-B., 20/1-2, 95-108.
- Özcan, A., Erkan, A., Keskin, A., Oral, A., Özer, S., Sümenge, M., Tekeli, O., 1980. Kuzey Anadolu Fay-Kırşehir masifi arasındaki temel jeolojisi, MTA Rapor no: 6722.
- Özer, S. ve Göncuoğlu, C., 1981. Orta Anadolu Masifi doğusunda (Akdağmadeni-Yıldızeli) ilginç metamorfik parajenezler, MTA Dergisi, 95-96, 173-174.
- Tatar, Y., 1977. Ofiyolitli Çamlıbel (Yıldızeli) bölgesinin stratigrafisi ve petrografisi. MTA dergisi 88, 56-72.
- Tatar, Y., 1983. Yıldızeli Subaşı Köyü yöresinde tektonik incelemeler. TJK Bult., 4, 3-15.
- Terlemez, İ. ve Yılmaz, A., 1980. Ünye-Ordu-Koyulhisar-Reşadiye arasında kalan yörenin stratigrafisi. TJK Bülteni, 23/2, 179-192 s.
- TSK, 1987. Türkiye Stratigrafi Komitesi Bülteni, sayı 1, MTA Jeoloji Etüdleri Dairesi, Ankara, 15 s.
- Tülümen, E., 1980. Akdağmadeni (Yozgat) yöresinde petrografik ve metamorfik incelemeler. KTÜ. Yerbilimleri Fakültesi, Doktora tezi, 157 s. (yayınlanmamış).

- Yalçın, H., 1997. Eosen yaşı denizaltı volkanizması ile ilişkili İç Kuzey Anadolu zeolit oluşumları. Cum. Üniv. Yerbilimleri Derg. 14/1, 43-56.
- Yalçınlar, İ., 1955. Sivas 61-2 ve Sivas 61-4 paf-talarına ait jeolojik rapor. MTA rapor no: 2577.
- Yılmaz, A., 1980. Tokat ile Sivas arasındaki bölgede ofiyolitlerin kökeni, iç yapısı ve diğer birimlerle ilişkisi. A.Ü. Fen Fak., Doktora tezi, 136 s. (yayınlanmamış).
- Yılmaz, A., 1981. Tokat ile sivas arasındaki bölgede ofiyolitli karışığının iç yapısı ve yerleşme yaşı. TJK Bült., 24/1, 31-38.
- Yılmaz, A., 1982. Dumanlıdağı (Tokat) ile Çeltek Dağı dolaylarının temel jeoloji özellikleri ve ofiyolitli karışığın konumu. MTA Rapor no: 7230. (yayınlanmamış).
- Yılmaz, A., 1983. Tokat (Dumanlıdağı) ile Sivas (Çeltekdağı) dolaylarının temel jeoloji özellikleri ve ofiyolitli karışığın konumu. MTA Dergisi 99-100.
- Yılmaz, A. ve Özer, S., 1984. Kuzey Anadolu Bindirme Kuşağının Akdağmadeni (Yozgat) ile Karaçayır (Sivas) arasındaki bölümünün temel jeoloji incelemesi ve Tertiary havzasının yapısal evrimi. Ketin Simpozyumu, 163-174.
- Yılmaz, A., Uysal, Ş., Bedi, Y., Yusufoglu, H., Havzaoğlu, T., Ağan A., Göç, D., Aydın, N., Kallioğlu, A., İnal, A., İnal, E., Erkan, N.E., 1994. Akdağ Masifi (Sivas) ve dolayının jeolojisi incelemesi. MTA. Rapor no: 9721 (yayınlanmamış).
- Yılmaz, A., Uysal, Ş., Bedi, Y., Yusufoglu, H., Havzaoğlu, T., Ağan A., Göç, D., Aydın, N., 1995. Akdağ Masifi (Sivas) ve dolayının jeolojisi incelemesi. MTA Dergisi, 117, 125-138.
- Yücel, T., 1955. Kangal-Gemerek arası jeolojisi hakkında rapor. MTA Rapor No: 2336.

KARAKÖY (GÜNDÖĞMUŞ-ANTALYA)-TAŞKENT-HADİM (KONYA) ARASININ MORFOTEKTONİK ÖZELLİKLERİ

MORPHOTECTONIC FEATURES AMONG KARAKÖY (GÜNDÖĞMUŞ-ANTALYA)-TAŞKENT AND HADIM (KONYA)

Ahmet TURAN

Selçuk Üniversitesi Jeoloji Mühendisliği Bölümü, Kampüs-Konya

ÖZ : Orta Toroslar silsilesi üzerindeki Karaköy (Gündoğmuş)-Taşkent-Hadım bölgesi, Orta Alpin orogenik hareketlerine bağlı olarak oluşmuş kıvrımlı-kıraklı-naplı sıra dağları üzerindedir. Bölge genellikle tektonik hatlara, kısmen de litolojiye bağlı olarak çoğunlukla KB-GD uzanımlı yükseltimler ve bu yükseltimlere kısmen paralel, kısmen de açılı olarak vadilerle oldukça engebeli bir morfoloji arz eder.

Bölgede Geç Paleozoyik-Erken Senozoyik aralığında teşekkül etmiş olan ve büyük bir ekseriyetle tabaklı kayalardan, daha az oranda da ofiyolitli melanj ve epimetamorfiterden yapılmış kaya birimleri yüzeyler. Alpin devinimler neticesinde gelişen kıvrım ve kıraklıbaşlı olarak oluşan boyunlar ve vadilerle parçalanmış belki başlı yükseltimler, çoğunlukla senkinal doruklar şeklinde dir. Bölgedeki bazı yükseltimler de antikinal doruklar halinde izlenir. Yükseltimlerin bir bölümü ise normal çekim faylarıyla veya nap dilimlerinin üst üste katlanmasıyla oluşmuş kabartılardır.

Mevcut formasyonlardan çoğu karbonatlı kayalardan yapılmış olduğundan, yörede yaygın biçimde yaşlı-eski karst oluşuklarına rastlanır. Kırık tektonigine bağlı olarak gelişen fay ve çatlaklar, karstlaşmayı artırıcı bir etken olduğundan özellikle Permilen. Triyas, Jura ve Kretase yaşı kireçtaşları içinde lapa, dolin-duden ve uvalalarla sık rastlanır. Ayrıca yer altı karst şekillerinden in ve mağaralar da bölgede yaygındır. Dolin çukurları, bazen birkaç metre derinliğinde su ile dolarak dolin gölleri oluşturmuşturlardır.

Anahtar kelimeler : Orta Toroslar, morfotektonik, lapa, dolin, dùden, uvala.

ABSTRACT : Karaköy (Gündoğmuş) Hadım region is located in the Central Taurus mountain belts, forms an example of the folded and faulted mountain chains related to Middle Alpine orogenesis. The region presents rather steep and broken morphological structures with NW-SE oriented valleys which developed in accordance with lithological and tectonic activity.

In the investigation area Late Paleozoic and Early Cenozoic aged units composed of mostly layered sedimentary rocks and less a mount of ophiolitic melanges and epimetamorphites. Passes, formed related to folds developed by Alpine movements and some hightness parts, cutted by deep valleys usually create syncline crest of the region. Also some of the heighthess of the area can be seen as anticline crests. Some of the heighthess at the area, seen as cruts resulted from gravity faults or accumulated thrust-slites.

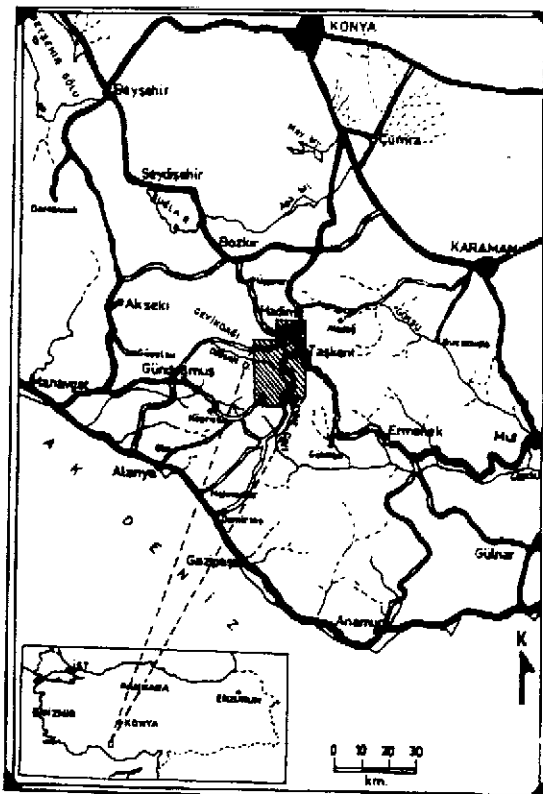
In the region old karstic land forms are rather common which related to mainly calcaceous rocks. Faults and cruts developed by fault tectonics effected karst occurrences, thus some typical karstic structures such lapies, dolino, sinkhole and uvalas formed in specifically Permian, Triassic Jurassic and Cretaceous aged limestones. In addition subsurface underground karstic elements such as caves and there are common in the region. Some of the dolins have become shallow pool when they filled by water in rain seasons.

Key words : Central Taurus, morphotectonics, morfotektonik, lapis, doline, sinkhole, uvala.

GİRİŞ

Orta Toroslar orogenik kuşağının bel kemigi durumundaki Karaköy (Gündoğmuş)-

Taşkent Hadım yörensi (Şekil 1), derin vadilerle parçalanmış kıvrımlı, kıraklı-naplı sıra dağlara bir örnek teşkil eder. Bölgenin renkli jeolojisi ve



Şekil 1. İnceleme alanının coğrafi konum haritası.
Figure 1. Location map of the study area.

geomorfolojik yapısı, ilk olarak Blumenthal (1944) tarafından ele alınmış ve Hadim'in güneyinden geçerek Anamur'a kadar uzanan önemli bir sariyaj hattının (Hadim şariyajı) varlığı dile getirilmiştir. Blumenthal (1949), Göksu Irmağı ile Göller Bölgesi arasında şist, kalker ve grelerden oluşan Paleozoyik oluşuklarının Erken Jura'dan Orta Eosen'e kadar süreklilik gösteren "Komprehensif kalker serisi" Üzerine bindirdiğini, ve neticede önemli yükseltilerin meydana geldiğini ileri sürer. Yine Blumenthal (1951), Gündoğmuş-Köprülü-Muzvadi (Ermenek) arasında, yüksek rölyefli yer şekillerinin yanında düşük rölyefli ve Geç Kretase yaşılı bir fliş bulduğunu, bu flişin, kuzeydeki "Paleozoyik Hadim Zonu" ile güneyindeki "Alanya Metamorfik Zonunu" birbirinden ayırdığını ve bu düşük rölyefli fliş zonu içinde, bu zonun gidişine paralel olarak pelajik kireçtaşı, radyolarit ve diyabaz tepeciklerinin, BKB-DGD uzanımlı bir yükselti oluşturduklarını söyler. Blumenthal'ın (1949), "ayırıcı zon" olarak da nitelendiği bu fliş koridorunun güneyinde, kuzeydeki Hadim şariyaj zonuna göre, daha alçak rölyefli bir morfoloji sunan Alanya metamorfittlerinin bulunusundan bahseder. Ayrıca Blumenthal (1956),

bölgemin paleocoğrafik gelişiminde Mesozoyik-Eosen sürecinde devamlı bir çökelmanın olduğunu, Eosen'i takiben önemli bir yükselme hareketinin meydana geldiğini, dolayısıyla Oligosen'de bölgemin kara halinde kaldığını ve Miosen'in postparoksizmal örtüler halinde bölgemin doğusunda Ermenek ve güneybatısından Manavgat yörelerinde mevcut olduğunu ileri sürer.

Özgül (1971) bölgemin kuzey kesimlerinin paleocoğrafik evriminde blok hareketlerinin önemli olduğunu, bölgede jeoloji tarihi boyunca farklı çökelme havzalarının olduğunu ve bu havzaların ürünlerinin, özellikle Alpin tektonik hareketlerine bağlı olarak farklı tektonik birlikler halinde şekillendiklerini öne sürer. Özgül'e (1976) göre yörede birisi otokton, diğerleri allokon konumda olan beş tektonik birlik yer almaktadır. Bu birliklerin otokton ve diğer allokonlar üzerinde yerleşmesine bağlı olarak, eski tektonik dönemde (Miosen öncesi), bölgemin morfotektonik iskeleti şekillenmiştir.

Bölgemin stratigrafî ve tektoniğini aydınlatmak amacıyla yörede çalışan Turan (1985, 1990, 1995), tektonostratigrafik çatı ile birlikte, yörenin ana kıvrım ve kırık hatlarını sergilemiştir. İnceleme alanının oldukça kırıklı kıvrımlı oluşunun, bölgedeki yükselim ve alçalımları kontrol ettiğini ileri süren Turan (1990), ayrıca karbonatlı kayaçlardaki yoğun kırıklı-çatlaklı kesimlerin çok fazla dış ve iç karışma gösterdiğine dikkat çekmiştir. Bu makalede, araştırma sahasının kısa jeolojik özellikleriyle birlikte, bölgedeki önemi fay ve kıvrım hatlarına bağlı olarak oluşan yüksekdağlık alanlar (yükselem hatları) ve önemli çukur alanlar (vadiler) bir düzene dahilinde özlü bir şekilde verilmesi amaçlanmıştır.

JEOLOJİ

Bölge jeolojisi otokton ve allokon kaya topluluklarından oluşur (Turan, 1990). Şimdi bölgede farklı birliklere ait olan bu kayaları, sundukları tektonostratigrafik dizilime uygun tarzda kısaca özetleyelim (Şekil 2).

Otokton Birimler

Özgül (1976) tarafından Geyikdağı Birliği olarak tanıtılmış olan otokton kaya toplulukları, inceleme alanında beş stratigrafik Üniteye ayrılmıştır (Turan, 1990). Alttaşı orta-kalın tabakalı gri-koyu gri renkli, yer yer doloitze sig denizel Üst Jura kireçtaşları yer alır. Üzerine, düşük açılı bir uyumsuzluktan sonra Üst Kretase kireçtaşları gelir. Tabanda yer yer kırmızı konglomeralar ile başlayan ve gri-ağacık gri-renkli, orta-kalın tabakalı, bol rudistli ve

TEKTONİK BIRLIK	STRATİGRAFIK BİRİMLER	LİTOLOJİ	AÇIKLAMALAR	OROJENEZ SAHFASI	OROJENEZ DÈVRESI
	ALÜVYON		Çakıl kum ve milleler.		
Geyne napı ALL OKTON BİRİMLER	ÜST JURA KARBONATLARI		Gri, boz renkli, orta tabakalı kireçtaşı. Gri renkli kalın tabakalı, kristalize dolomitik kireçtaşı.	Erken Kimmeriyen sahfasi	ERKEN ORTA ALPIN
	JURA YAŞLI KARASAL YARI KARASAL ÇOKELLER		Çok ince jips düzeyleri ve kumtaşı arakatkılan içeren çamurtaşlı, marm ve killi kireçtaşı. Kızıl renkli çapraz tabakalı, çok ince komur mercekleri içeren çakıttaşı, kumtaşlı ve çamurtaşları.		
	TRİYAS FLİSİ		San, boz renkli ince-orta tabakalı sık kıvrımlı kuvarsit, şeyl, marm, killi kireçtaşı nöbetleşmesi. Bol gastropod ve bivalv kavaklı killi kireçtaşı mercekleri ve dolomitik kireçtaşı aratabakaları içeren alacalı renkli şeyl ve marmalar.		
	ALT TRIYAS KIREÇTAŞI		Açık gri renkli ince-orta tabakalı oolitik, stromatolitik kireçtaşı.		
	PERMİYEN KIREÇTAŞI VE KIRINTILILARI		Yer yer kuvarsit şeyl arakatkılı koyu gri, siyah renkli, orta tabakalı, bol algılı ve fuzulinidli kireçtaşı. Onkolitli kireçtaşı.		
	KARBONİFER KIREÇTAŞI VE KUMTAŞLARI		Sarımsı gri renkli, bol makro fosili ve fuzulinidli kireçtaşı ve kuvarsit nöbetleşmesi.		
	ÜST DEVONIYEN KIRINTILI VE KARBONATLARI		Bol mercan ve brakiyopodlu resifal kireçtaşı mercekleri de içeren şeyl, kuvarsit ardışımı.		
	* ŞARIYAJ HATTI				
	Sinatdağı napı Taşkent Hözeleri napı	ÜST KRETASE FLİSİ	Kireçtaşı blokları vahşi fış. Ince taneli çakıttaşı kumtaşlı, şeyl, marm ardışığı.	Laramiyan sahfasi	ERKEN ALPIN
		JURAKRETASE KIREÇTAŞI	Çakıtlaşıyla başlayan açık gri renkli, orta tabakalı, kireçtaşı, çört, yumruku kireçtaşı.	Subhersiniyen sahfasi	ERKEN ALPIN
		ORTA TRİYAS KIREÇTAŞI	Gri renkli orta-kalın tabakalı, yer yer kristalize kireçtaşı.	Erken Kimmeriyen sahfasi	ERKEN ALPIN
		ÜST PERMİYEN KIREÇTAŞI VE KIRINTILILARI	Az oranda kuvarsit-şeyl arakatkılı, koyu gri renkli, orta-kalın tabakalı, bol eklemli ve bol fosili kireçtaşları.	Pfalziyen sahfasi	GEÇ HER-SİNİYEN
OTOKTON BİRİMLER	TRİYAS (?) METAOLİSTOSTROMLU		Değişik kireçtaşı olistolitleri, mermer blokları içeren filit, şeyl, metaşeyl ve metakuvarsitler. * ŞARIYAJ HATTI	Erken Kimmeriyen sahfasi	ERKEN ALPIN
	ÜST KRETASE OFİYOLİTİK MELANJI		Serpantinit, radyolarit, çörtlü kireçtaşı, kireçtaşı blokları içeren, olistostromal ofiyolitli karışık. * ŞARIYAJ HATTI	Laramiyan sahfasi	ORTA ALPIN
	EOSEN FLİSİ		Kireçtaşı blokları içeren vahşi fış. Çakıttaşı, kumtaşlı, şeyl-marm, kirintili kireçtaşı ardışı.	Pirenien sahfasi	ORTA ALPIN
	EOSEN KIREÇTAŞI		Orta-kalın tabakalı bol nummulitli kalker.	Anadolu sahfasi	ORTA ALPIN
	ÜST KRETASE-PALEOSEN FLİSİ		Gabro, serpentinit, radyolarit, çört, kireçtaşı parçaları içeren vahşi fış. Çakıttaşı, kumtaşlı, çörtlü ve kirintili kireçtaşı arakatkılı marnlar. Gri renkli ince-orta tabakalı marm, killi kireçtaşı, çörtlü kireçtaşı, kirintili kireçtaşı nöbetleşmesi.		
	ÜST KRETASE KIREÇTAŞI		Gri renkli, orta tabakalı, bol rudist kavaklı içeren kireçtaşı.	Avustriyen sahfasi	ERKEN ALPIN
	JURA KIREÇTAŞI		Açık ve koyu gri renkli, bol eklemli, orta-kalın tabakalı yer yer dolomitleşmiş kireçtaşı.		

Şekil 2. İnceleme alanının tektonostratigrafik dikme kesiti ve orojenik safhaları.

Figure 2. Tectonostratigraphic columner section and orogenic phases of the study area.

resifal nitelikli Üst Kretase'nin platform karbonatları üzerine ise, Beden-Karaköy (Gündoğmuş) civarında, Üst Kretase-Paleosen fliş uymul olarak gelir. Bu kalın fliş istifleri, en alta kırıntılı kireçtaşlı ağırlıklı tabakalarдан oluşurken, orta bölmelerde kumtaşı-şeyl-marn tabakalarının eşit oranlarda temsil edildiği ardalanmalı bir istif şeklindedir. Filiş istifinin üst bölümü ise radyolarit, çörtülü kireçtaşlı, neritik kireçtaşlı blokları içeren vahşi fliş şeklindedir. Bu fliş istifi ve Üst Kretase kireçtaşları, Orta Eosen yaşlı kireçtaşlı ve flişler ile açılı uyumsuz olarak örtülür. Eosen kireçtaşları gri renkli, orta kalın tabakalı ve çok bol nummulitlidir. Resifli bir denizde oluşan bu kireçtaşları üzerine, uyumlu bir şekilde kumtaşı-şeyl-çamurtaşlarından oluşmuş flişler çökelmıştır. Eosen flişinin üst kesimlerini ise kireçtaşlı bloklu vahşi fliş oluşturur. İnceleme alanının güneybatısındaki yüksek rölyef, otokton birimler içinde şekillenmiştir.

Allokton Birimler

Otokton nitelikli formasyonlar ve birbirleri üzerinde ayrı ayrı naplar şeklindeki allokontonlar, Turan (1990) tarafından, alttan üste doğru; Taşkent, Hocalar, Sinatdağı ve Gevne napları şeklinde sıralanmıştır (Şekil 2). Taşkent napi Özgül'e (1976) göre Bozkır Birliği, Hocalar ve Sinatdağı napları Bolkardağı Birliği, Gevne napi ise Aladağ Birliği kapsamındadır.

a. Taşkent napi : Geç Kretase yaşlı ofiyolitik melanj yapıllı bu nap, otokton birimleri üzerler ve serpentinit, diyabaz, radyolarit, çörtülü kireçtaşlı ile değişik özellikli kireçtaşlı blokları içerir (Şekil 2). Çalışma alanında bu napın yüzeylediği alanlarda düşük rölyefli yer şekilleri egemendir.

b. Hocalar napi : Otokton Birlik ve Taşkent napi üzerine bindiren Hocalar napi, değişik kireçtaşlı ve mermer olistolitler içeren fillit, sleyt, metaçamurtaşı ve metakuvarsitlerden ibarettir. (Şekil 2-4). Olası Triyas yaşlı bu metaolistostromal kaya topluluğu, uyumlu bir şekilde kuvarsitlerle örtülür. Hocalar napının yüzeklerinin gözlendiği yerler, morfolojik olarak düşük rölyefli alanlardır.

c. Sinatdağı napi : Metaolistostrom üzerine bindiren Sinatdağı napi birimleri, alta Geç Permiyen yaşta koyu gri, orta-kalın tabakalı, yoğun çatlaklı ve bol fosilli kireçtaşlı ile kuvarsit-şeyl arakatkalarından oluşur. Üst Permiyen birimi üzerine açılı uyumsuz olarak gri renkli, orta-kalın tabakalı, yer yer kristalize kireçtaşından oluşan Orta Triyas yaşlı karbonatlar gelir. Bu nın üzerinde ise açılı uyumsuzlukla kızıl renkli ince bir konglomera seviyesiyle birlikte, açık gri renkli, orta-kalın tabakalı kireçtaşlarından yapılı

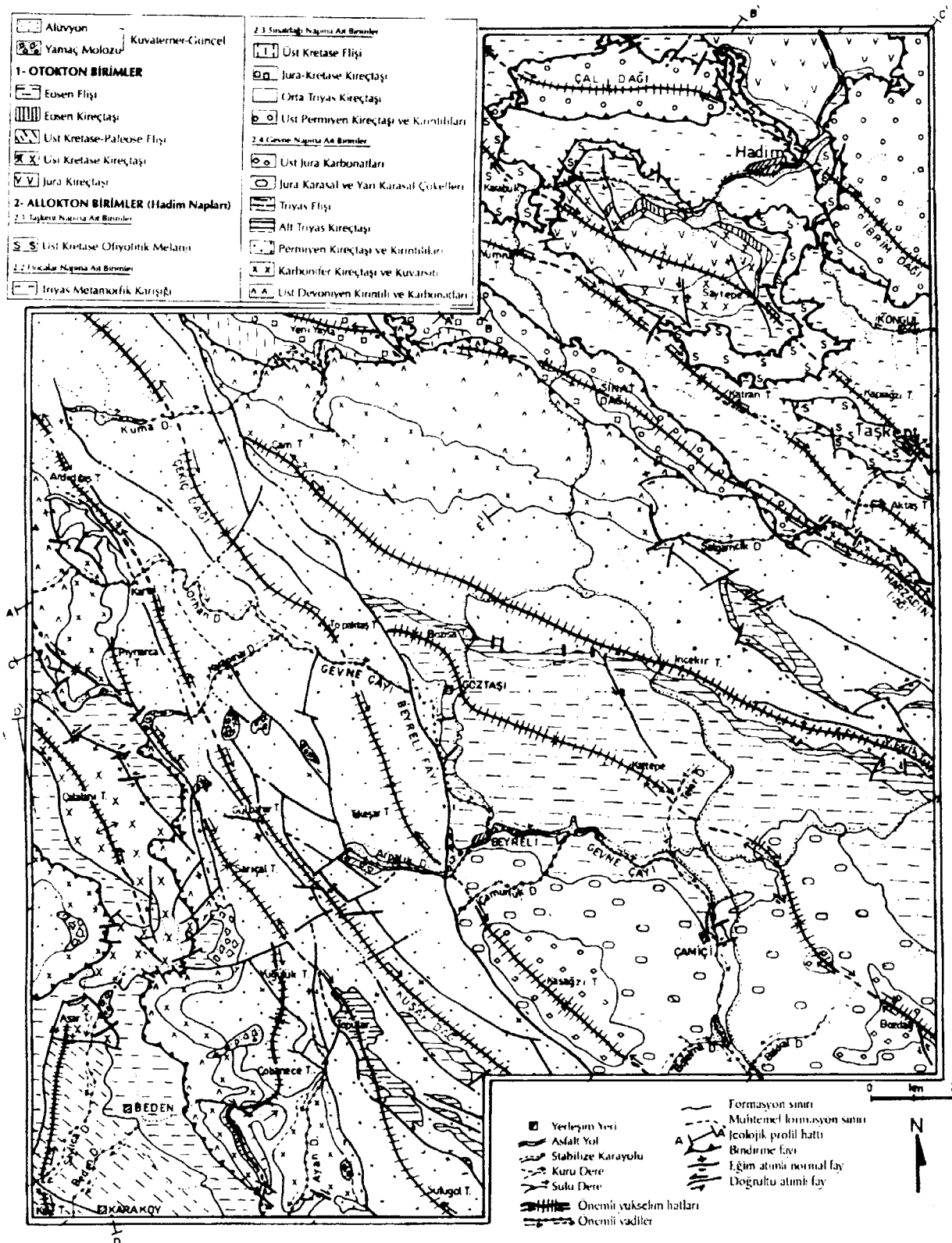
Jura-Kretase birimi izlenir. Jura-Kretase kayaları üzerine Üst Kretase fliş yine uyumsuzlukla oturur. Bu fliş ince taneli çakıltası, kumtaşı, şeyl arlığı şeklinde olup en üstte kireçtaşlı bloklu vahşi fliş konumundadır (Şekil 2-4). İnceleme alanının kuzey ve doğu kesimlerinde yüksek rölyef oluşturan önemli yer şekilleri, Sinatdağı napına ait kayaçlar içinde teşekkür etmişlerdir (Şekil 3).

d. Gevne napi : Araştırılan bölgenin kuzeyinde Sinatdağı ve Hocalar napları üzerine güneyde ise otoktona bindiren, en geniş ve en kalın yayılma sahip en üst tektonik dilimdir. Bölgede doruklar oluşturan en önemli morfolojik yükseltiler ile vadî ve karst şekillerinden oluşan belirgin alçak alanların çoğu, bu nap içindedir. Napın en alt birimi, resifal kireçtaşlı mercekleri içeren Üst Devoniyen şeyl ve kuvarsitleridir. Bunların üzerine uyumlu olarak sarımsı renkli, bol fosilli kireçtaşlı ve kuvarsit ardalanmasının oluşturduğu, Karbonifer istifi gelir. Karbonifer birimleri onkolitti kireçtaşlı ve şeyl-kuvarsit arakatkaları içeren koyu gri-siyah renkli, orta tabakalı, bol alglı, kalın kireçtaşlı düzeyleri şeklindeki Permiyen yaşlı formasyonlarla uyumlu olarak örtülür. Permiyen üzerine uyumlu olarak Erken Triyas yaşta stromatolitik-oolitik kireçtaşları gelir. Bunlar da konkordan bir şekilde alacalı şeyller, bol bivalv kavaklı killi kireçtaşlı mercekleri ve dolomitik kireçtaşlı-marn-kumtaşı-şeyl arlığındaki Triyas flişine geçer. Triyas flişü üzerine açılı uyumsuz olarak Jura yaşlı karasal-yarı karasal çökeller oturur. Karasal oluşuklar kızıl renkli, çapraz tabakalı, kömür mercekleri içeren çakıltası, kumtaşı ve çamurtaşlarından ibarettir. Yarı karasal oluşuklar, farklı düzeylerde çok ince jips ve kömür tabakacıkları içeren çamurtaşı, marn ve killi kireçtaşından ibarettir. Gevne napının en üst bölümünde ise, kristalize dolomitik karbonatlarla başlayıp gri boz renkli, orta-kalın tabakalı kireçtaşlarıyla devam eden Üst Jura-Alt Kretase karbonatları yer alır. (Şekil 2).

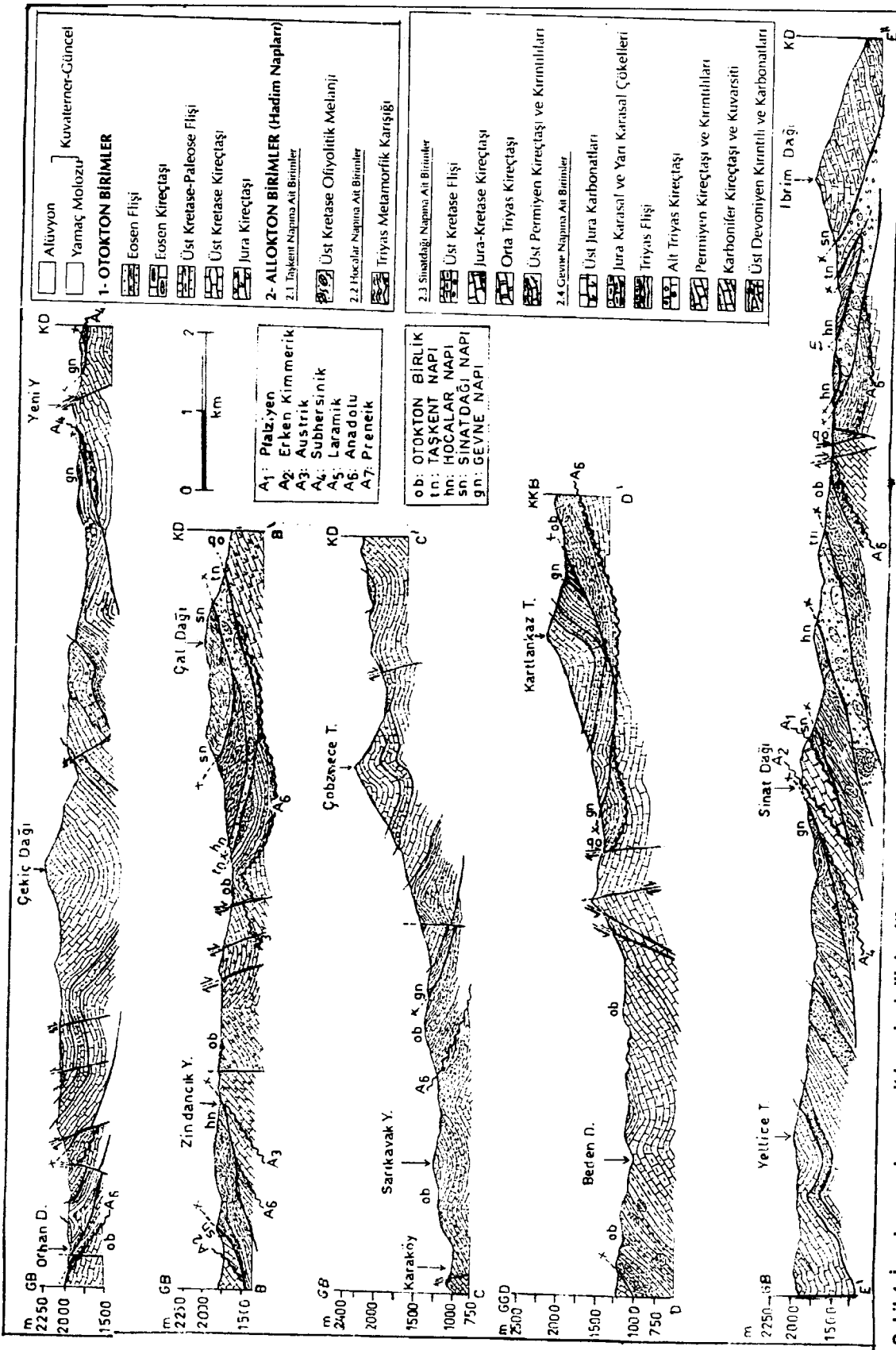
Bölgedeki otokton ve allokonton kayaları, alüvyon ve yamaç molozlar uyumsuzlukla örterler.

OROJENEZ

Bölgemin morfotektonik evriminde, kıvrımlı ve kırıklı rölyef şekilleri önemlidir. Yörenin bu kıvrımlı-kırıklı rölyefi, özellikle Alpin ana orogenik sistemi içinde Şekil 2'de verilen orojenez devresi ve orojenez safhalarıyla yakından ilişkilidir. Bu orojenez safhalarıyla sıkışık kıvrımlı yapıların yoğunlaşlığı yörende, kıvrımlı yapının rölyef şekilleri açısından, Alp tipi kıvrımlı strük-



Şekil 3. İnceleme alanının basitleştirilmiş jeoloji haritası, önemli yükseltim hatları ve vadiler.
Figure 3. Simplified geological map and heighthness and valleys.



Sekil 4. İnceleme sahasına ait bazı jeolojik kesitler.

Figure 4. Some geological cross-sections from the study area.

türler (Yalçınlar, 1996) egemendir. Karaköy-Taşkent-Hadim yörensinin tektonik evriminde, önemli etken olan orojenezlere ait bulguların en eski izlerini, Sinatdağı napında Üst Permiyen tortulları ile Orta Triyas karbonatları arasında görmekteyiz. Geç Hersiniyen orojenez safhasındaki hareketler (A_1 safhası, Pfalziyen safhası) ile kıvrımlanıp yükselen Üst Permiyen kayaları üzerine, Orta Triyas karbonatları açılı diskordansla gelmiştir (Şekil 2-4).

Yörede Erken Kimmeriyen hareketleri (A_2 safhası), belki Triyas metamorfitlerini etkilemiştir. Ancak Sinatdağı napında Orta Triyas kireçtaşlarının kıvrımlanıp yükselmesiyle, Juras-Kretase kireçtaşlarının tabanındaki transgresif çökellerin de belgelediği açılı uyumsuzluk, Erken Kimmeriyen orojenez safhasında oluşmuştur. Yine Gevne napında, Üst Devoniyen-Orta Triyas kayalarını etkileyen devinimlerle, kıvrılarak su üstüne çıkan aşınmalı formasyonlar ve üzerine gelen Jura yaşılı karasal-yarı karasal oluşuklar arasındaki açılı uyumsuzluk, Erken Kimmeriyen (A_2) orojenez safhası ile ilgilidir (Şekil 2-4). İnceleme sahasında erken Alpin hareketlerde Austrienen orojenez safhasına (A_3 Safhası) ilişkin olarak, otokton birlikte Jura kireçtaşları ile Üst Kretase kireçtaşları arasındaki uyumsuzluk gösterilebilir (Şekil 2-4). Erken Alpin orojenez devresinin Subhersiniyen kıvrınlama ve yükselme evresine (A_4 safhası) ait izler ise, Sinatdağı napında Jura Kretase kireçtaşları ile Üst Kretase flişi arasındaki açılı uyumsuzlukdan anlaşılmaktadır (Şekil 2-4). Araştırma bölgesinde Erken Alpin tektonik hareketlerinden Laramyen orojenez safhasını (A_5 safhası) gösteren belirtiler ise, muhtemelen Üst Kretase ofiyolitik melanji ile Sinatdağı birimlerinin en üst bölümünü oluşturan flişoid-fliş olsuşlarını kıvrımlandıran hareketler olmalıdır.

Bölgedeki Orta Alpin orojenez devresiyle ilişkili olarak Anadolu (A_6 safhası) ve Prineyen (A_7 safhası) kıvrımlama ve yükselme safhalarına ait somut veriler vardır. Eosen yaşılı kireçtaşı ve flişlerin tabanında gözlenen açılı uyumsuzluk, Anadolu orojenez safhasının bölgedeki izlidir. Eosen birimlerinin kıvrımlanıp yükselerek karalaşması ise, Prenyen orojenez safhası ile ilgili yoğun tektonik hareketlerin neticesidir (Şekil 2-4).

Prenyen safhası Orta Toroslar'da Alpin orojenezinin paroksizma evresini oluşturur (Ketin, 1978; Koçyiğit, 1983). Dolayısıyla bu orogenik safhada bölge, yaklaşık $K30^{\circ}D$ yönlü kabuk sıkışmaları (Turan, 1999) ile çok yoğun bir sıkışmaya maruz kalarak, büyük ölçüde kıvrımlanmış ve yatay deformasyonların dozunu daha da artırması ile kırılıp koparak bölgede

naplasmaya neden olmuştur (Turan 1990 ve 1995). Kopan nap dilimlerinin kilometrelerce sürüklerek otoktonlar ve alt allokttonlar üzerine bindirmesiyle, üst üste katlanmış nap yapıları ortaya çıkmıştır. Bu kompresyon dönemini izleyen yaklaşık $K30^{\circ}D$ yönlü tansiyon gerilmeleriyle bölge yoğun bir biçimde çekim faylarıyla kırılarak (Turan, 1999), Orta Miyosen öncesinde (paleotektonik dönem) yörenin morfotektonik iskeleti, büyük ölçüde tamamlanmıştır. Dolayısıyla bölgenin jeomorfolojik evriminde Doğu Toroslar'da olduğu gibi, Orta Miyosen öncesi rölyefin önemi büyütür (Erol, 1997).

YÜKSEK-DAĞLIK ALANLAR

Burada incelenecek olan "kabarık yer şekilleri", boyunlar ve vadilerle birbirinden ayrılmış, parçalanmış sıradaglar (İzbırak, 1977, 1979) üzerinde birer tepe morfolojisini arz eden doruklardan ibarettir. KB-GD uzanımlı dağ şeritleri üzerinde, yine KB-GD doğrultusunda dizilmiş omuzlu doruklar (İzbırak, 1977, 1979) şeklindeki zirveler, bölge jeomorfolojisinin en önemli unsurudur. Üzerlerinde ekseri omuzlu dorukların yer aldığı yükselim hatlarının belli başlıları ve bunların genel karakterleri şöyledir:

1- Çal Dağı-İbrim Dağı Yükselimi : Bu yüksek-dağlık alan, Üst Permiyen kireçtaşı ve kırintıları içinde oluşmuş, senkinal doruklar şeklinde bir yükseltidir. Çal Dağı kesiminde D-B doğrultulu bir senkinal oluşturan bu yükselinin zirvesi, 2127 m rakımındaki Sinat Tepe'dir. Hadim İlçesi yakınında alçalarak Triyas (?) metaolistastromu içinde, yayvan bir boyun oluşturuktan sonra, tekrar yükselerek yaklaşık K 60 B gidişli İbrim Dağı zirvesine bağlanan yükselim hattı (Şekil 2), Çal Dağı bölümünde daha yayvan olduğundan, bu kesimde derinlikleri 10-12 m, genişlikleri 250-300 metreye ulaşan dolin ve uvalalar teşekkül etmiştir.

2- Karabük Tepe-Say Tepe-Kapıağzı Tepe Yükselimi : Kuzeybatı Üst Kretase ofiyolitik melanji ve Triyas (?) metaolistastromu içinde başlayan yükselim hattı, yaklaşık K 50-60 B doğrultusunda uzanır. Otoktona ait Jura ve Üst Kretase kireçtaşları içinde antiklinal bir doruk meydana gelmiş olup Say Tepe zirvesinde rakım 1878 metredir. Yükselim hattı otokton birimler içinde yer yer kör vadilerle parçalanır. Güneydoğu'ya doğru aşınma karşı az dirençli ofiyolitik melanji ve metamorfiter içinde, yayvan boyunlar oluşturarak düşüşe geçen yükselim hattı, Kapıağzı Tepe-Taşkent çizgisi boyunca Üst Permiyen kireçtaşı ve kırintıları içinde tekrar yükselerek izoklinal yapılı tabaka dorukları oluşturur (Şekil 3).

3- Yumru Tepe-Katran Tep-Aktaş

Tepe Yükselimi : Bu yükselim Triyas, (?) metaolistostromu içinde en üst stratigrafik seviyeyi oluşturan, aşınımı dirençli kuvarsitler içinde olmuş, senkinal doruk dizilerinden meydana gelmiştir (Şekil 3). K 50 B gidişli yükselim hattı, bu gidiş yaklaşık dik yönde açılan yarma vadilerle parçalanır.

4- Yeni Yayla-Sinat Dağı-Harzadın

Dağı Yükselimi : Daha çok tektonik nap dilimlerinin üst üste yükselip katlanması ile Permiyen ve Karbonifer yaşıta kireçtaşları ve kırintılar ile Triyas-Jura yaşıta karbonatlar üzerinde izlenen bu yükselim, K 55-75 B doğrultusunda uzanır (Şekil 2). Zirve omuzlu bir doruk şeklindeki 2071 m rakımı Sinat Dağıdır. Yükselim hattında özellikle Sinat Dağı ve çevresinde, yoğun tarzda lapye ve dolinler oluşmuştur. Yükselim yer yer yarma vadiler ve boyunlarla kesilmiştir.

5- Çam Tepe-İncekir Tepe

Yükseğrik Tepe Yükselimi : Gevne napına ait Permiyen yaşıta kireçtaşları ve kırintılar içinde şeikilenen bu yükselim, K 70 D uzanımındadır. Kuzeybatıda Beyreli fayı ile sınırlanan kabartı, doğuya doğru güney blokları yükselen çekim faylarını takip etmektedir. Yükselti, zirve durumundaki tepelerde 2050 m dolaylarındadır. Bu yükselim hattı, çok sayıda ve kısmen yontulmuş-düzleşmiş yayvan doruklar şeklinde olduğundan, üzerinde lapye-dolin-düden gibi karstik şeikilleré çok sık rastlanır.

6- Bozisa Tepe-Kat Tepe-Bozdağ

Yükselimi : Beyreli fayının çöken kuzeydoğu blokunda yer alan bu dizi, senkinal yapılı dorukların sıralanmasından oluşmuştur. Gevne napına ilişkin Triyas flişi içinde kavisler yapan yükselim hattı, doğuya doğru karasal-yarı karasal Jura çökelleri ile Üst Jura karbonatlarının senkinal eksenlerini izler. Bu yükselti üzerinde omuzlu doruklar oluşturan zirvelerin en yüksek olanı, 2133 m rakımındaki Bozdağ Tepe'dir. Yaklaşık K 60 B doğrultusunda uzanan yükselim hattı, vadiler ve yayvan boyunlarla parçalanmıştır (Şekil 3).

7- Çekiç Dağı-Topaktaş Tepe

Tekaşar Tepe-Kaşağzı Tepe Yükselimi: Büyüyük bölümü kireçtaşları, kuvarsit, şeyl içerikli Permiyen kayaları üzerinde olmuş bu önemli yükselti boyunca, çoğunlukla omuzlu senkinal doruklar izlenir. Bu yükseltinin güneydoğu ucunda Beyreli fayı ile kuzeydoğu blokun çökmesi neticesinde yükselim hattı, Üst Jura karbonatlarından geçer (Şekil 3) ve sırtın bu kesimdeki rakımı 250-300 m daha düşüktür. K 30-40° B doğrultulu bu morfolojik kabartının zirvesi Tekeşar Tepe'dir (2311m). Bu yükselim hattı Kuma Derenin oluşturduğu tabanlı-olgun vadide

veya yatak-V vadi (İzbırak 1977) ile derin bir şekilde yarılarak parçalanmıştır. Yükselim hattı boyunca, dorukların başlangıç kotuna yakın, küçük düzce-yayvan karbonatlı sahalarda lapye, dolin-düdenler çok yaygındır.

8- Ardıçlıtaş Tepe-Kartal Tepe

Gülbahar Tepe-Kuşak Dağı Yükselimi : Permiyen yaşıta kireçtaş ve kırintılar içinde oluşan bu kabartı, K 35-40° B yönünde uzanır. Orhan Dere ve Karapınar Derenin yamasıyla oluşan dik yamaçlı kertik vadilerle parçalanan yükselim hattı, kuzeydoğu blokları çöken fay dikliklerinin yükselen bloklarını takip eden bir fay basamağı şeklindedir. Bu yükselim hattının Kuşak Dağı zirvesinde, rakım 2452 m'dir. Yoğun lapye oluşumları yanında, özellikle yükselim hattının güneydoğu bölümünde çok sayıda dolin-düdenler teşekkül etmiştir.

9- Pınarca Tepe-Sarıçalı Tepe

Topular-Sarıgöl Tepe Yükselimi : Kuzeybatıda Üst Devoniyen-Karbonifer karbonat ve kırtılı kayaları üzerinde şeikilenen yükselim alanı, güneydoğu kısmen Alt Triyas kireçtaşlarını takip ederken, büyük ölçüde Permiyen kireçtaşları içinde kalır (Şekil 3). K 20-25° B gidişli senkinal doruklar şeklindeki bu yükselim, yer yer yatak yamaçlı kertik vadilerle parçalanmıştır. İnceleme alanının en yüksek zirveyi oluşturan Sulugöl Tepede rakım 2576 m'dir. Bu yükseldalık alan boyunca, karbonatlı kayalar üzerinde, doruk başlangıç kotlarında lapye ve dolin oluşumları yoğunlaşır.

10- Yügülük Tepe-Çobanece Tepe

Ateğriği Tepe Yükselimi : Bu yükselti, Gevne napının Permiyen yaşıta litolojileri içindedir. Yaklaşık K-G gidişli bir senkinal ekseni boyunca, yükselim hattında senkinal doruklar şeikilenmiştir (Şekil 3). En yüksek zirve ise, 2429 m ile Yügülük Tepe'dir.

11- Çalalanı Tepe Yükselimi :

Güneybatıda Çalalanı Tepeden geçen bu sırt, Otokton Birliğe ait Üst Kretase kireçtaşındaki antikinal oluşumu ile dom şeklinde yükseliş ve bir omuzlu doruk morfolojisini kazanmıştır. Üzerinde lapye ve dolinlerin iyi geliştiği bu kabartı, aynı zamanda kenarları normal çekim fayları ile sınırlı, K 25° B uzanaklı bir horst yapısıdır. Doruk noktası, 2539 m yüksekliğindeki Çalalanı Tepe olan bu yükselim, güneydoğuya doğru faylarla kademeli bir şekilde alçalarak, allokton örtülerin altına dalar (Şekil 3).

ÇUKUR ALANLAR

Bu bölümde yükselim hatlarının birbirinden ayıran önemli vadilerden bahsedilecektir. Yöredeki belli başlı vadide sistemleri, kuzeyden güneye doğru şöyledir:

1- Kuma Dere Vadisi : İnceleme alanı batısındaki Kuma Derenin yukarı çıkışında, Permiyen kuvarsit ve şeylleri içinde yaklaşık D-B yönlü, tabanlı olgun bir ana vadi ile genelde K-G yönlü yan vadilerin oluşturduğu bu vadi sistemi (Şekil 2), doğuya doğru Permiyen kireçtaşları içinde tek ve dar bir vadi şeklindedir. Aşağı çıkışında Devoniyen-Karbonifer yaştáki kolay aşınabilen kireçtaşı arakatkılı şeyl ve kuvarsitler içinde tekrar tabanlı-olgun vadi konumundaki Kuma Dere Vadisi, aynı özellikte Değirmen Dere yan vadisi ile birleşerek, Yeni Yayla'nın doğusunda Jura-Kretase kireçtaşları içindeki mağaraya sularını boşaltırlar.

2- Şalgamcık Dere Vadisi : Bu vadi Taşkent güneybatısında, Permiyen kuvarsit ve şeylleri içinde, D-B yönlü, tabanlı-olgun vadi durumundadır. Mansaba doğru Permiyen kireçtaşları içinde bir müddet dik yamaçlı kertik vadi konumunda izlendikten sonra, Triyas (?) metaolistostromu içinde, izoklinal vadi (İzbırak, 1977) pozisyonunu kazanan Şalgamcık Dere Vadisi, Taşkent yakınında bir fay hattını takip ederek kuzeydoğuya doğru devam eder.

3- Gevne Çayı Vadisi : Bölgenin en önemli vadi ağı konumundaki Gevne Çayı vadi sistemi, önemli kol vadileriyle birlikte, yörende belirgin ve dar nitelikte kabul havzaları (Ardos ve Pekcan Yalçiner, 1997) oluşturur. Yukarı çıkışında Devoniyen-Karbonifer yaşlı kireçtaşı arakatkılı şeyl ve kuvarsitler içinde şekeitenmiş ve yaklaşık D-B yönlü Orhan Dere Vadisi, tabanlı-olgun vadi ve yatık yamaçlı kertik vadi tipine uygundur. Orhan Dere Vadisi, daha sonra, aşınıma dirençli Permiyen tabakaları içinde KB-GD yönlü dik yamaçlı kertik vadi pozisyonundadır. Sert Permiyen litolojileri içinde KD-GB istikametli ve dik yamaçlı kertik vadi tipindeki Karapınar Dere kol vadisi ile Orhan Dere Vadisi birleşerek, güneydoğuya doğru kavisler yapan kertik tipteki Gevne Çayı ana vadisini oluşturur. Bu ana vadi, Göztaşı-Beyreli arasında aşınıma karşı az dayanıklı Triyas fıştı içinde, yatık yamaçlı kertik vadi ve tabanlı olgun vadi tipindedir. Memba bölgesinde aşınmaya dirençli Permiyen tabakaları içinde dik yamaçlı kertik vadi, Triyas fıştı içinde de yatık yamaçlı kertik vadi konumundaki Arpalık Dere kol vadisi ile Beyreli'de birleşen Gevne Çayı ana vadisi, D-B istikametinde bir süre izlendikten sonra, kolay aşınabilen Jura yaşlı karasal oluşuklar içinde yatık yamaçlı kertik vadi ve tabanlı-olgun vadi morfolojisi gösteren Çamurluk Dere kol vadisiyle birleşir (Şekil 3). Daha doğuda Triyas yaşlı fıştır içinde tabakaların eğim yönünde gelişen konsekan tipteki Tekir Dere vadisiyle birleşen Gevne Çayı ana vadisi, Triyas fıştı ve daha da

güneyde Jura karasal çökelleri içinde yaklaşık K-G yönlü antiklinal vadi pozisyonundadır. Yukarı çıkışda karasal-yarı karasal Jura çökelleri içinde, yatak eğimi fazla kertik vadi ve yayvan kertik vadi tipindeki Eksielma Dere kol vadisi açılmıştır. Yine Jura karasal çökelleri içinde şekeitenmiş antiklinal vadi tipindeki Bakkal Dere kol vadisinin yatak eğimi fazladır. Bakkal Dere kol vadisinin, Gevne Çayı ana vadisine kavuştuğu bölgede, tabanlı-olgun vadilere özgü, geniş bir subasan taban izlenir (Şekil 3).

4- Ayan Dere Vadisi : İnceleme alanının güneyindeki Ayan Dere boyunca, Karbonifer ve Permiyen yaşlı kireçtaşı ile kuvarsitler içinde açılan bu vadi, yatak ve yamaç eğimleri fazla, tabansız, derin bir vadidir. K-G yönelimli antiklinal ekseni izleyen bu vadi, antiklinal vadidir.

5- Sayılıca Dere Vadisi : Araştırma sahasının güneybatısındaki bu vadi, KD-GB gidişli sol yönlü yırtılma fayını izleyen yatık yamaçlı yüksek eğimli-çağlayanlı-Harmancık Dere kol vadisi ve KB-GD gidişli gravite fayını takip eden yine yüksek eğimli-çağlayanlı-dik yamaçlı Aksu Dere kol vadisinin birleşmesinden oluşur. Sayılıca Dere Vadisi, yaklaşık K-G istikametlidir (Şekil 3). Ana vadi, kıvrım ekseni ve faylara dik yönde gelişen ve yüksek eğimli yamaçlar oluşturan tabansız kertik vadiler şeklinde olup, otokton birligi ait Üst Kretase kireçtaşı ve Üst Kretase-Paleosen fışının sert litolojileri içinde teşekkül etmiştir.

6- Beden Dere Vadisi : İnceleme alanının güneyinde KKD-GGB istikametinde uzanan bu vadi, Eosen ve Üst Kretase fışları içinde izlenir. Bu vadi, az eğimli, dar tabanlı izoklinal tipte bir vadidir.

SONUÇLAR

1- Bölgede belirgin ve yaygın biçimde Erken ve Orta Alpin Orijenez safhalarının izleri mevcut olup, bunlarla ilgili kıvrımlanma ve yükselmeler neticesinde, yörendeki formasyonlar arasında açılı uyumsuzluklar oluşmuştur. Bölgenin kıvrımlı, kıraklı-naplı bir sıradağ haline gelmesinde özellikle Orta Alpin hareketlerinden Pireniyen orijenez safhasının etkisi çok büyük tür.

2- Bölgenin morfotektonik yapısı içinde, yüksek-dağlık alanlarda önemli yükselm hatları belirlenerek, kuzeyden güneye doğru incelenmiştir. Bu yükselm hatları, ekseri kıvrım ve kırık tektoniği etkisinde gelişen genelde senkinal doruklar, kısmende antiklinal doruklardır. Yine bazı yükselmeler, nap dilimlerinin üst üste katlanması veya çekim faylarıyla yükselen blokların aynı istikamette dizilişinden oluşmuş

fay basamaklarıdır. Kırımlı ve kırıklı rölyef şekillerinin egemen olduğu bölgenin morfotektonik iskeleti, daha ziyade Eosen sonunda napların yerleşmesinden sonra eski tektonik dönemdeki (Orta Miyosen öncesi) deformasyonlarla ilintilidir.

3- Çukur yer şekillerinden olan önemli vadi sistemleri kuzyeden güneye doğru incelemiştir. Aşınma dirençli formasyonlar içinde çoğunlukla "dik yamaçlı kertik vadi-yatık yamaçlı kertik vadi" tipleri, kolay aşınabilen formasyonlarda "tabanlı-olgun vadi" tipi gözlenmiştir. Yörede "yarma vadi", "subsekan vadi" ve "antikinal vadi" tipleri de vardır. Ana vadiler bölgedeki kıvrım eksenleri ve ana fayların uzanımına kısmen uyumlu gelişmişken, kol vadiler genelde bu yapıları kesmektedir.

KAYNAKLAR

- Ardos, M., Pekcan Yalçınar, N., 1997, Jeomorfoloji Sözlüğü: Çantay Kitabevi, 326 s., İstanbul.
- Blumenthal, M., 1944, Bozkır (Konya) güneyinde Toros sıradalarının serisi ve yapısı: İst. Üniv. Fen Fak. Mec., seri: B-9, 95-125.
- Blumenthal, M., 1949, Batı Toroslar'ın örtü lambaları: Türkiye Jeol. Kur. Bült., cilt: 2, sayı: 1, 30-40.
- Blumenthal, M., 1951, Batı Toroslar'da Alanya'ardı Ülkesinde jeolojik araştırmalar: MTA Derg., seri: D, no: 5, 194.
- Blumenthal, M., 1956, Konya-Karaman havzası güneybatısında Toros kenar silsileleri ve şist-radyolarit formasyonunun stratigrafi meselesi: MTA Derg. no: 48, 1-36.
- Erol, O., 1997, Çukurova'nın nestektonik jeomorfolojik evrimi: Geosound Yerbilimleri Derg., sayı: 30, cilt: 1, 127-134.
- Izbırak, R., 1977, Sistematič jeomorfoloži: Ank. Univ., DTC Fakültesi yayınları, 327 s., Ankara.
- Izbırak, R., 1979, Jeomorfoloji (analitik ve umumi): DTC Fakültesi yayınları, 466 s., Ankara.
- Ketin, I., 1978, Türkiye'nin başlıca orojenik olayları ve paleocoğrafik evrimi: MTA Derg., 88, 1-4.
- Koçyiğit, A., 1983, Hoyran Gölü (İsparta) dolayının tektoniği: Türkiye Jeol. Kur. Bült., 26-1, 1-10.
- Özgül, N., 1971, Orta Toroslar'ın kuzey kesiminin yapısal gelişiminde blok hareketlerinin önemi: Türkiye Jeol. Kur. Bült., 14-1, 85-101.
- Özgül, N., 1976, Toroslar'ın bazı temel jeoloji özellikleri: Türkiye Jeol. Kur. Bült., 19-1, 65-78.
- Turan, A., 1985, Beyreli (Hadim-Konya) dolayının jeoloji incelemesi: Selçuk Univ. Fen Bil. Ens., yüksek lisans tezi (yayınlanmamış), 111.
- Turan, A., 1990, Toroslar'da Hadim ve güneybatısının jeolojisi, stratifrafisi ve tektonik gelişimi: Selçuk Univ. Fen Bil. Ens., doktora tezi (yayınlanmamış), 229.
- Turan, A., 1995, Bağbaşı-Korulan (Hadim - Konya) kasabaları arasındaki otokton ve allokton serileri ayrıntılı stratigrafisi ve jeolojik evrimi: Selçuk Univ. Araştırma Fonu Projesi, proje no: MMF-92-108, 60.
- Turan, A., 1999, Hadim (Konya) güneybatısında Orta Toroslar'ın tektonik özellikleri: C.Ü. Müh. Fak. Derg., Seri A.-Yerbilimleri C.16, S.1, s. 59-78.
- Yalçınar, N., 1996, Strüktüral Jeomorfoloji, cilt: 1; Öz Eğitim Yayınevi, 480 s., İstanbul.

MERZİFON (AMASYA) YÖRESİNDEKİ JURA-KRETASE YAŞLI KIREÇTAŞLARI-NIN CALPIONEL BIYOSTRATİGRAFİSİ

THE CALPIONEL BIOSTRATIGRAPHY OF JURASSIC-CRETACEOUS AGED LIMESTONE IN THE MERZİFON (AMASYA) REGION

Mehmet AKYAZI Cumhuriyet Üniversitesi, Jeoloji Mühendisliği Bölümü 58140 SİVAS
Aslı KARABAŞOĞLU Cumhuriyet Üniversitesi, Fen Bilimleri Enstitüsü 58140 SİVAS
Ahmet UTAR MTA Orta Anadolu I. Bölge Müdürlüğü 58030 SİVAS
Ömer KESGİN MTA Orta Anadolu I. Bölge Müdürlüğü 58030 SİVAS
Nazire ÖZGEN ERDEM Cumhuriyet Üniversitesi, Jeoloji Mühendisliği Bölümü 58140 SİVAS
T. Şafak URSAVAŞ Cumhuriyet Üniversitesi, Fen Bilimleri Enstitüsü 58140 SİVAS

ÖZ : Amasya iline bağlı Gümüşhacıköy yöresindeki titonik fasiyeste gelişmiş, Geç Jura-Erken Kretase yaşı pelajik kireçtaşlarının calpionel biyostratigrafisine yönelik olarak yapılan bu çalışmada, toplam 13 adet calpionel türü tanımlanmış ve 5 adet calpionel biyozonu ayırtlanmıştır. Bölgenin Jura-Kretase stratigrafisine katkı koymayı amaçlayan bu çalışmada saptanan biyozonların, Roma Standart Zonları ve Kuzey Anadolu'da yapılan çalışmalarla saptanmış olan calpionel biyozonlarıyla karşılaştırması yapılmıştır.

Anahtar kelimeler : Merzifon, Jura- Kretase, Titonik fasiyes, Calpionel, Biyostratigrafi

ABSTRACT : This study was carried out to determine the calpionel biostratigraphy of Late Jurassic-Early Cretaceous aged pelagic limestones which were evolved in the tithonic facies of Gümüşhacıköy district of Amasya province. A total of 13 calpionel species were described and 5 calpionel biozones separated. The biozones determined in the study that aimed to contribute the Jurassic-Cretaceous stratigraphy of the region, were compared to those determined in other studies carried out at northern Anatolia and Roman Standard Zones.

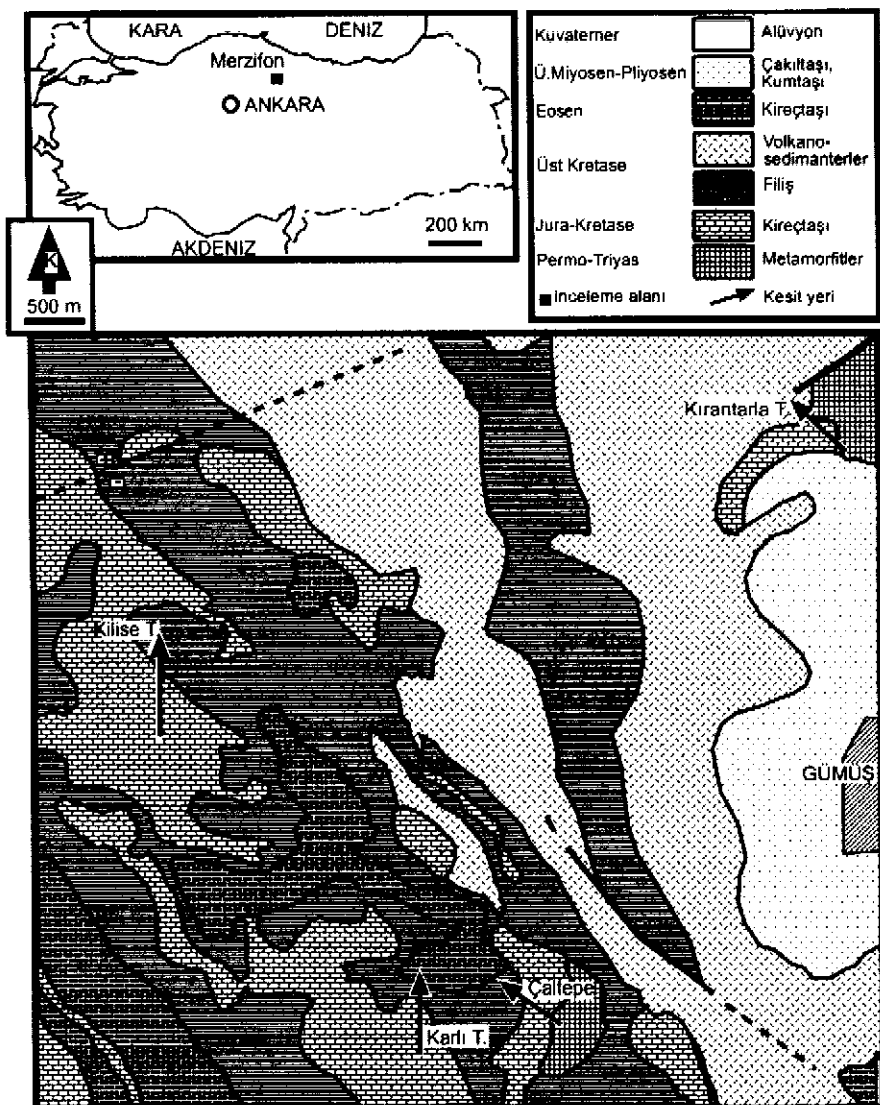
Key words : Merzifon, Jurassic-Cretaceous, Tithonic facies, Calpionel, Biostratigraphy

I. GİRİŞ

İnceleme alanı Amasya iline bağlı Gümüşhacıköy yörenesini kapsamaktadır (Şekil 1). İnceleme alanın temelinde Permo-Triyas yaşı metamorfiter yer almaktadır. İnceleme alanının örtü kayalarını Geç Jura-Miyosen yaşı aralığında çökelmanış birimler oluşturmaktadır. Örtü kayaların en yaşlısı olan Geç Jura-Erken Kretase yaşı birimler, titonik fasiyeste gelişmiş bol calpionelli pelajik kireçtaşlarından oluşmaktadır. Calpionel biyostratigrafisine yönelik olarak bölgenin Jura-Kretase stratigrafisine katkı koymak amacıyla yapılan bu çalışmada, Geç Jura-Erken Kratake yaşı kayaçlarından 4 adet Ö.S.K. alınmış ve 109 örnek derlenmiştir. Derlenen örneklerin ince kesitleri yapılarak paleontolojik ve sedimentolojik açıdan incelenmiştir.

Bu incelemeler sonunda toplam 13 adet calpionel türü tanımlanmış ve 5 adet calpionel biyozonu ayırtlanmıştır. Ayırtlanan bu biyozonların, Roma Standart Zonları ve daha önce Kuzey Anadolu'da yapılan çalışmalarla saptanmış olan calpionel biyozonlarıyla karşılaştırması yapılmıştır (Çizelge 1).

Bölge jeolojisinde ve içerdeği gümüş cevheriyle Türkiye ekonomisinde önemli bir yeri olan bu yörede, daha önce değişik amaçlı çok sayıda jeolojik çalışmalar mevcuttur. Bölge ve yakın çevresinde oanlarla bölgeye uzak olmakla birlikte aynı tektonik kuşak içerisinde yer alan ve bölge jeolojisine ışık tutacak çalışmalar da belirlenmiştir. Bunlar; Unterhössel (1936); Kovenko (1937); Pilz (1938); Blumenthal (1950); Ketin (1962); Coronini (1964); Alp



Şekil 1. İnceleme alanının jeoloji haritası.
Figure 1. Geological map of the study area.

Çizelge 1. Çalışma alanında saptanan calpionellerin stratigrafik dağılımları.
Table 1. Stratigraphic distribution of the calpionel defined in the study area.

KATLAR →	ÜST TİTONİYEN	ALT BERRİYASİYEN	ÜST BERRİYASİYEN	ALT VALANJİNİYEN	
BİYOZONLAR →	Cr. intermedia	C.alpina	C.elliptica	Cs.simplex-Cs.oblonga	Ct.darderi
CALPIONELLER	Tintinnopsis carpathica				
	Crassicollaria intermedia				
	Crassicollaria brevis				
	Crassicollaria massutiniana				
	Crassicollaria parvula				
	Calpionella alpina	-			
	Calpionella elliptica				
	Remaniella ferasini	-			
	Remaniella cadiischiana				
	Remaniella murgeanui				
	Calpionellopsis simplex				
	Calpionellopsis oblonga				
	Calpionellites darderi				

(1972), Ayhan (1973); Altınlı (1973); Gökcé (1983); Genç ve Diğ., (1991); Saner (1980); Dindik (1982); Tüysüz (1990), Tüysüz ve diğ. (1990a, 1990b 1993), Avşar, (1991), Birgili ve diğ. (1975) dir.

II. STRATİGRAFİ

Sakarya Kıtası Tektonik Kuşağı içerisinde bulunan inceleme alanının temelini Permo-Triyas yaşı Karakaya Karmaşığı'na alt birimler oluşturmaktadır. Bu kayalar başlıca yeşilist fasiyesinde metamorfizma geçirmiş sedimanter ve magmatik kökenli kayalardan oluşmaktadır. Metapelit, meta kumtaşı ardalanmaları ile bunlar içerisindeki Permiyen yaşı kireçtaşları bloklarından oluşan bu temel kayaları (Görür ve diğ., 1983) üzerinde gelen örtü kayaçları, Titonyen-Valanjiniyen yaşı kireçtaşlarıyla başlamaktadır. Bu kireçtaşlarının alt düzeyleri, sığ denizel fasiyeste gelişmiş, oldukça kalın yer yer masif tabakalı kireçtaşlarından, üst düzeyleri ise; Geç Titonyen-Valanjiniyen yaşı Titonik fasiyeste gelişmiş bol calpionelli kireçtaşlarından oluşmaktadır. Bu kireçtaşları üzerinde uyumsuz olarak yeralan Geç Kretase yaşı birimler bir taban çakıltısı düzeyiyle başlamakta olup, kumtaşı, kiltaşı, marn, kireçtaşları aradalanılmış filiș fasiyesinde gelişmiş birimlerle devam etmektedir. Birimin üst düzeyleri, aglomera ve tüflerden oluşan volkanosedimanter birimlerle aradalanmalı olup, Eosen yaşı detritikler ve volkanitler tarafından uyumsuz olarak örtülüür. Bölgenin en genç birimlerini Miyosen-Pliyosen yaşı gölsel çökeller oluşturmaktadır (Şekil 2).

III. ÖLÇÜLU STRATİGRAFİ KESİTLERİ

Çalışma sahasındaki kalınlıkları 73-162 m arasında değişen titonik fasiyesteki kireçtaşları serisi Erken Titonyen yaşı sparit dokulu kireçtaşları üzerinde uyumlu olarak yer alır. Seri, Geç Titonyen-Erken Valanjiniyen yaşı, sarımsı-gri yer yer koyu kahverengi renkli, ince tabakalı, titonik fasiyeste gelişmiş calpionelli ve radiolariali biyomikritik mikro-biyofasyles özellikli kireçtaşlarından oluşmaktadır.

Çalışma sahasında, bu birimden toplam 4 adet Ö.S.K. alınmış ve 109 örnek derlenmiştir.

III. 1. Kirantarla ölçülu stratigrafi kesiti

Bu ölçülu stratigrafi kesiti, inceleme alanının KD'sundaki Kirantarla Tepe'nin güney yamacından başlanarak, K45°D doğrultusunda alınmıştır. Kesit, 1/100.000 ölçekli Merzifon G 30 paftasında, 40°56'58" enlem, 33°20'10" boylam başlangıç ve 40°58'20" enlem, 33°19'45" boylam bitiş koordinatları arasında yer almaktadır. Kesit gidişi, güneyden kuzeye doğrudur. (Şekil 1).

boylam bitiş koordinatları arasında yer almaktadır. Kesit gidişi, GD'dan KB'ya doğrudur (Şekil 1).

Kesit alınan yerde Permo-Triyas yaşı Temel kayaları Üzerine uyumsuz olarak gelen ve Geç Kretase volkanitleri tarafından Üzerlenen kireçtaşlarının alt düzeylerini, kalın tabakalı yer yer masif, sparit dokulu gri-koyu gri renkli kireçtaşları oluşturmaktadır. Üste doğru, gri renkli, ince-orta tabakalı, biyosparsitlik kumlu kireçtaşıyla devam eden birimin bu düzeylerinde, Erken Titonyen yaşı veren *Protopeneroplis striata* Weynschenk, *Nautiloculina oolithica* (Mohler), *Praekurnubia* sp. ve *Valvulina* sp. fosilleri saptanmıştır.

Erken Titonyen yaşı birim üzerinde, sarımsı-gri yer yer koyu kahverengi renkli, ince tabakalı, titonik fasiyeste gelişmiş calpionelli ve radiolariali biyomikritik mikro-biyofasyles özellikli kireçtaşları dereceli geçişli olarak yer almaktadır. Bu kireçtaşları içerisinde Geç Titonyen yaşı veren; *Tintinnopsis carpathica* (Murgeanui & Filipescu) (Levhा I, Şekil 3), *Crassicollaria intermedia* (Durand Delga) (Levhा I, Şekil 7), *Crassicollaria brevis Remane*, *Crassicollaria parvula Remane* (Levhा I, Şekil 3), *Crassicollaria massutiniana* (Colom) (Levhा I, Şekil 11), *Calpionella alpina Lorenz* (Levhा II, Şekil 2), *Calpionella elliptica Cadisch* (Levhा II, Şekil 6), *Remanella cadischiana* (Colom) (Levhा II, Şekil 9), *Calpionellopsis simplex* (Colom), *Calpionellopsis oblonga* (Cadisch) (Levhा III, Şekil 4), *Calpionellites darderi* (Colom) (Levhा III, Şekil 7), radiolaria ve sünger spikülleri saptanmıştır.

Titonik fasiyeste gelişmiş olan, toplam 130 m kalınlıktaki kireçtaşlarında; 31 m kalınlıkta *Crassicollaria intermedia*, 25 m kalınlıkta *Calpionella alpina*, 27 m kalınlıkta *Calpionella elliptica*, 26 m kalınlıkta *Calpionellopsis simplex*-*Calpionellopsis oblonga* ve 21 m kalınlıkta *Calpionellites darderi* calpionel biyozonları saptanmıştır (Şekil 3).

III. 2. Kilise Tepe ölçülu stratigrafi kesiti

Bu ölçülu stratigrafi kesiti, inceleme alanının Batısındaki Kilise Tepe'nin güney yamacından başlanarak, yaklaşık, K-G doğrultusunda alınmıştır. Kesit, 1/100.000 ölçekli Merzifon G 30 paftasında, 40°56'58" enlem, 33°20'10" boylam başlangıç ve 40°58'20" enlem, 33°19'45" boylam bitiş koordinatları arasında yer almaktadır. Kesit gidişi, güneyden kuzeye doğrudur. (Şekil 1).

Kesit alınan yerde tabanı gözlenemezken ve Geç Kretase yaşı filișler tarafından Üzerlenen birim sarımsı-gri yer yer koyu kahve-

YAS	KUVA.	KALINLIK (m)	KAYA TURU	LITOLOJİK AÇIKLAMALAR	PALEONTOLOJİK AÇIKLAMALAR
UST MIYosen-Pliyosen		117		Gevşek dokulu çakıltaşları	
Eosen		96		Karasal çakıltaşı, kumtaşı	
İST KRETASE		124		Sığ denizel kireçtaşları	
TİTONİYEN-BERRİYASİYEN		180		Aglomera ve tuf Kumtaşı, marn, kiltası, kireçtaşı ardalanmalı filiş	
PERMO-TRİYAS				Gri, yer yer koyu kahverengi ranklı, ince tabakalı killi kireçtaşları (Calpionelli biyomikrit) Kalink tabakalı, yer yer masif, kireçtaşları (Fosilli biyosparit)	<i>Tintinnopsis carpathica, Crassicollaria intermedia,</i> <i>Crassicollaria brevis, Crassicollaria massutiniana,</i> <i>Crassicollaria parvula, Calpionella alpina,</i> <i>Calpionella elliptica, Remaniella cadischiana,</i> <i>Calpionellopsis simplex, Calpionellopsis oblonga,</i> <i>Calpionellites darderi</i> Radiolaria ve Sünger spikülleri
				Permiyen yaşlı kireçtaşı blokları iceren, metapelit, metakumtaşı ardalanması	<i>Protopereroplis striata,</i> <i>Nautiloculina oolithica,</i> <i>Praekurnubia sp.</i> <i>Valvulina sp.</i>

Şekil 2. İnceleme alanının genelleştirilmiş stratigrafî kesiti.

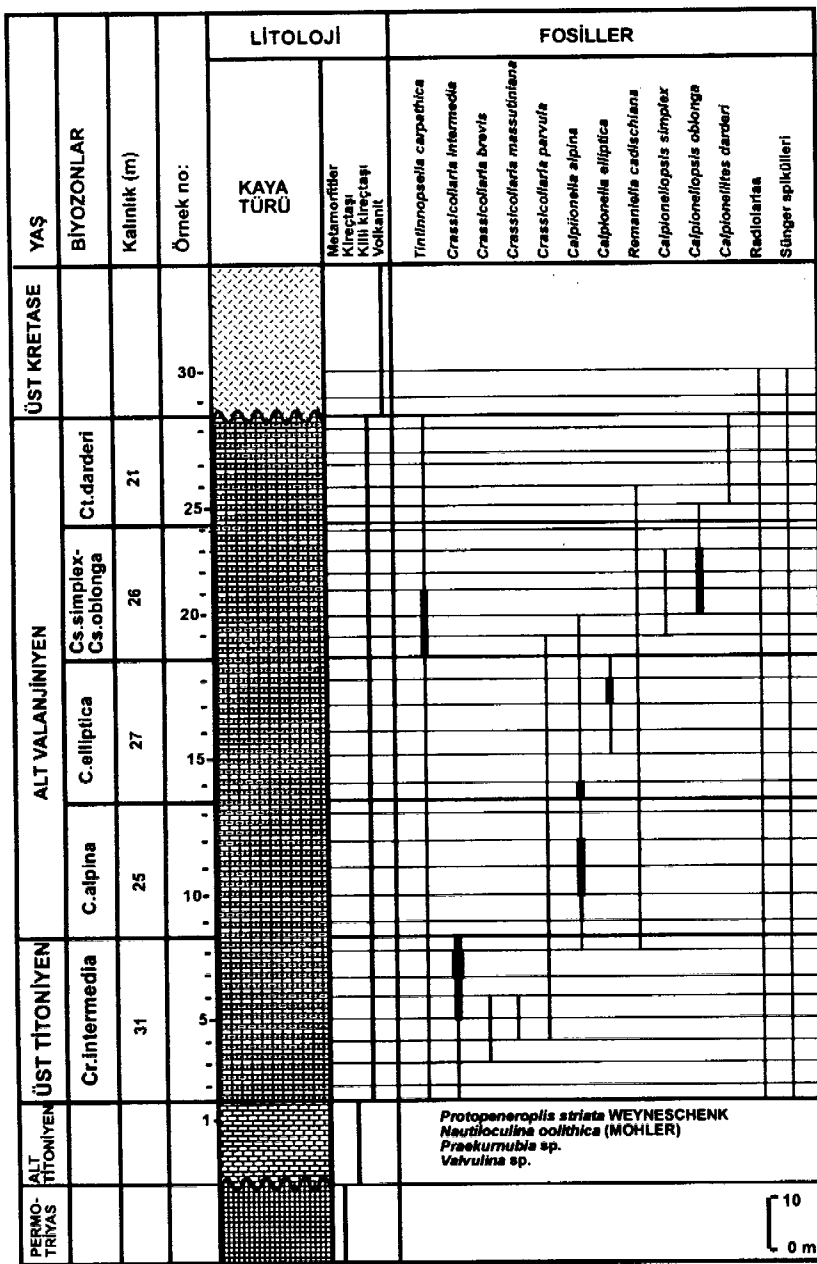
Figure 2. Generalized stratigraphic section of the study area.

renkli, ince tabakalı, titonik fasiyeste gelişmiş calpionelli ve radiolarialı biyomikritik mikro-biyofasîyes özellikli kireçtaşlarından oluşmaktadır. Bu kireçtaşları içerisinde Berriyasiyen yaşı veren; *Tintinnopsis carpathica* (Murgeanui & Filipescu) (Levhâ I, Şekil 1), *Crassicollaria parvula* Remane (Levhâ I, Şekil 8), *Calpionella alpina* Lorenz (Levhâ I, Şekil 12; Levha II, Şekil 3), *Calpionella elliptica* Cadisch (Levhâ II, Şekil 5), *Remaniella cadischiana* (Colom) (Levhâ II, Şekil 7), *Calpionellopsis simplex* (Colom) (Levhâ III, Şekil 3), *Calpionellopsis oblonga* (Cadisch), radiolaria ve sünger spikülleri saptanmıştır.

Titonik fasiyeste gelişmiş calpionelli ve radiolarialı toplam 89 m kalınlıkta kireçtaşlarında; 40 m kalınlıkta *Calpionella alpina*, 25 m kalınlıkta *Calpionella elliptica* ve 24 m kalınlıkta *Calpionellopsis simplex*-*Calpionellopsis oblonga* calpionel biyozonları saptanmıştır (Şekil 4).

III. 3. Karlı Tepe ölçülü stratigrafî kesiti

Bu ölçülü stratigrafî kesiti, inceleme alanının güneyindeki Karlı Tepe'nin güney yamacından başlanarak, yaklaşık K-G doğrultusunda alınmıştır. Kesit, 1/100.000 ölçekli Merzifon G 30 paftasında, $40^{\circ}56'58''$ enlem, $33^{\circ}20'10''$ boylam başlangıç ve $40^{\circ}58'20''$ en-



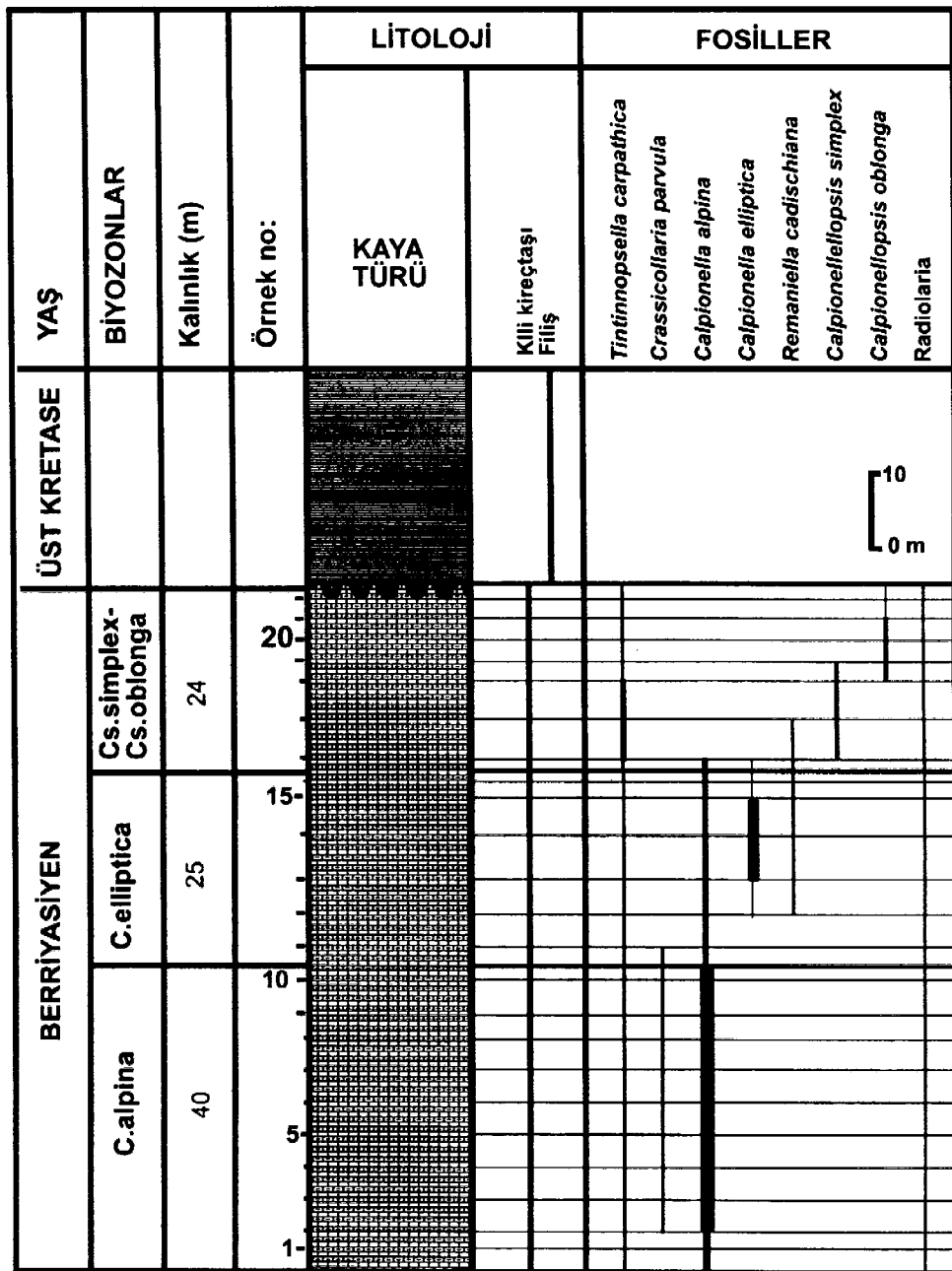
Şekil 3. Kirantara ölçülu stratigrafik kesiti.
Figure 3. Measured stratigraphic section of Kirantara.

lem, 33°19'45" boylam bitiş koordinatları arasında yeralır. Kesit gidişi, güneyden kuzeye doğrudur. (Şekil 1).

Kesit alınan yerde tabanı gözlenemeyen ve Geç Kretase filişleri tarafından üzerlenen kireçtaşlarının alt düzeylerini, kalın tabakalı hatta masif, sparit dokulu kireçtaşları oluşturmaktadır. Üste doğru, gri renkli, ince-orta tabakalı, biyosparitik kumlu kireçtaşıyla devam eden birimin bu düzeylerinde, Erken Titoniyen yaşı veren *Protopeneroplis striata Weynshenk*,

Praekurnubia sp. ve *Valvulina* sp. fosilleri saptanmıştır.

Erken Titoniyen yaşlı birim üzerinde, sarımsı-gri yer yer koyu kahverengi renkli, ince tabaklı, titonik fasyeste gelişmiş calpioneli ve radiolariali biyomikritik mikro-biyofasîyes özellikli kireçtaşları dereceli geçişli olarak yer almaktadır. Bu kireçtaşları içerisinde Geç Titoniyen yaşı veren; *Tintinnopsella carpathica* (Murgeanui & Filipescu) (Levhâ I, Şekil 4), *Crassicollaria intermedia* (Durand Delga), *Crassicollaria brevis* Remane, *Crassicollaria*



Şekil 4. Kilise tepe ölçülu stratigrafik kesiti.

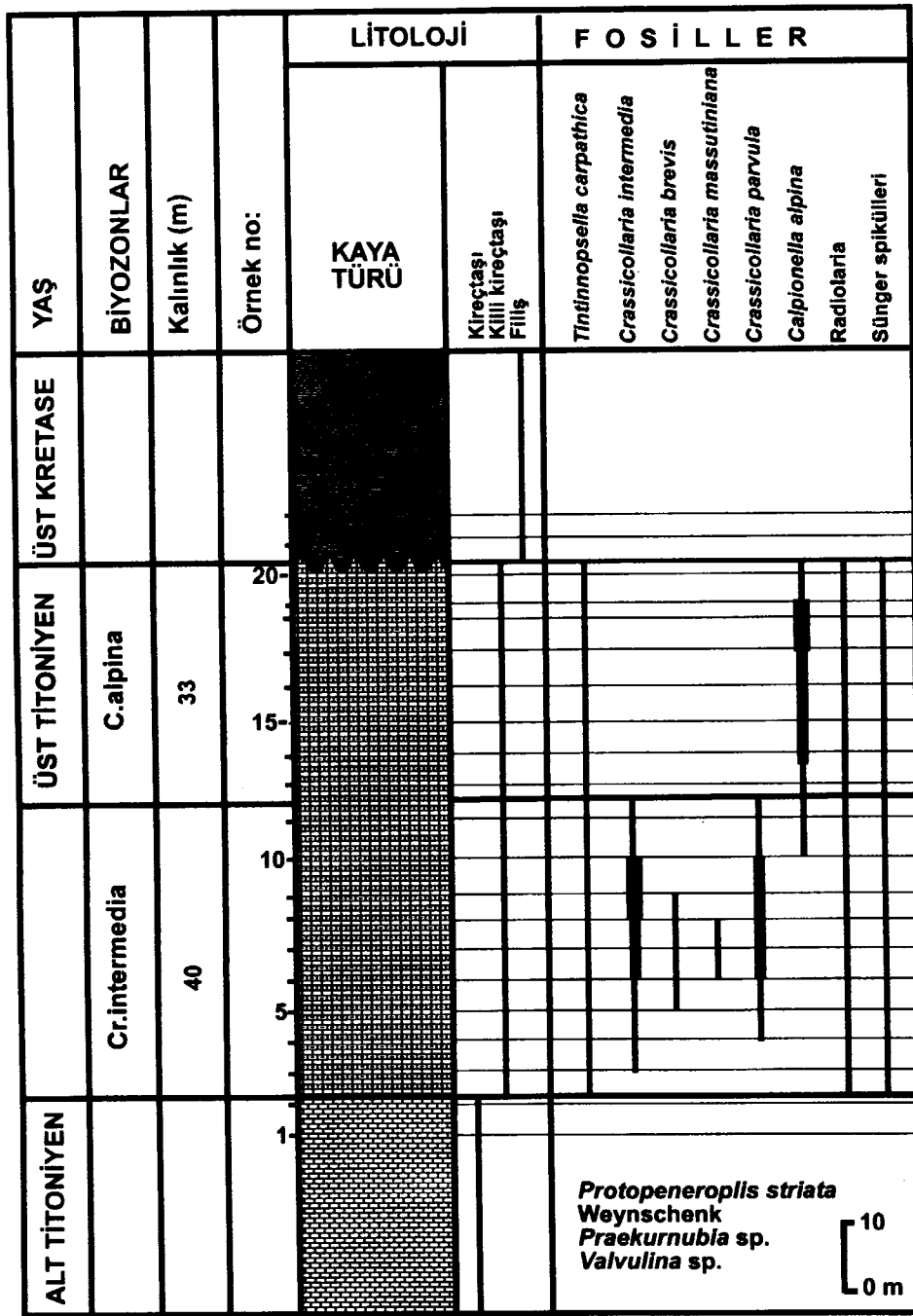
Figure 4. Measured stratigraphic section of Kilise tepe.

parvula Remane (Levhâ I, Şekil 6), **Crassicollaria massutiniana** (Colom), **Calpionella alpina Lorenz** (Levhâ II, Şekil 4), radiolaria ve sünger spikülleri saptanmıştır.

Titonik fasiyeste gelişmiş calpionelli ve radiolariali toplam 73 m kalınlıktaki kireçtaşlarında 40 m kalınlıkta Crassicollaria intermedia ve 33 m kalınlıkta Calpionella alpina calpionel biyozonları saptanmıştır (Şekil 5).

III. 4. Çaltepe ölçülu stratigrafi kesiti

Bu ölçülu stratigrafi kesiti, inceleme alanının güneyindeki Çaltepe'nin güney yamacından başlanarak, yaklaşık K45°B doğrultusunda alınmıştır. Kesit, 1/100.000 ölçekli Merzifon G 30 paftasında, 40°56'58" enlem, 33°20'10" boylam başlangıç ve 40°58'20" enlem, 33°19'45" boylam bitiş koordinatları ara-



Şekil 5. Karlı tepe ölçülu stratigrafik kesiti.
Figure 5. Measured stratigraphic section of Karlı tepe.

sında yeralır. Kesit gidişi, GD'dan KB'ya doğrudur. (Şekil 1).

Permo-Triyas yaşlı Temel kayaları üzere
rine uyumsuz olarak gelen Geç Kretase yaşlı
filiş tarafından üzerlenen birimin alt düzeylerini,
kalın tabakalı, yer yer masif, sparit dokulu kireç-
taşları oluşturmaktadır. Üste doğru, gri renkli,
ince-orta tabakalı, biyosparitik kireçtaşıyla de-
vam eden birimin bu düzeylerinde, Erken

Titoniyen yaşı veren *Nautiloculina oolithica* (Mohler), *Praekurnubia* sp. ve *Valvulina* sp. fosilleri saptanmıştır.

Erken Titonyen yaşlı birim üzerinde, sarımsı-gri yer yer koyu kahverengi renkli, ince tabaklı, titonik fasiyeste gelişmiş calpionelli ve radiolariali biyomikritik mikro-biyofasıyes özellikli kireçtaşları dereceli geçişli olarak yer almaktadır. Bu kireçtaşları içerisinde Geç

Titonyen-Erken Valanjiniyen yaşı veren; *Tintinnopsella carpathica* (Murgeanui & Filipescu), *Crassicollaria intermedia* (Durand Delga), *Crassicollaria brevis* Remane, *Crassicollaria parvula* Remane, *Crassicollaria massutiniana* (Colom), *Calpionella alpina* Lorenz, *Calpionella elliptica* Cadisch, *Remaniella cadischiana* (Colom), *Remaniella ferasini* (Catalano), *Remaniella murgeanui* (Pop), *Calpionellopsis simplex* (Colom), *Calpionellopsis oblonga* (Cadish), *Calpionellites darderi* (Colom), radiolaria ve sünger spikülleri saptanmıştır.

Bu kesitte, kalınlığı 162 m ölçülen calpionelli ve radiolarialı kireçtaşlarında; 31 m kalınlıkta *Crassicollaria intermedia*, 32 m kalınlıkta *Calpionella alpina*, 34 m kalınlıkta *Calpionella elliptica*, 32 m kalınlıkta *Calpionellopsis simplex* - *Calpionellopsis oblonga* ve 25 m kalınlıkta *Calpionellites darderi* calpionel biyozonları saptanmıştır (Şekil 6).

IV. SİSTEMATİK TANIMLAMA

Stratigrafik dağılımları Geç Titonyen-Hotriyiven zaman aralığında olan Calpionel cinslerinin ortaya çıkışları sırasıyla; *Tintinnopsella* sp., *Crassicollaria* sp., *Calpionella* sp., *Remaniella* sp., *Calpionellopsis* sp. ve *Calpionellites* sp. şeklinde olup (Çizelge 1). Bu nedenle, sistematik tanımlamalar bu sıraya göre yapılmıştır :

Dal : Protozoa Goldfuss, 1817

Sınıf : Ciliata

Takım : Calpionellida

Cins : *Tintinnopsella* Colom, 1948

Tür : *Tintinnopsella carpathica* (Murgeanui & Filipescu), 1933 (Levhı I, Şekil 1-4)

1933 *Calpionella carpathica* Murgeanui & Filipescu, pl.I, 63-4

1971 *Tintinnopsella carpathica* (Murgeanui & Filipescu), Remane, fig. 3, 11, 12.

1979 *Tintinnopsella carpathica* (Murgeanui & Filipescu), Allemann & Remane, pl.VIII, fig.1

1986 *Tintinnopsella carpathica* (Murgeanui & Filipescu), Remane, pl. XVIII, fig.21-24.

1991 *Tintinnopsella carpathica* (Murgeanui & Filipescu), Tunç, IV. III, sek. 2.

1992 b *Tintinnopsella carpathica* (Murgeanui & Filipescu), Tunç, IV. II, sek. 7.

1998 *Tintinnopsella carpathica* (Murgeanui & Filipescu), Akyazı, IV. I, sek. 2, 3.

Tanım : Bu tür, az veya çok oval olan uzamış bir kabuğa sahiptir. Ağız açıklığı, her zaman kabuğun maksimum çapından daha küçük bir çaptadır. Duvarın devamı şeklinde olan yakala-

rı, keskin bir şekilde dışa doğru kıvrılmış olup, üç kısımları yukarı kıvrık ve sıvıdır. Hiyalin kavşık yapısına sahip bu türün aboral kısmı, aşağı doğru uzayarak sap şeklini almıştır. Bu tür, *Crassicollaria intermedia* Zonu'nda oldukça küçük yapıda olup, 10 tür üzerinde yapılan ölçüm değerlerine göre; boyları 60-90 μ , genişlikleri ise 42-65 μ arasında değişen değerlere sahiptir. Ortalama boyları 75,60 μ , genişlikleri 54,50 μ olup, boyalarının genişliklerine oranı 1,39 dur.

Calpionella alpina Zonu'nda; boyları 67-92 μ , genişlikleri ise 47-70 μ arasında değişen değerlerde olup, ortalama boyları 78,30 μ , genişlikleri 58,80 μ , boyalarının genişliklerine oranı ise; 1,33 tür.

Calpionella elliptica, *Calpionellopsis simplex*-*Calpionellopsis oblonga* ve *Calpionellites darderi* Zonları'nda ise; boyları 85-104 μ , genişlikleri 70-86 μ arasında değişen değerlerde olup, ortalama olarak, boyları 95,90 μ , genişlikleri 74,30 μ , boyalarının genişliklerine oranı ise; 1,29 dur.

Ayırtman özellikleri : *Tintinnopsella carpathica* (Murgeanui & Filipescu), *Tintinnopsella longa* (Colom)'dan boyutlarının daha küçük oluşuya ayrılr.

Üç ayrı düzeyden alınan 10 tür üzerinde yapılan ölçümler Çizelge 2'de verilmiştir.

Stratigrafik Düzey : Geç Titonyen başından, Erken Valanjiniyen'in sonuna kadar olan zaman aralığında gözlenirler.

Cins : *Crassicollaria* Remane, 1962

Tür : *Crassicollaria intermedia* (Durand Delga), 1957 (Levhı I, Şekil 5)

1957 *Calpionella intermedia* Durand Delga, p.165-168

1970 *Crassicollaria intermedia* (Durand Delga), Fares & Lasnier, pl. I, fig.2,4.

1971 *Crassicollaria intermedia* (Durand Delga), Remane, fig. 3,7.

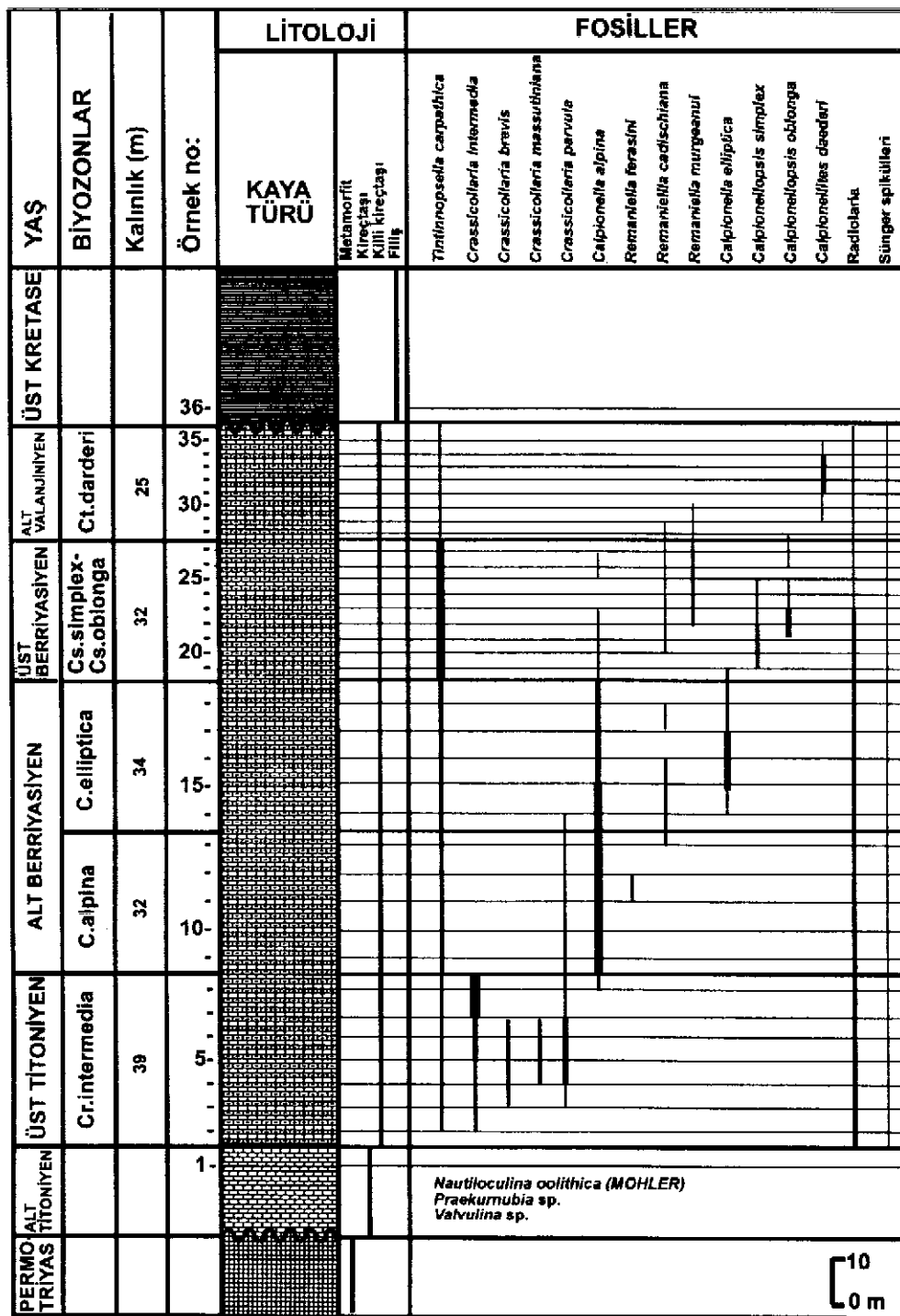
1986 *Crassicollaria intermedia* (Durand Delga), Remane, pl. XVIII, fig. 14-15.

1992 *Crassicollaria intermedia* (Durand Delga), Tunç, IV. II, sek. 3.

1993 *Crassicollaria intermedia* (Durand Delga), Özkan, s.128.

1998 *Crassicollaria intermedia* (Durand Delga), Akyazı, IV. I, sek. 6.

Tanım: Bu tür, önce dik, sonra keskin bir şekilde dışa doğru bükülmüş yakası ile karakteristik olup, uzun bir kabuğa sahiptir. Yakanın altında yuvarlak bir çukurluk ve daha alta bir şıkkınlık



Şekil 6. Çaltepe ölçülu stratigrafik kesiti.
Figure 6. Measured stratigraphic section of Çaltepe.

vardır. 10 tür üzerinden alınan ölçümlere göre; ortalama 99,20 μ boyaya ve 48,00 μ genişliğe ve 2,07 boy/genişlik oranına sahip olan bu türün kabuk şekli, sapın etkisiyle silindirimsi konik biçimde görüldüğünden, oblik kesitlerde bile kolayca tanınır.

Değişik düzeylerdeki 10 tür üzerinden alınan ölçümler, Çizelge 3'de çıkarılmıştır.

Ayırtman Özellikleri: Yakalarının dışa doğru keskin sapma göstermesinden dolayı, *Tintinnopsella carpathica* (Murgeanui &

Çizelge 2. 10 tür üzerinde yapılan ölçümler.

Table 2. Measurements on 10 species.

ZONLAR	Crassicollaria intermedia										
Tür no	1	2	3	4	5	6	7	8	9	10	Ortalama
Boy (μ)	85	90	65	65	60	81	68	88	89	65	75,60
Genişlik (μ)	65	60	65	57	42	53	45	55	56	47	54,50
Boy/genişlik	1,31	1,50	1,00	1,14	1,43	1,53	1,51	1,60	1,59	1,38	1,39
ZONLAR	Calpionella alpina										
Tür no	1	2	3	4	5	6	7	8	9	10	Ortalama
Boy (μ)	90	92	67	91	68	69	67	72	82	85	78,30
Genişlik (μ)	70	70	60	60	61	50	48	47	60	62	58,80
Boy/genişlik	1,29	1,25	1,12	1,52	1,11	1,38	1,40	1,53	1,37	1,37	1,33
ZONLAR	Calpionella elliptica Cs. simplex-Cs oblonga Calpionellites darderi										
Tür no	1	2	3	4	5	6	7	8	9	10	Ortalama
Boy (μ)	100	90	85	88	98	101	104	102	100	91	95,90
Genişlik (μ)	82	70	73	72	70	70	71	75	74	86	74,30
Boy/genişlik	1,22	1,29	1,16	1,22	1,40	1,44	1,46	1,36	1,35	1,06	1,29

Çizelge 3. 10 tür üzerinde yapılan ölçümler.

Table 3. Measurements on 10 species.

Tür no	1	2	3	4	5	6	7	8	9	10	Ort.
Boy (μ)	98	93	100	110	108	115	90	91	102	85	99,20
Genişlik (μ)	45	47	48	55	52	47	50	45	50	41	48,00
Boy/genişlik	2,18	1,98	2,08	2,00	2,08	2,45	1,80	2,02	2,04	2,07	2,07

Filipescu)'ya benzerler. Bu nedenle, yaka altı şişkinlikleri iyi korunmamış formları, *Tintinnopsella carpathica* (Murgeanui & Filipescu)'dan ayırmak oldukça güçtür. Bu tür, *Crassicollaria brevis* Remane'ten daha büyük olmasına karşın, oblik kesitlerde bu iki türü birbirinden ayırmak oldukça güçtür.

Stratigrafik Düzey: Geç Titonyen'in başlarında ortaya çıkan bu tür, Geç Titonyen sonuna doğru yok olur.

Tür: *Crassicollaria parvula*, Remane, 1962

(Levhâ I, Şekil 6-8)

1962 *Crassicollaria parvula* Remane, pl., XIX, fig. 36-45

1970 *Crassicollaria parvula* Remane, Fares & Lasnier, pl. II, fig. 6,8,9

1986 *Crassicollaria parvula* Remane, Remane, pl. XVIII, fig. 13.

1992 *Crassicollaria parvula* Remane, Tunç, IV.II, şek. 2.

1993 *Crassicollaria parvula* Remane, Özkan, s.128.

1998 *Crassicollaria parvula* Remane, Akyazı, IV. I, şek. 7, 8.

Tanım: Bu tür, düzensiz bir şekilde eliptik bir yapı gösterir. Değişik stratigrafik düzeylerdeki 10

türden alınan ölçümlere göre; Ortalama 76,60 μ boy ve 48,30 μ genişliğe ve 1,59 boy/genişlik oranına sahip olan bu türün aboral bölgesinde, oblik kesitlerde hafif yuvarlak görülmeyeşine karşın oldukça sıvıdır. Aynı cinsin diğer türlerine oranla daha az belirgin olan yaka altı şişkinliği, stratigrafik olarak yeni olanlarda (daha sonra ortaya çıkanlarda) daha da küçüktür. Çok az bir şekilde dışa dönük olan yakalar, hafif bir daralma ile apeksi oluşturur.

Değişik stratigrafik düzeylerde saptanan 10 türden alınan ölçümler Çizelge 4'te gösterilmiştir.

Ayırtman Özellikler: Bu tür, omuzunun bulunmamasıyla *Calpionella elliptica Cadisch*'dan ayrılır. Berriyasiyen'e geçen formlar çok ufak olup, yaka altı şişkinlikleri küçüktür. Bu nedenle çok belirgin olmayan türleri, *Calpionella alpina Lorenz*'ya benzerlik gösterir.

Stratigrafik Düzey: Geç Titonyen ortalarında ortaya çıkan bu tür, Erken Berriyasiyen sonlarına doğru yok olur. Genellikle, *Crassicollaria intermedia* (Durand Delga) ile aynı düzeylerde görülen ve *Calpionella elliptica Cadisch*'nın çoğaldığı düzeylerde kaybolan bu tür, Geç

Çizelge 4. 10 tür üzerinde yapılan ölçümler.

Table 4. Measurements on 10 species.

Tür no	1	2	3	4	5	6	7	8	9	10	Ort.
Boy (μ)	83	80	80	70	81	80	75	75	72	70	76,60
Genişlik (μ)	52	50	52	45	56	50	45	48	44	41	48,30
Boy/genişlik	1,60	1,60	1,54	1,55	1,45	1,60	1,67	1,56	1,64	1,71	1,59

Titoniyen-Berriyasiyen sınırlını aşabilen tek *Crassicollaria* türüdür.

Tür: *Crassicollaria brevis Remane*, 1962 (Levha I, Şekil 9)

1970 *Crassicollaria brevis Remane*, Fares & Lasnier, pl. I, fig. 1,3.

1971 *Crassicollaria brevis Remane*, Remane, fig. 3,5,6.

1986 *Crassicollaria brevis Remane*, Remane, pl.XVIII, fig. 11-12.

1991 *Crassicollaria brevis Remane*, Tunç, IV. III, sek. 1

1992 *Crassicollaria brevis Remane*, Tunç, IV.I, sek. 2,3.

1992 *Crassicollaria brevis Remane*, Özkan, s.228.

1998 *Crassicollaria brevis Remane*, Akyazı, IV. I, sek. 9.

Tanım : Kabuk şekli konik olup, dışa doğru bükülmüş yakalara sahiptir. Değişik stratigrafik düzeylerden alınan 10 tür üzerinde yapılan ölçümlere göre; ortalama $75,30 \mu$ boyaya ve $43,60 \mu$ genişliğe sahip olan bu tür, *Crassicollaria* cinsine ait olan en küçük türdür. Ayrıca bu türün yaka altı şişkinliği çok az belirgin olup, aboral kısmı oldukça sıvıdır.

Değişik kesitlerde saptanan 10 türden alınan ölçümler aşağıdaki gibidir (Çizelge 5).

Ayırtman Özellikleri : *Crassicollaria brevis Remane*, *Crassicollaria intermedia* (Durand Delga)' dan, yalnızca daha konik ve küçük olan kabuk şekliyle ayrılır. Her iki türünde yaka şekli aynı olduğundan, oblik kesitlerde bu iki tür birbirinden ayırmak oldukça güçtür.

Stratigrafik Düzey: Geç Titoniyen'in ortalarında, *Crassicollaria intermedia* (Durand Delga)' dan daha sonra ortaya çıkar. Geç Titoniyen sonlarına doğru yok olurlar.

Tür : *Crassicollaria massutiniana (Colom)*, 1954 (Levha I, Şekil 10,11)

1954 *Calpionella massutiniana Colom*, p. 520.

1970 *Calpionella massutiniana Colom*, Fares & Lasnier, pl. II, fig. 11

1971 *Crassicollaria massutiniana (Colom)*, Remane, fig. 3-10.

1993 *Crassicollaria massutiniana (Colom)*, Özkan, 228.

1998 *Crassicollaria massutiniana (Colom)*, Akyazı, iv. I, sek. 10.

Tanım: Bu form, oldukça iri bir kabuğa sahip olup, Değişik kesitlerdeki 10 türden alınan ölçümlere göre; ortalama, $86,90 \mu$ boyaya, $54,30 \mu$ genişliğe ve 1,60 boy/genişlik oranına sahip olan bu tür istatistiksel olarak, *Crassicollaria* cinsine ait türler içerisinde en büyük boyutta olmalıdır. Yaka altı şişkinliği oldukça büyütür. Boyun az-çok silindirik olup, çapı kabuğun maksimum çapından çok az küçük, hatta bazen eşittir. Tam merkezden geçen eksenel kesitlerde, aboral bölgenin alt tarafı saplı olmasından dolayı daha sıvıdır. Yakalar dışa doğru çok az sapma gösterirler.

Değişik kesitlerdeki 10 türden alınan ölçümler aşağı verilmiştir (Çizelge 6).

Ayırtman Özellikleri : Bu form, tüm *Crassicollaria* türlerinden daha büyük oluşuya ve az-çok silindirik olan boyun çapının, kabuğun maksimum çapına yakın hatta bazan eşit oluşuya ayrılr.

Stratigrafik Düzey: Bu tür, en son ortaya çıkan *Crassicollaria* türündür. *Crassicollaria brevis Remane* ve *Crassicollaria parvula Remane'nin* ortaya çıkışından hemen sonra ortaya çıkar ve *Crassicollaria intermedia* (Durand Delga) 'nın kaybólusundan sonra çok kısa bir süre devam ederek, *Calpionella alpina* Zonu'nun tabanında görüldükten sonra yok olur.

Cins : *Calpionella Lorenz*, 1902

Tür : *Calpionella alpina Lorenz*, 1902 (Levha I, Şekil 12; Levha II, Şekil 1-4)

1902 *Calpionella alpina Lorenz*, pl.XII, fig. 35-95

1969 *Calpionella alpina Lorenz*, Remane, pl. X, fig. 2-3.

1970 *Calpionella alpina Lorenz*, Fares &

Lasnier, pl. I, fig. 5-6.

Çizelge 5. 10 tür üzerinde yapılan ölçümler.

Table 5. Measurements on 10 species.

Tür no	1	2	3	4	5	6	7	8	9	10	Ort.
Boy (μ)	78	70	75	75	82	75	81	70	75	72	75,30
Genişlik (μ)	44	37	42	40	47	45	47	48	46	40	43,60
Boy/genişlik	1,77	1,90	1,79	1,88	1,74	1,67	1,72	1,46	1,63	1,80	1,73

Çizelge 6. 10 tür üzerinde yapılan ölçümler.

Table 6. Measurements on 10 species.

Tür no	1	2	3	4	5	6	7	8	9	10	Ort.
Boy (μ)	85	80	78	95	96	82	98	80	95	80	86,90
Genişlik (μ)	55	50	50	55	60	52	60	50	61	50	54,30
Boy/genişlik	1,55	1,60	1,56	1,73	1,60	1,58	1,63	1,60	1,56	1,60	1,60

1971 *Calpionella alpina Lorenz*, Remane, pp. III, fig. 1-2.

1986 *Calpionella alpina Lorenz*, Remane, pl. XVIII, fig. 1-2.

1991 *Calpionella alpina Lorenz*, Tunç, lv. III, sek. 3-4

1992a *Calpionella alpina Lorenz*, Tunç, lv. II, sek. 4.

1993 *Calpionella alpina Lorenz*, Özkan, s.233.

1971

1998 *Calpionella alpina Lorenz*, Akyazı, lv. I, sek. 11, 12.

Tanım: Bu tür, sferik veya hafifçe uzamış bir kabuğa ve kabuğundan daha küçük çapta olan düz ve silindirik bir boyuna sahiptir. Eksenel kesitlerde boyun, birbirine paralel iki unsurdan oluşur. *Crassicollaria intermedia* Zonu'nda oldukça iri boyutta olan bu tür, *Calpionella alpina* Zonu'nun başında küçük, sferik bir şekil alır. *Calpionella alpina* Zonu'nun üst kısmında ise, bu türün uzunluğu gittikçe artar ve oval bir şekil alır. Sonunda da giderek *Calpionella elliptica Cadisch*'ya geçer.

10 ar tür üzerinde yapılan ölçümlere göre; *Crassicollaria intermedia* Zonu'daki büyük formlarının ortalama boyu 88,50 μ , genişliği 68,20 μ ; *Calpionella alpina* Zonu'nda ise ortalama boyu 45,30 μ , genişliği 40,80 μ iken, *Calpionella elliptica* Zonu başındaki uzamış şekilli araformların ortalama boyları 90,00 μ , genişlikleri 53,90 μ dur. Ayrıca, boy/genişlik oranları; *Crassicollaria intermedia* Zonu'nda 1,30, *Calpionella alpina* Zonunda, 1,11 iken, *Calpionella elliptica* Zonu başındaki ara formlar da bu oran, 1,67 dir (Çizelge 7).

Ayrıman Özellikleri: Bu tür, lorikasının kısa ve yuvarlak oluşuyla *Calpionella elliptica*

Cadisch'dan ayrılır. *Calpionella alpina Lorenz*'nin Boy/genişlik oranı, 1,25 ten küçuktur. Fakat oblik kesitlerde bu iki türü birbirinden ayırmak oldukça güçtür.

Stratigrafik Düzey: *Calpionella alpina Lorenz*, Geç Titoniyen'in üst düzeylerinde ortaya çıkar. Kendi adıyla anılan *Calpionella* Zonu'nda oldukça bol olarak görülür. *Calpionella elliptica* Zonu'nda azalarak devam eder. Berriyasiyen sonlarına doğru yok olurlar.

Tür : *Calpionella elliptica Cadisch*, 1932 (Levhâ II, Şekil 5-6)

1932 *Calpionella elliptica Cadisch*, p. 241, fig.3.

1970 *Calpionella elliptica Cadisch*, Fares & Lasnier, pl.I, fig. 7-8.

1986 *Calpionella elliptica Cadisch*, Remane, pl. XVIII, fig. 4.

1991 *Calpionella elliptica Cadisch*, Tunç, lv. III, sek. 5

1992 *Calpionella elliptica Cadisch*, Tunç, lv. II, sek. 9.

1992 *Calpionella elliptica Cadisch*, Özkan, s.235.

1998 *Calpionella elliptica Cadisch*, Akyazı, lv. I, sek. 13.

Tanım : Bu tür, yan duvarları oldukça düz ve uzamış bir lorikaya sahiptir. Birbirine paralel olan duvarlar, ağız kısmında birbirlerine yaklaşıarak, yukarı doğru birbirine paralel olarak uzanan yakaları oluştururlar. Değişik stratigrafik düzeydeki 10 tür üzerinde yapılan ölçümlere göre Ortalama 96,90 μ boyu ve 55,30 μ genişliğe sahip olan bu türün boy/genişlik oranı 1,75 olup, adını elliptik olan görünümünden almıştır.

Değişik kesitlerdeki 10 türden alınan ölçümler Çizelge 8'de verilmiştir.

Çizelge 7. 10 tür üzerinde yapılan ölçümler.
Table 7. Measurements on 10 species.

ZONLAR	Crassicollaria intermedia Zonu										Ort.
Tür no	1	2	3	4	5	6	7	8	9	10	Ort.
Boy (μ)	90	90	95	100	93	83	95	72	92	75	88,50
Genişlik (μ)	75	75	70	75	68	65	55	62	72	65	68,20
Boy/genişlik	1,20	1,20	1,36	1,33	1,37	1,28	1,73	1,16	1,28	1,15	1,30
ZONLAR	Calpionella alpina Zonu										Ort.
Tür no	1	2	3	4	5	6	7	8	9	10	Ort.
Boy (μ)	40	45	48	46	45	47	41	47	50	44	45,30
Genişlik (μ)	35	36	45	42	41	44	36	46	45	38	40,80
Boy/genişlik	1,14	1,25	1,07	1,10	1,10	1,07	1,14	1,02	1,11	1,16	1,30
ZONLAR	Calpionella elliptica Zonu başlangıcı										Ort.
Tür no	1	2	3	4	5	6	7	8	9	10	Ort.
Boy (μ)	84	98	88	95	94	95	100	80	84	82	90,00
Genişlik (μ)	52	58	55	54	56	55	55	50	54	50	53,90
Boy/genişlik	1,61	1,69	1,60	1,76	1,68	1,73	1,82	1,60	1,56	1,64	1,67

Çizelge 8. 10 tür üzerinde yapılan ölçümler.

Table 8. Measurements on 10 species.

Tür no	1	2	3	4	5	6	7	8	9	10	Ort.
Boy (μ)	94	86	98	102	92	98	95	100	102	102	96,90
Genişlik (μ)	54	48	56	58	52	56	56	58	57	58	55,30
Boy/genişlik	1,74	1,79	1,75	1,76	1,77	1,75	1,70	1,72	1,79	1,76	1,75

Ayırtman Özellikler: Bu tür, elliptik bir lorikaya sahip olmasınayla *Calpionella alpina Lorenz*'dan ayrılır. Yükseklik/Genişlik oranı genelde, 1,50'nin üzerindedir. Ancak, oblik kesitlerde *Calpionella alpina Lorenz* ile *Calpionella elliptica Cadisch* arasındaki ara formlardan ayırtedilmesi oldukça güçtür.

Stratigrafik Düzey: *Calpionella elliptica Cadisch*, Erken Berriyasiyen'de ortaya çıkar ve kendi adıyla anılan *Calpionella elliptica* Zonu boyunca devam ederek, Geç Berriyasiyen başlarında yok olur.

Cins : Remaniella Catalano, 1965

Tür: Remaniella cadischiana (Colom), 1948
(Levh II, Şekil 7-9)

1948 *Tintinnopsella cadischiana* Colom, p.247, pl. XXXIII, fig. 17

1956 *Tintinnopsella ricotensis* (Colom), Colom, vol. 67, p.11-64

1970 *Tintinnopsella cadischiana* (Colom), Fares & Lasnier p. II, fig. 5

1979 *Remaniella cadischiana* (Colom), Allemann & Remane, p. VIII, fig. 4,11

1986 *Remaniella cadischiana* (Colom), Remane, p. 18, 19

1991 *Remaniella cadischiana* (Colom), Tunç, IV. III, şek.7

1992 *Remaniella cadischiana* (Colom), Tunç, IV. II, şek. 6

1993 *Remaniella cadischiana* (Colom), Özkan, p.130.

1998 *Remaniella cadischiana* (Colom), Akyazı, IV. I, şek. 15, 16.

Tanım : Değişik düzeylerdeki 10 türden alınan ölçümlere göre; ortalama boyu 126 μ, genişliği 84 μ ve boy/genişlik oranı 1,50 olan bu tür, silindirik-çan biçimine kadar değişen bir lorikaya sahiptir. Verev olarak duvarlar Üzerine yerleşmiş, fakat duvarlardan açık bir şekilde ayrı duran yakalara sahiptir. İç ve dış olmak üzere iki parçadan oluşan yakaların dış parçası, genelde yarımay şeklinde ve kabuk duvarıyla yaklaşık 45° lik açı yapar. İç parça, silindirik formlarda duvara paralel, çan biçimli formlarda ise; duvara yaklaşık 45° lik açı yapacak şekildedir. Bazı türlerde ise; bu iki parça birleşmiş durumda olup, uçları yukarı doğru konkav bir yay şeklinde gözlenirler.

Değişik düzeylerde saptanan 10 türden alınan ölçümler Çizelge 9'da verilmiştir.

Ayırtman Özellikler: Bu türün en önemli ayırtman özelliği, verev bir şekilde duvar üzerinde ve duvardan ayrı bir şekilde yeralan yakalarıdır. Yakaları iyi korunmamış olan formları,

Çizelge 9. 10 tür üzerinde yapılan ölçümler.

Table 9. Measurements on 10 species.

Tür no	1	2	3	4	5	6	7	8	9	10	Ort.
Boy (μ)	120	100	122	130	141	135	145	125	120	122	126,00
Genişlik (μ)	82	70	82	85	88	90	95	82	81	85	84,00
Boy/genişlik	1,46	1,43	1,49	1,53	1,60	1,50	1,53	1,52	1,46	1,44	1,50

Remaniella murgeanui (Pop)'den ayırmak oldukça zordur.

Stratigrafik Düzey: *Calpionella alpina* Zonu'nun üst kısmında ortaya çıkar ve Erken Valanjiniyen başında yok olurlar.

Tür: *Remaniella ferasini* (Catalano), 1965 (Levhı III, Şekil 2)

1965 *Remaniella ferasini* (Catalano), p.468, pl. V, fig. 4.

1970 *Remaniella ferasini* (Catalano), Catalano & Liguari, pl. III, fig. 1-5.

1991 *Remaniella ferasini* (Catalano), Tunç, IV. III, sek. 6

Tanım : Bu tür, aboral kısmı oldukça oval, küçük ve kalın bir kabuğa sahip olup, değişik düzeylerdeki 10 türden alınan ölçümlere göre; ortalama boyu 70 μ genişliği ise 50 μ dur (Çizelge 10). Yakalar, duvarların üzerinde ve onlardan ayrı bir durumda, uzunlamasına bir konumdadır. Bu yakalar birbirlerine bitişik üçgen biçimdeki iki parçadan oluşursa da, genellikle dışındaki parça korunamadığından düşmekte, bundan dolayı yalnızca içteki parça görülmektedir.

Ayırtman Özellikleri : Bu tür, oval, küçük ve kalın duvarlı lorikasıyla *Remaniella* cinsine ait diğer türlerden kolaylıkla ayırtedilir.

Stratigrafik Düzey: Tüm *Remaniella*'ların ve dolayısıyla tüm *Calpionellites*'lerin atası olan bu tür *Calpionella alpina* Zonu'nun ortalarına yakın bir düzeye ortaya çıkar ve bu zonun sonuna doğru yok olurlar.

Tür : *Remaniella murgeanui* (Pop), 1974 (Levhı III, Şekil 1)

1963 *Calpionellites dadayi* Knauer & Nagy, pl. I, fig. 4.

1974 *Calpionellites murgeanui* Pop, pl. XVIII, fig. 105-107.

1979 *Remaniella murgeanui* (Pop), Allemann & Remane, pl. VIII, fig. 8-9.

1986 *Remaniella murgeanui* (Pop), Remane, pl. 18-20.

1991 *Remaniella murgeanui* (Pop), Tunç, IV. III, sek. 8

1993 *Remaniella murgeanui* (Pop), Özkan, p.18.

1998 *Remaniella murgeanui* (Pop), Akyazı, IV. II, sek. 1.

Tanım: *Remaniella cadischiana* (Colom) ile *Calpionellites darderi* Colom, türleri arasında bir geçiş türü olarak kabul edilen bu tür, çan biçiminde bir kabuğa sahiptir. Son derece değişken bir yakaya sahip olan bu türün yakası, iki parçadan oluşmuş olup, içteki yakası kabuk duvarına bağlıdır.

Değişik stratigrafik düzeylerdeki 10 türden alınan ölçümlere göre bu türün, ortalama boyu 137,50 μ , genişliği 79,50 μ ve boy/genişlik oranı 1,73 tür. Ölçümler Çizelge 11'de verilmiştir.

Ayırtman Özellikleri: Bu türün yakaları iyi korunmamış olan formları, *Remaniella cadischiana* (Colom)'nın tipik olmayan türleri ile karşılaştırılabilir.

Stratigrafik Düzey: Geç Berriyasiyen'de ortaya çıkan bu tür, Valanjiniyen'de de devam eder. *Calpionellites darderi* Colom ile kısa süre göründükten sonra, *Calpionellites darderi* Zon'u ortalarında yok olurlar (Çizelge 1).

Cins : *Calpionellopsis*, Colom, 1948

Tür : *Calpionellopsis simplex* (Colom), 1939 (Levhı III Şekil 3).

1939 *Calpionella simplex* Colom, pl. II, fig. 11; pl. III, fig. 6-9.

1948 *Calpionellopsis simplex* (Colom), Colom, abb. 11, nr. 10, p.243.

1970 *Calpionellopsis simplex* (Colom), Fares & Lasnier, pl. I, fig. 11.

1979 *Calpionellopsis simplex* (Colom), Allemann & Remane, pl. VIII, fig. 2.

1986 *Calpionellopsis simplex* (Colom), Remane, pl. XVIII, fig. 9-10.

1991 *Calpionellopsis simplex* (Colom), Tunç, IV. IV, sek. 2

1992 *Calpionellopsis simplex* (Colom), Tunç, IV. I, sek. 2,10.

Çizelge 10. 10 tür üzerinde yapılan ölçümeler.

Table 10. Measurements on 10 species.

Tür no	1	2	3	4	5	6	7	8	9	10	Ort.
Boy (μ)	70	75	80	65	65	64	63	65	75	78	70,00
Genişlik (μ)	48	52	50	50	45	48	45	52	55	55	50,00
Boy/genişlik	1,46	1,44	1,60	1,30	1,44	1,33	1,40	1,25	1,36	1,42	1,40

Çizelge 11. 10 tür üzerinde yapılan ölçümeler.

Table 11. Measurements on 10 species.

Tür no	1	2	3	4	5	6	7	8	9	10	Ort.
Boy (μ)	150	155	145	125	115	125	130	135	145	150	137,50
Genişlik (μ)	80	85	80	80	70	75	75	80	85	85	79,50
Boy/genişlik	1,88	1,82	1,81	1,56	1,64	1,67	1,73	1,69	1,70	1,76	1,73

1993 *Calpionellopsis simplex* (Colom), Özkan, p.130.

1998 *Calpionellopsis simplex* (Colom), Akyazı, İv. II, sek. 2.

Tanım: Bu tür, aboral kısmı oldukça oval, geniş, silindirik bir lorika ile, duvarların uzantısı şeklinde olan ve onların üzerine hafif ayrık bir şekilde yer alan yakaları ile karakteristikdir. Ağız lorika ile hemen hemen eşit çaptadır. Değişik stratigrafik düzeylerden alınan 10 tür üzerinde yapılan ölçümlere göre; bu türün boyu, ortalama 117,10 μ , genişliği, ortalama 69,50 μ , boy / genişlik oranı ise; 1,68 olarak bulunmuştur (Çizelge 12).

Ayırtman Özellikler: Bu tür, yükseklik/ genişlik oranının küçük olması, aboral kısmının silindirik bir lorikaya sahip olması ve yan duvarların oral bölgede hafifçe içe doğru büükümesiyle *Calpionellopsis oblonga Cadisch*'dan ayrılır.

Stratigrafik Düzey: *Calpionellopsis oblonga Cadisch* kadar bol görünen bir tür değildir. *Calpionellopsis simplex* - *Calpionellopsis oblonga* Zonu'nun başlarında ortaya çıkar ve aynı zonun sonuna varmadan yok olurlar.

Tür : *Calpionellopsis oblonga Cadisch*, 1932
(Levhacı III, Şekil 4-6)

1932 *Calpionellopsis oblonga Cadisch*, Abb. 3, Nr. 20.

1963 *Calpionellopsis oblonga Cadisch*, Knauer & Nagy, pl. I, fig. 1,2,7-9.

1970 *Calpionellopsis oblonga Cadisch*, Fares & Lasnier, pl. II, fig. 4.

1979 *Calpionellopsis oblonga Cadisch*, Allemann & Remane, pl. VIII, fig. 3, 5-7.

1986 *Calpionellopsis oblonga Cadisch*, Remane, pl. XVIII, fig. 7-8.

1991 *Calpionellopsis oblonga Cadisch*, Tunç, İv. IV, sek. 9

1992 *Calpionellopsis oblonga Cadisch*, Tunç, İv. II, sek. 11.

1993 *Calpionellopsis oblonga Cadisch*, Özkan, p.130.

1998 *Calpionellopsis oblonga Cadisch*, Akyazı, İv. II, sek. 3.

Tanım : Değişik stratigrafik düzeylerden alınan 10 tür üzerinde yapılan ölçümlere göre; 99,00 μ boyu ve 49,20 μ genişliğe sahip olan bu türün, boy / genişlik oranı 2,35 dir. Aboral kısmı *Calpionellopsis simplex* (Colom)'e göre daha sıvri olan bu türün, duvarları az çok birbirine paralel olup, oral kısma doğru hafifçe daralmaktadır. Ağız düz olup, aboral kutup sıvırılmıştır. Yakalar duvarların üzerinde, onlardan ayrı dikdörtgen şeklinde olup, lorikadan ayrı sönme gösterirler.

Değişik stratigrafik düzeylerde saptanan, 10 türden alınan ölçüler Çizelge 13'de verilmiştir.

Ayırtman Özellikler: Bu tür, lorikanın daha uzun oluşuyla (Boy/genişlik oranı, 2,35) ayrıca aboral kutbunun sıvri ve ağızının düz oluşuyla, *Calpionellopsis simplex* (Colom)'den ayrılır.

Stratigrafik Düzey: *Calpionellopsis simplex* (Colom)'in ortaya çıkışından hemen sonra ortaya çıkar, Erken Valanjiniyen başlarında bir müddet göründükten sonra yok olur (Çizelge 1).

Cins : *Calpionellites* Colom, 1948

Tür : *Calpionellites darderi* (Colom), 1934
(Levhacı III, Şekil 7-9)

1934 *Calpionella darderi* Colom, pl. XXXI, fig. 3.

1970 *Calpionellites darderi* (Colom), Fares & Lasnier, pl. I, fig. 12.

Çizelge 12. 10 tür üzerinde yapılan ölçümler.

Table 12. Measurements on 10 species.

Tür no	1	2	3	4	5	6	7	8	9	10	Ort.
Boy (μ)	125	110	116	110	125	123	115	112	115	120	117,10
Genişlik (μ)	72	70	65	66	72	70	70	65	70	75	69,50
Boy/genişlik	1,74	1,57	1,78	1,67	1,74	1,76	1,64	1,72	1,64	1,80	1,68

Çizelge 13. 10 tür üzerinde yapılan ölçümler.

Table 13. Measurements on 10 species.

Tür no	1	2	3	4	5	6	7	8	9	10	Ort.
Boy (μ)	92	124	95	102	100	98	90	96	95	98	99,00
Genişlik (μ)	41	52	42	45	43	42	35	40	40	42	49,20
Boy/genişlik	2,24	2,38	2,26	2,27	2,32	2,33	2,57	2,40	2,38	2,33	2,35

1979 *Calpionellites darderi* (Colom), Allemann & Remane, pl. VIII, fig. 10, 14, 15.

1986 *Calpionellites darderi* (Colom), Remane, pl. XVIII, fig. 5, 6

1986 *Calpionellites darderi* (Colom), Özkan, p. 18.

1998 *Calpionellites darderi* (Colom), Akyazı, IV, II, sek. 5, 6.

Tanım : En karakteristik özellikleri, oral tarafta duvarların değişimelen açılar oluşturacak şekilde (yaklaşık 45°) içe doğru sapmaları sonucu oluşan bir ağıza sahip olmalarıdır. Değişik stratigrafik düzeylerde saptanan 10 türün ölçümleme göre; 103,50 μ boyaya ve 85 μ genişliğe sahip olan bu türün yakaları, genelde huni biçiminde olup, ağıza içten bağlıdır. Tipik bir tür, çan biçiminde olup, silindirik loricaklı ve küçük yakalı iki formlarında mevcuttur.

Değişik stratigrafik düzeylerde saptanan 10 türün ölçümleri Çizelge 14'de verilmiştir.

Ayrıman Özellikleri : Bu tür, simetrik "Y" şeklinde yakasıyla tüm diğer türlerden kolayca ayılır.

Stratigrafik Düzey : Bu form kendi adıyla anılan, *Calpionellites darderi* Zonu boyunca gözlenir.

V. STRATİGRAFİK DAĞILIM

Çalışmada tanımlanan *Calpionellid*'lerin stratigrafik dağılımları şöyledir; Çalışma sahada Crassicollaria intermedia zonunun alt düzeyleri gözlenmemiştir. Gözlenen bölüm bu zonun üst düzeyleridir. Burada, ilk kez ortaya çıkan Calpionel olan *Tintiopsis carpatica* (Murgeanui & Filipescu)'nın ince duvarlı küçük formları ile birlikte tüm Crassicollaria türleri bir aradadır. Bunlardan yalnızca, Crassicollaria

intermedia (Durand Delga) *Calpionella alpina* zonuna geçemez (Çizelge 1). *Crassicollaria brevis* Remane, *Calpionella alpina* zonunun başlarına kadar, *Crassicollaria parvula* Remane ise *Calpionella elliptica* zonunun en alt düzeye rine kadar gözlenir. *Crassicollaria massituniana* (Colom) da, *crassicollaria intermedia* zonunun sonlarında ortaya çıkar, bu zonda aralıklı olarak devam eder ve *Calpionella alpina* zonunun başlarında yok olur. *Tintiopsis carpatica* (Murgeanui & Filipescu) hemen hemen tüm çalışmarda olduğu gibi *Calpionella alpina* zonuna geçildiğinde duvarları kalınlaşır ve evcikleri büyür. *Calpionella elliptica* zonundan sonra da tipik formuna kavuşur ve sona dek değişmez. *Calpionella alpina* Lorenz, tipik formundan daha ince duvarlı ve daha uzun evcikli olan şekliyle *Crassicollaria intermedia* zonunun sonlarında ortaya çıkar. *Calpionella alpina* zonuya birlikte hem tipik formunu kazanır hem de çok baskın durumdadır. *Calpionella elliptica* zonunun başlarından itibaren hem azalmaya hem de küçülüp duvarları incelmeye başlar ve *Calpionellopsis simplex* - *Calpionellopsis oblonga* zonunun başlarında da yok olur (Çizelge 1). *Remaniella* cinsinin en ilkel, en küçük ve en kısa ömürlü türü olan *Remaniella ferasini* (Catalano) *Calpionella alpina* zonunun ortalarında ortaya çıkar ve aralıklı olarak zonun sonlarına dek gözlenir (Çizelge 1). Bu türün evrimi sonucu oluşan ve ondan kısa bir süre sonra ortaya çıkan *Remaniella cadischiana* (Colom), *Calpionellopsis simplex* - *Calpionellopsis oblonga* zonunda da devam ederek, *Calpionellites darderi* zonunun ortalarında yok olur. (Çizelge 1). *Calpionella elliptica* Cadisch, *Calpionella alpina* zonu sonlarına doğru ortaya çıkar, kendi adıyla anılan zonda devam eder, *Calpionellopsis simplex* - *Calpionellopsis oblonga* zonunun alt düzeyinde oldukça baskın

Çizelge 14. 10 tür üzerinde yapılan ölçümler.

Table 14. Measurements on 10 species.

Tür no	1	2	3	4	5	6	7	8	9	10	Ort.
Boy (μ)	96	95	97	98	117	115	115	110	98	94	103,50
Genişlik (μ)	80	80	82	85	94	92	88	95	76	78	85,00
Boy/genişlik	1,20	1,19	1,18	1,15	1,24	1,25	1,31	1,16	1,29	1,20	1,22

duruma gelirler ve bu zonunun ortalarında yok olurlar (Çizelge 1). *Calpionellopsis* türlerinden *Calpionellopsis simplex* (Colom) kendi adlarıyla anılan zonun başında, *Calpionellopsis oblonga* (Cadiisch) da hemen sonra ortaya çıkarlar ve zonun sonuna dek gözlenirler. Ancak, *Calpionellopsis oblonga* (Cadiisch) diğerine göre çok daha baskın olarak gözlenir (Çizelge 1). *Calpionellites darderi* (Colom), kendi adıyla anılan *Calpionellites darderi* Zonunda seyrek olarak gözlenirler (Çizelge 1).

VI. BİYOSTRATİGRAFİ

Yurdumuzun ve dünyanın birçok yöresinde Jura-Kretase geçisi, tortullaşmanın devamlı oluşu nedeniyle litolojik olarak ayıredilememektedir. Titoniyen katının bir ürünü olan ve "Titoni Fasiyes" olarak tanımlanan, ince tabakalı pelajik kireçtaşları içerisinde bol olarak bulunan Calpionellidler, Tetis provensi içerisinde, çok geniş coğrafik yayılıma sahip olmaları ve Geç Titoniyen-Berriasyen zaman aralığındaki herhangi bir mikro veya nannofosil gruplarından daha kararlı olmaları nedeniyle çok önemlidirler. Tetis provensi içerisinde yer alan Türkiye'de, Tunç, 1979, 1991 (Ankara); Tunç, 1980 (Bolu); Önal ve diğ., 1988; Koçyiğit ve diğ., 1991; Altiner ve Özkan, 1991; Altiner ve diğ., 1993; Özkan, 1993; Mekik ve Diğ., 1998 (KB Anadolu); Tunç, 1992a-b (Erzurum); Burşuk, 1981, 1992; Tunç ve Akyazı, 2000 (Bayburt); Akyazı, 1996; Akyazı ve Özgen, 1996; Akyazı ve Tunç, 1998 (İlgaz) Calpionellid biyostratigrafisine yönelik olarak yapılan çalışmalar, oldukça önemli ve dikkat çekicidir.

Bu çalışmada, bölge stratigrafisinde ve gümüş yataklarının oluşum yaşı ve jenezinin aydınlatılmasına çok önemli yeri olan Jura/Kretase yaşı Titoni Fasiyesteki birimlerin calpionel biyostratigrafisine yönelik çalışmalar yapılmıştır. Ayrıca saptanın calpionel biyozonları'nın, daha önce Kuzey Anadolu'da yapılmış benzer çalışmalarla (Çizelge 15) tanımlanmış Calpionel Biyozonları ile karşılaştırılması yapılarak, Türkiye'de ve Dünyada yapılan Calpionel biyostratigrafisine yönelik çalışmalarla bir yenisini ekleyerek katkı koymaya çalışılmıştır.

Çalışma sahasında, Geç Titoniyen-Erken Valanjiniyen yaşı, sarımsı-gri yer yer koyu kahverengi renkli, ince tabakalı, titonik fasiyeste gelişmiş calpionelli ve radiolariali biyomikritik mikro-biyofasiyes özellikli kireçtaşları üzerinde yapılan biyostratigrafik incelemelerden elde edilen veriler ışığında, serinin 162 m kalınlıkta olduğu saptanmış ve bu kireçtaşları içerisinde 5 adet Calpionel biyozonu ayırtlanmıştır.

VI.1. Crassicollaria intermedia Biyozonu

Tanım: *Crassicollaria intermedia* (Durand Delga)'nın yaşam sürecinde oluşmuş kayaçlar

Türü: Menzil Zonu

Zonu Tanımlayan : Catalano & Liguari (1970)

Kalınlık: 31-40 m

Stratigrafik düzey: Geç Titoniyen.

Fosil topluluğu: *Tintinnopsella carpathica* (Murgeanui & Filipescu), *Crassicollaria intermedia* (Durand Delga), *Crassicollaria parvula* Remane, *Crassicollaria brevis* Remane, *Crassicollaria massutiniana* (Colom) ve *Calpionella alpina* Lorenz.

Karşılaştırma: Burşuk (1992), Mekik ve diğ., (1998), Akyazı ve Tunç (1998) tarafından tanımlanan *Crassicollaria intermedia* zonuna, Tunç ve Akyazı (2000) tarafından tanımlanan *Crassicollaria intermedia* zonunun üst ve *Calpionella alpina* zonunun alt düzeylerine karşılık gelen bu biyozon, 1970 Roma Standart Zonları'ndan "Crassicollaria" Zonuna karşılıktır.

Tanımlanan bu zonun tabanı, çok küçük boyutlu olan ve yakaları genellikle kaybolmuş *Tintinnopsella carpathica* (Murgeanui & Filipescu) ile *Crassicollaria intermedia* (Durand Delga)'nın ortaya çıktığı döneme karşılık gelmektedir. Üste doğru *Crassicollaria intermedia* (Durand Delga)'nın sayısal artışı göze çarpmaktadır. Daha sonra ise; iri boyutlu *Calpionella alpina* Lorenz'nın ortaya çıktığı ve çoğaldığı gözlenmektedir. Zonun üst kısımlarında ise, *Crassicollaria brevis* Remane, *Crassicollaria parvula* Remane ve *Crassicollaria massutiniana* (Colom)'nın ortaya çıktıları ve baskın duruma geçikleri gözlenir ve zonun üst sınırında ise, *Crassicollaria intermedia* (Durand Delga) aniden yok olur (Çizelge 1).

Gizelge 15. Türkiye'de tanımlanmış Calpionel biyozonlarının karşılıklaştırılması
Table 15. Correlation of the Calpionel biozones determined in Turkey.

VI.2. *Calpionella alpina* Biyozonu

Tanım : *Crassicollaria intermedia* (Durand Delga)'nin yok oluşuyla, *Calpionella elliptica Cadisch'*ın ortaya çıkışı arasındaki süreçte oluşan kayaçlarla temsil edilip, aynı zamanda küçük boyutlu, sferik *Calpionella alpina Lorenz*'ların ortaya çıkışının ve maksimum bolluğa ulaşması ile karakteristiktedir.

Türü : Aşamalı menzil zonu veya bolluk Zonu.

Zonu Tanımlayan : Catalano & Ligueri (1970)

Kalınlık : 25-40 m

Stratigrafik düzey : Erken Berriyasiyen'in altı

Fosil topluluğu : *Calpionella alpina Lorenz*, *Crassicollaria parvula Remane*, *Tintinnopsella carpathica (Murgeanui & Filipescu)*, zonun üst kısımlarında çok bol olmayan oranda saptanan *Remaniella cadischiana (Colom)* ve *Remaniella ferasini (Catalano)*dir.

Karşılaştırma : Biyozon, Roma Standart Zonları'ndan *Calpionella* Zonu'nun alt bölümune karşılık gelmektedir. Burşuk (1992), Akyazı ve Tunç (1998) tarafından tanımlanan *Calpionella alpina* zonuna karşılık gelen bu zon, Tunç (1980, 1991) *Calpionella elliptica* zonunun ve Mekik ve diğ., (1998) *Calpionella B* zonunun alt düzeylerine, Tunç ve Akyazı (2000) *Calpionella alpina* zonunun ise üst düzeylerine karşılık gelmektedir (Çizelge 15).

VI.3. *Calpionella elliptica* Biyozonu

Tanım : *Calpionella elliptica Cadisch'*ın ortaya çıkışıyla, *Calpionella simplex (Colom)*'in ortaya çıkışı arasındaki süreçte oluşan kayaçlarla temsil edilir.

Türü: Aşamalı menzil Zonu

Zonu Tanımlayan : Catalano & Ligueri (1970)

Kalınlık : 25-34 m

Stratigrafik Düzey : Erken Berriyasiyen' in üstü

Fosil topluluğu : *Tintinnopsella carpathica (Murgeanui & Filipescu)*, *Crassicollaria parvula Remane*, *Calpionella alpina Lorenz*, *Calpionella elliptica Cadisch* ve *Remaniella cadischiana (Colom)*.

Karşılaştırma : Roma Standart Zonları'ndan *Calpionella* Zonu üst düzeylerine ve Burşuk (1992), Akyazı ve Tunç (1998), Tunç ve Akyazı (2000) *Calpionella elliptica* zonuna karşılık gelen bu zon, Tunç (1980, 91) *Calpionella elliptica* zonunun, Mekik ve diğ., (1998) *Calpionella B* zonunun est düzeylerine karşılık gelmektedir (Çizelge 15).

VI.4. *Calpionellopsis simplex* - *Calpionellopsis oblonga* Biyozonu

Tanım : *Calpionellopsis simplex (Colom)*'in ortaya çıkışıyla *Calpionellites darderi (Colom)*'nin

ortaya çıkışı arasındaki süreçte oluşan kayaçlarla temsil edilir.

Türü : Aşamalı menzil Zonu.

Zonu Tanımlayan : Catalano & Ligueri (1970)

Kalınlık : 24-32 m

Stratigrafik Düzey : Geç Berriyasiyen

Fosil topluluğu: *Tintinnopsella carpathica (Murgeanui & Filipescu)*, *Calpionella alpina Lorenz*, *Remaniella cadischiana (Colom)*, *Remaniella murgeanui (Pop)*, *Calpionellopsis simplex (Colom)*, *Calpionellopsis oblonga (Cadisch)* ve zonun tabanında az sayıda *Calpionella elliptica Cadisch*.

Karşılaştırma : Roma Standart Zonları'ndan *Calpionellopsis* Zonu'nun Valanjiniyen'e kadar olan bölümne karşılık gelen bu biyozon, Burşuk (1992), Tunç (1980, 91), Akyazı ve Tunç (1998) tarafından tanımlanan *Calpionellopsis simplex-Calpionellopsis oblonga* biyozonu'na karşılık gelmektedir (Çizelge 15).

VI.5. *Calpionellites darderi* Biyozonu

Tanım : *Calpionellites darderi (Colom)*'nin ortaya çıkışı ile tüm fosil Calpionellerin yok oluşu arasındaki süreçte oluşan kayaçlarla temsil edilir.

Türü: Aşamalı menzil zonu

Zonu Tanımlayan : Catalano & Ligueri (1970)

Kalınlık : 21-25 m.

Stratigrafik Düzey : Erken Valanjiniyen

Fosil topluluğu : *Calpionellites darderi (Colom)*, *Tintinnopsella carpathica (Murgeanui & Filipescu)*, *Remaniella cadischiana (Colom)* ve *Remaniella murgeanui (Pop)* ve *Calpionellopsis oblonga (Cadisch)*.

Karşılaştırma : Üst sınırı, Roma Standart Zonları'ndan *Calpionellites* Zonu'na, Tunç (1980, 91), Akyazı ve Tunç (1998) tarafından tanımlanan *Calpionellites darderi* biyozonuna karşılık gelen bu biyozon, Burşuk (1992) tarafından tanımlanan *Calpionellites darderi* zonunun alt düzeylerine karşılık gelmektedir (Çizelge 15).

VII. SONUÇLAR

Bu çalışmada ulaşılan başlıca sonuçlar şunlardır:

- Üst Titonyen-Alt Valanjiniyen yaşı Titonik fasyeste oluşmuş kireçtaşlarından 4 adet ölçülü stratigrafi kesiti alınarak, 109 örnek derlenmiş ve bu örneklerden elde edilen ince kesitler üzerinde yapılan detaylı biyostratigrafik çalışmalar sonucunda; Toplam, 6 Calpionel cinsi ve bu cinslere ait 13 tür saptanarak tanımlanmış ve sistematikleri yapılmıştır. Ayrıca bu türlerin sayısal bollukları ve stratigrafik dağılım-

ları çok sayıda örnek üzerinde detaylı olarak incelenmiş ve ortaya çıkarılmıştır.

2. Titonik fasiyeste gelişmiş, Üst Titoniyen-Alt Valanjiniyen yaşı birim içerisinde, **Crassicollaria intermedia**, **Calpionella alpina**, **Calpionella elliptica**, **Calpionellopsis simplex-Calpionellopsis oblonga** ve **Calpionellites darderi** olmak üzere, 5 adet Calpionel biyozonu ayırtlanmıştır.

3. Saptanan bu biyozontlar, Türkiye'de ve Dünya'da daha önce yapılan benzer çalışmaların biyozonlarla karşılaştırılarak yorumlanmıştır.

YARARLANILAN KAYNAKLAR

- Akyazı, M., 1996. İlgaç yörenesindeki Üst Jura-Alt Kretase yaşı kireçtaşlarının stratigrafisi ve paleontolojisi. Doktora tezi, 264 s. (yayınlanmamış).
- Akyazı, M. ve Tunç, M., 1998. Sarialan formasyonunun (İlgaz-Çankırı) Tanımlanması. T.J.K. Bülteni, 41/2, 79-93.
- Akyazı, M. and Özgen, N., 1996. An example of determination of Jurassic / Cretaceous boundary with Calpionellids from Turkey : İlgaz Mountains (Çankırı): "The Role of Impact Process in the Geological and Biological Evolution of Planet Earth" International Workshop, Abstracts, p.16, Postojna- Slovenia.
- Akyazı, M. ve Tunç, M. 1998. Sarialan formasyonunun (İlgaz-Çankırı) Tanımlanması. T.J.K. Bülteni 41/2, 79-93.
- Allemann, F., Remane, J., 1979. In: Busnardo, Thieuloy, Moullade, et.all.
- Alp, D., 1972. Amasya yörenesinin jeolojisi. İ.Ü. Fen Fakültesi Monografileri, 100s.
- Altiner, D. ve Özkan, S., 1991. Calpionellid zonation in north-western Anatolia (Turkey) and calibration of the stratigraphic ranges of same benthic foraminifera at the Jurassic-Cretaceous boundary. Geol. Ram.27, 215-235, Rom.
- Altiner, D., Koçyiğit, A., Farinacci, a., Nicossia, U, ve Conti, M.A., 1991. Jurassic Lower Cretaceous stratigraphy and paleogeographic evalution of the southern part of North-Western Anatolia (Turkey). Geology and Paleontology of Western Pontides. Turkey Edts. Fariecci, A., Ager, D.V. and Nicossia, U.), Geologica Romana, V. XXVII, p.13-80.
- Altınlı, I. E., 1973. Bilecik Jurassiği. Cumhuriyetin 50. yılı yerbilimleri kongresi Tebliğleri, MTA, 103-112.

Avşar, N., 1991. Terziköy (Amasya) Yörenesinde Bulunan Bazı Nummulites türlerinin Sistematis İncelemesi : Yerbilimleri (Geosound), 18, 111-126.

Ayhan, A., 1973. Samsun ili Vezirköprü kazasının batı ve güneyine ait ön rapor. M.T.A. Rap. No: 5116, 26s.

Birgili, Ş., Yoldaş, R. ve Ünalan, G., 1975. Çankırı-Çorum Havzasının Jeolojisi ve Petrol olanakları, M.T.A. Enst. Rap. Derleme no: 5621 (Yayınlanmamış).

Blumenthal, M., 1950. Orta ve Aşağı Yeşilirmak bölgelerinin (Tokat, Amasya, Havza, Erbaa, Niksar) jeolojisi hakkında. M.T.A. Enst. yayınlarından, Seri D, No: 4. Ankara.

Burşuk, A., 1981. Aşkale-Bayburt yörenesinde (KB Erzurum) Calpionellid Biyozonları. K.T.U. Yerbil. Derg. C.1, s.21-28.

Burşuk, A., 1992. Bayburt ve Kop Dağları (KB Erzurum) yörenesindeki Calpionellid biyozonları (Üst Jurasik-Alt Kretase), T.J.K. Bült., 35/2, 127-141.

Cadisch, J., 1932. Ein Beitrag zum Calpionellenproblem. Geol. Rdsch., 23, 241-57.

Catalano, R. ve Liguori, V., 1970. Facies a Calpionella della Sicilia occidentale Proc. II. Plankt. Conf., Roma, 1970, 1, 167-210.

Colom, G., 1934. Estudios sobre las Calpionellas. Bol. R.Soc.Esp. Hist. Nat., 34, 379-89.

Colom, G., 1939. Tintinnidos fosiles (Infusorios Oligotrichos). Las Ciencias, 4, 815-25.

Colom, G., 1948, Fossil Tintinnids: Ioricated Infusoria of the order of the Oligotricha.J. Paleontol., 22, 233-63.

Colom, G., Castany, G., Delga, M.D., 1954. Microfaunes pelagique (Calpionelles, Fissuriens) dans le NE de la Berberie. Bull. Soc. Geol. Fr., ser. 6, p.517-534.

Colom, G., 1956. Litofacies y micropaleontología de las formaciones Jurasico-Noecomienenses de la Sierra de Ricote (Murcia). Bol.Inst. Geol. Min.Esp., vol.67, p.11-64.

Coronini, G., 1964. Gümüşhacıköy kurşun yatağı hakkında rapor. M.T.A., Maden Etüd Dairesi Rap. No: 3513.

Didik, S., 1982. Gümüşhacıköy (Amasya) yörenesinin jeolojisi ve petrol olanakları. M.T.A. Derleme Rap. No: 8122 (Yayınlanmamış).

Durand-Delga, M., 1957. Une nouvelle forme de Calpionelles. Publ. Serv. Carte Geol. Algérie, nouv. sér., Bull. no. 13, trav. Collab.1956, pp. 165-168.

- Fares, F. and Lasnier, J., 1970. Les Tintinoidens fossilesleur position stratigraphique et leur répartition en Algérie du Nord. Sec. Micropal. Conf. Rome, p.539-553.
- Genç, Ş., Kurt, Z., Küçümen, Ö., Cevher, F., Saraç, G., Acar, Ş., Bilgi, C., Şenay, M. ve Poyraz, N., 1991. Merzifon (Amasya) dolayının jeolojisi. M.T.A. Rap. No: 61. 57s.
- Gökçe, A., 1983. Turhal antimон yataklarının maden jeolojisi. Doktora Tezi. Hacettepe Üniversitesi, Jeoloji Mühendisliği Bölümü, Ankara, 150 s (yayınlanmamış).
- Görür, N., Şengör, A.M.C., Akkök, R., Yılmaz, Y., 1983. Pontid'lerde Neo-Tethis'in kuzey kolunun açılmasına ilişkin sedimentolojik veriler, T.J.K. Bült., 26/1, 11-20.
- Ketin, I., 1962. 1: 500.000 ölçekli Türkiye Jeoloji Haritası Sinop paftası M.T.A. Enst. Yayınlarından, 111s.
- Knauer, J. and Nagy, I., 1963, Lorenziella nov.gen.uj Calpionellidea nemzettség. Lorenziella nov. gen. nouveau genre des Calpionellidés. Foldt. Int. Evi. Jel., 1961, 143-53.
- Koçyiğit, A., Altiner, D., Farinacci, A., Nicosia, Conti, M.A., 1991. Late Triassic- Aption Evolution of the Sakarya divergent inargin: Implication for the opening history of the Northern Neo-Tethys, in North-Western Anatolia, Turkey. Gologicia Rom. V.27, p.1-19.
- Kovenko, V., 1937. Gümüşhacıköy maden ocağı hakkında rapor. M.T.A. Rap. No: 397.
- Lorenz, T. H., 1902. Geologische Studien im Grenzgebiet zwischen helvetischer und ostalpiner Fazies. II. Der südliche Rhatikon. Ber natf.Ges. Freiburg/Br., 12, 35-95.
- Mekik A. F., Yi Ling, H., Altiner, Ö. S. ve Altiner, D., 1998. Preliminary Radiolarian Biostratigraphy across the Jurassic-Cretaceous boundary from Northwestern Turkey. Geodiversitas, Publications Scientifiques du Muséum National d'Historie Naturelle, Paris (in publish).
- Murgeanui, G. and Filipescu, M.G., 1933. Calpionella carpathica n.sp. dans les Carpathes roumaines. Notat.Biol., 1, 63-4.
- Önal, M., Helvacı, C., İnci, U., Yağmurlu, F., Meriç, E. ve Tansel, İ., 1988. Çayırhan, Kuzeybatı Ankara Kuzeyindeki Soğukçam Kireçtaşı ve Kızılıçay Grubu'nun Stratigrafisi, Yaşı, Fasiyesi ve De-
- polanma Ortamları. TPJD Bült., 1/2, 152-163.
- Özkan, S., 1993. Calcereous Nannofossil and Calpionellid Biostratigraphy of the Upper Jurassic-Lower Cretaceous in Northwest Anatolia, Turkey. Thesis submitted for the degree of Ph.D., in the Department of Geological Sciences, February 1993, University College LONDON.
- Pilz, R., 1938. Gümüşhacıköy kurşun yataklarının istikşafına dair projeler hakkında rapor. M.T.A. Rap. No: 414.
- Pop, G., 1974a. Une nouvelle espèce Neocomienne de Calpionellides. Rev. Roumaine Geol. Geophys. Geogr. 18, 105-7.
- Pop, G., 1974b. Les zones de Calpionellides Tithonique-Valanginiennes du sillon de Resita (Carpates meridionales). Rev. Roumaine Geol. Geophys. Geogr. 18, 109-25.
- Remane, J., 1962. Zur Calpionellen-Systematik. Neues Jahrb. Geol. Palaeontol. Monatshefte, 1962, 8-24.
- Remane, J., 1969. Les possibilités actuelles pour une utilisation stratigraphique des calpionelles(Protozoa incertae sedis, Ciliata?). Proc. Ist. Internat. Conf. Plankt. Microfossils, Geneva, 1967, 2, 559-73.
- Remane, J., 1971. Les Calpionelles, protozoaires planctoniques des mers mésogénées de l'époque secondaire. Ann. Guebhard, 47, 1-25.
- REMANE, J., 1986. 12 Calpionelids, Plankton stratigraphy, vol.1, 1032, Cambridge University Press., p.555-572.
- Saner, S., 1980. Batı Pontidlerin ve komşu havzaların oluşumlarının levha tektoniği kuramıyla açıklanması, KB Türkiye, M.T.A. Der., 93/94, 1-20.
- Tokay, M., 1972. Kuzey Anadolu fay zonunun Gerede ile Ilgaz arasındaki kısımda Jeolojik gözlemler. KAF ve Deprem kuşağı simpozyumu. 5, 12-29 Ankara.
- Tunç, M., 1979. Ankara civarında Calpionellid'lerin stratigrafik dağılımları ve Akdeniz Basenine ait diğer çalışmalarla karşılaştırılması. Tübitak VI. Bilim Kongresi, Tebliğler, 71-79.
- Tunç, M., 1980. Çayırhan (Beypazarı) ile Seben (Bolu) arasında kalan ve Aladağçay boyunca olan bölgenin stratigrafisi. A.Ü. Fen Fak. Doktora Tezi, 75 s., (Yayınlanmamış).
- Tunç, M., 1991. Aktaş (Kızılhamam) yörenin pelajik kireçtaşlarından biyostratigrafisi. T.J. Bülteni, 34/2, 27-43.

- Tunç, M., 1991. Aktaş (Kızılhamam) yörenesinin pelajik kireçtaşlarından biyostratigrafisi. T.J. Bülteni, 34/2, 27-43.
- Tunç, M., 1992a. Olur (Erzurum) yörenesindeki Üst Jura-Alt Kretase yaşılı kireçtaşlarının biyostratigrafisi, T.J.K.Bült., 35/1, 121-130.
- Tunç, M., 1992b. Description of a new species of *Crassicollaria* from surrounding Olur (Erzurum-Turkey). Revue de Paléobiologie, 11/2, pp.463-468, Geneve.
- Tunç, M., Akyazı, M., 1999. *Calpioneller*: M.T.A. Eğitim Serileri Dizisi 64 s., Ankara.
- Tunç, M. ve Akyazı, M., 2000. Kop Dağları (KB Erzurum) Yörenesinde yüzeyleyen Üst Jura - Alt Kretase Yaşılı Titonik fasyesteki Kireçtaşlarının Biyostratigrafisi 50. Türkiye Jeoloji Kurultayı, 21-25 Şubat 2000 MTA Genel Müdürlüğü.
- Tüysüz, O., Yiğitbaş, E. ve Serdar H. S., 1990b. Orta Pontidlerde Üst Jura-Alt Kretase stratigrafisi ve anlamı: Türkiye 8. Petrol Kongresi, Bildiriler, TMMOB Petrol Mühendisleri Odası, 351-362.
- Tüysüz, O., Yilmaz, Y., Yiğitbaş, E. ve Serdar H. S., 1990b. Orta Pontidlerde Üst Jura-Alt Kretase stratigrafisi ve anlamı: Türkiye 8. Petrol Kongresi, Bildiriler, TMMOB Petrol Mühendisleri Odası, 340-350.
- Tüysüz, O., 1990. Tectonic evolution of a part of the Tethyside Orogenic Collage: The Kargı Massif, Northern Turkey, Tectonics, 9, 141-160.
- Tüysüz, O., 1993. Karadeniz'den Orta Anadolu'ya bir jeotravers: Kuzey Neo-Tetis'in Tektonik Evrimi: TPJD Bült. 5/1, 1-33.
- Unterhössel, F., 1936. Gümüşhacıköyündeki simli kurşun cevher yataklarının tetciki hakkındaki rapor. M.T.A. Rap. No: 396.
- Tüysüz, O., Yiğitbaş, E. ve Serdar, H. S., 1990a. Orta Pontidlerin erken Mesozoyik

LEVHA I

Tintinnopsisella carpathica (Murgeanui & Filipescu)

Şekil 1. Kilise Tepe ölçülu stratigrafi kesiti (Örnek no 15), x 200

Şekil 2. Çaltepe ölçülu stratigrafi kesiti (Örnek no 12), x 200

Şekil 3. Kırantarla Tepe ölçülu stratigrafi kesiti (Örnek no 22), x 200

Şekil 4. Karlı Tepe ölçülu stratigrafi kesiti (Örnek no 18), x 200

Crassicollaria intermedia (Durand Delga)

Şekil 5. Kırantarla Tepe ölçülu stratigrafi kesiti (Örnek no 07), x 200

Crassicollaria parvula Remane

Şekil 6. Karlı Tepe ölçülu stratigrafi kesiti (Örnek no 18), x 200

Şekil 7. Kırantarla Tepe ölçülu stratigrafi kesiti (Örnek no 18), x 200

Şekil 8. Kilise Tepe ölçülu stratigrafi kesiti (Örnek no 18), x 200

Crassicollaria brevis Remane

Şekil 9. Çaltepe ölçülu stratigrafi kesiti (Örnek no 05), x 200

Crassicollaria massutiniana (Colom)

Şekil 10. Çaltepe ölçülu stratigrafi kesiti (Örnek no 04), x 200

Şekil 11. Kırantarla Tepe ölçülu stratigrafi kesiti (Örnek no 05), x 200

Calpionella alpina Lorenz

Şekil 12. Kilise Tepe ölçülu stratigrafi kesiti (Örnek no 14), x 200

LEVHA I



1



2



3



4



5



6



7



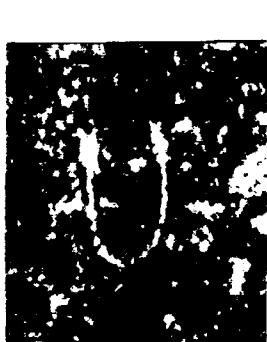
8



9



10



11



12

LEVHA II***Calpionella alpina Lorenz***

- Şekil 1. Çaltepe ölçüülü stratigrafi kesiti (Örnek no 08), x 200
Şekil 2. Kırantarla Tepe ölçüülü stratigrafi kesiti (Örnek no 08), x 200
Şekil 3. Kilise Tepe ölçüülü stratigrafi kesiti (Örnek no 07), x 200
Şekil 4. Karlı Tepe ölçüülü stratigrafi kesiti (Örnek no 20), x 200

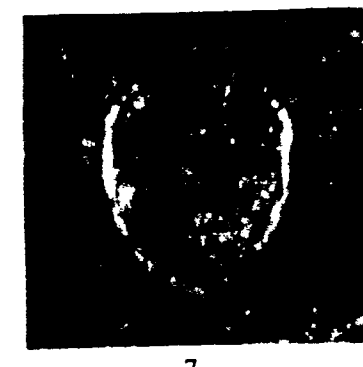
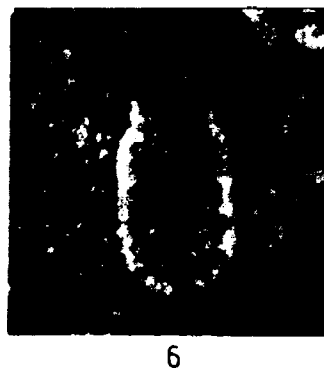
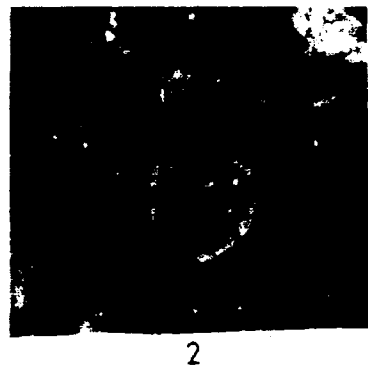
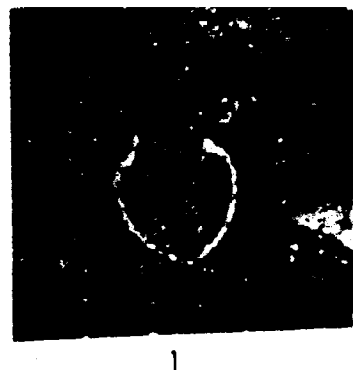
Calpionella elliptica Cadisch

- Şekil 5. Kilise Tepe ölçüülü stratigrafi kesiti (Örnek no 15), x 200
Şekil 6. Kırantarla Tepe ölçüülü stratigrafi kesiti (Örnek no 17), x 200

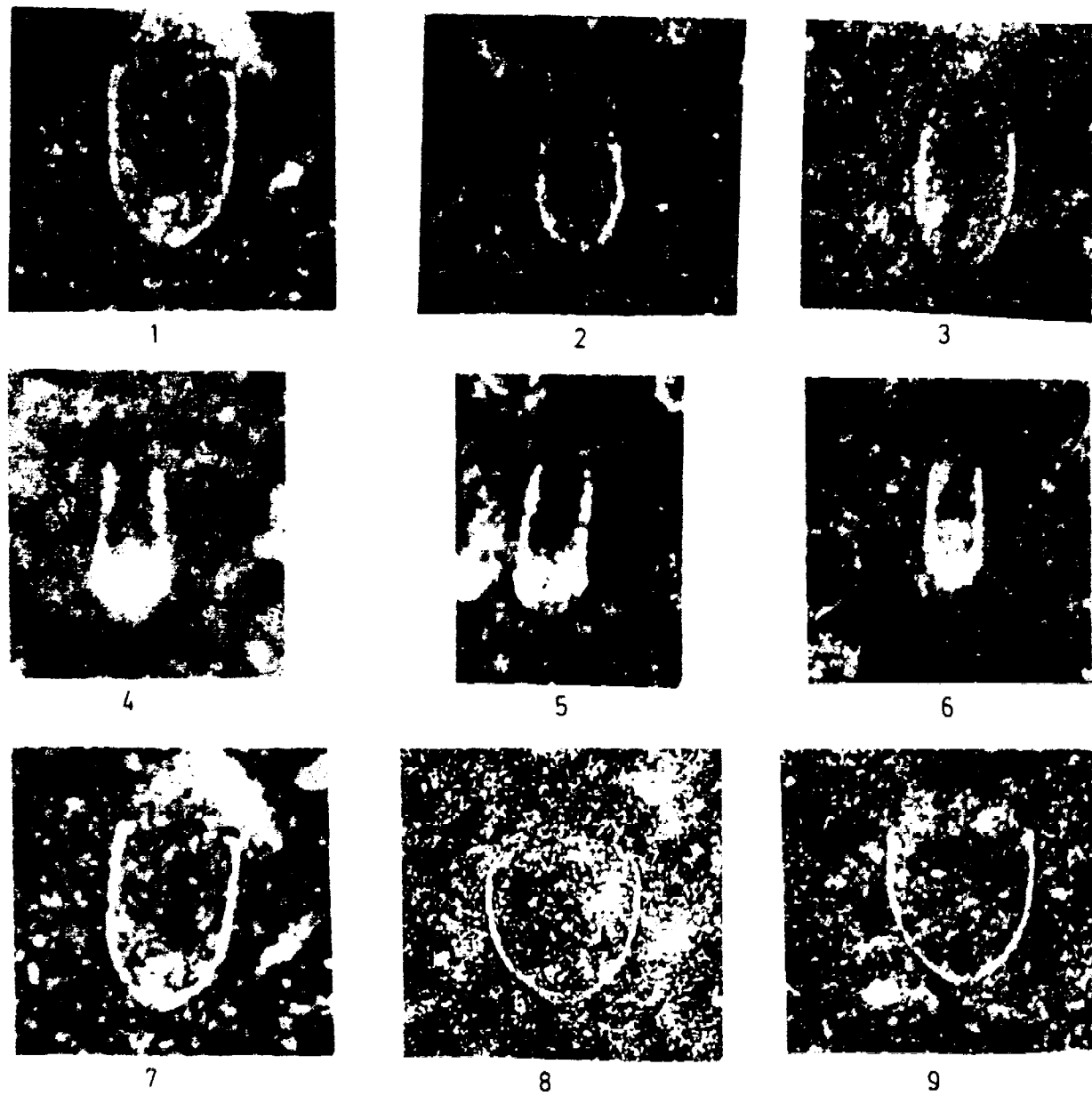
Remaniella cadiischiana (Colom)

- Şekil 7. Kilise Tepe ölçüülü stratigrafi kesiti (Örnek no 16), x 200
Şekil 8. Çaltepe ölçüülü stratigrafi kesiti (Örnek no 24), x 200
Şekil 9. Kırantarla Tepe ölçüülü stratigrafi kesiti (Örnek no 22), x 200

LEVHA II



LEVHA III

*Remaniella murgeanui* (Pop)

Şekil 1. Çaltepe ölçülu stratigrafi kesiti (Örnek no 23), x 200

Remaniella ferasini (Catalano)

Şekil 2. Çaltepe ölçülu stratigrafi kesiti (Örnek no 11), x 200

Calpionellopsis simplex (Colom)

Şekil 3. Kilise Tepe ölçülu stratigrafi kesiti (Örnek no 18), x 200

Calpionellopsis oblonga Cadisch

Şekil 4. Kırantarla Tepe ölçülu stratigrafi kesiti (Örnek no 21), x 200

Şekil 5. Çaltepe ölçülu stratigrafi kesiti (Örnek no 23), x 200

Şekil 6. Çaltepe ölçülu stratigrafi kesiti (Örnek no 24), x 200

Calpionellites darderi (Colom)

Şekil 7. Kırantarla Tepe ölçülu stratigrafi kesiti (Örnek no 27), x 200

Şekil 8. Çaltepe ölçülu stratigrafi kesiti (Örnek no 30), x 200

Şekil 9. Çaltepe ölçülu stratigrafi kesiti (Örnek no 32), x 200